

РД 6606



003069169

COBISS ©

**DOKTORSKA  
DISERTACIJA**

**А. Светановић**

**1976**

PH 6606

GRADJEVINSKI FAKULTET

Mr ALEKSANDAR CVETANOVIC

asistent Gradjevinskog fakulteta  
Univerziteta u Beogradu

DINAMIČKI MODUL KRUTOSTI ASFALT BETONA  
- DOKTORSKA DISERTACIJA -

BEOGRAD

APRIL 1976.

RUKOVODILAC TEZE

Prof. Živorad Djukić

## S A D R Ž A J

	Strana
PREDGOVOR	1
I. ODNOS VOZILA I PUTA	6
I.1. Vibracije vozila	6
I.2. Stihijne vibracije	8
II. KARAKTERISTIKE MATERIJALA	13
II.1. Reološke osobine bitumena	13
II.1.1. Predstavljanje bitumena mehaničkim modelima	16
II.1.2. Uticaj temperature na modul krutosti bitumena	19
II.1.3. Grafičko određivanje modula krutosti bitumena	20
II.2. Reološke osobine asfaltnih mešavina	23
II.3. Modul krutosti asfaltnih mešavina	28
II.3.1. Definicija modula krutosti	28
II.3.2. Istorijat proučavanja modula krutosti	29
II.3.3. Zavisnost modula krutosti od temperature i trajanja opterećenja	31
III. EKSPERIMENTALNO ODREĐIVANJE DINAMIČKOG MODULA KRUTOSTI	35
III.1. Terensko ispitivanje modula krutosti	35
III.2. Laboratorijsko određivanje modula krutosti	39
III.2.1. Prikaz postupka ispitivanja modula krutosti	41
III.2.2. Postupak ispitivanja	42
III.2.3. Sračunavanje modula krutosti	45
IV. PRIKAZ DOBIJENIH REZULTATA I NJIHOVA OBRADA	49
V. RASPROSTIRANJE TEMPERATURE U ASFALTNIM KOLOVOZIMA	101
V.1. Toplotne osobine asfaltnih mešavina	102
V.2. Promene fizičkih osobina materijala	104
V.3. Uticaj temperature na promenu modula krutosti asfaltnih slojeva u kolovoznoj konstrukciji	105
VI. PROJEKTOVANJE FLEKSIBILNIH KOLOVOZNIH KONSTRUKCIJA	111
VII. ZAKLJUČAK	114
VIII. LITERATURA	117

## P R E D G O V O R

Putevi spadaju u gradjevinske objekte najviše izložene uticajima sredine u kojoj se nalaze. Skoro da se svaki naredni kvadratni metar kolovoza razlikuje od prethodnog. Zbog toga je teško uspostaviti stroge kriterijume u pogledu kvaliteta kolovoza i njegove sposobnosti da u svim vremenskim situacijama odgovori svojoj nameni.

Međutim, da nas velika odstupanja ne bi dovela u zabludu, potrebno je upoznati sve parametre koji utiču na ponašanje kolovoza i određuju veličinu odstupanja pojedinih karakteristika vezanih za kvalitet puta u određenim uslovima. Da bi smo u ocenu o valjanosti određene kolovozne konstrukcije imali poverenja, moramo biti sigurni da se ona zasniva na eksperimentalnim rezultatima velikog obima, koji uključuju veći broj uzajamno povezanih parametara. Posebno treba naglasiti da fleksibilni kolovozi ne spadaju u konstrukcije koje se mogu tačno proračunati, kao što računamo konstrukcije od armiranog ili prednapregnutog betona, čelika i dr. Razne vrste tla i materijala, koji se nalaze u okviru jedne kolovozne konstrukcije ne mogu se lako razvrstatи u egzaktne kategorije, niti se može sa punom sigurnošću predvideti njihovo ponašanje.

Projektovanje kolovoznih konstrukcija za sada je još uvek empirijsko, zasnovano na stečenim iskustvima, jer kolovozne konstrukcije predstavljaju kompleksan fizički sistem koji je u matematičkom smislu za sada nemoguće tačno definisati. Zbog toga smo u našim proučavanjima prinudjeni da obavljamo određenu selekciju parametara, trudeći se da eksperimentalnim rezultatima proverimo mogućnosti i područja primene zakona mehanike. Najveći problem u ovim razmatranjima je svakako viskoelastično ponašanje materijala, koji ulaze u sastav slojeva fleksibilne kolovozne konstrukcije. Proračun napona i deformacija u vis-

koelastičnim sredinama kakav je asfalt sa praktične tačke gledišta, koliko je nama poznato, nije rešen. Ulagana su velika materijalna sredstva i na ovom problemu se u svetu intenzivno radi poslednjih 20 godina, ali zbog velikog broja parametara koji utiču na ponašanje fleksibilnih kolovoznih konstrukcija ovaj problem numerički nije rešen. Skoro svi dobijeni zaključci se zasnivaju na rezultatima eksperimentalnih istraživanja na terenu i laboratorijama.

U ovom radu je takođe pokušano da se na osnovu velikog broja dobijenih eksperimentalnih rezultata izvedu zaključci koji bi naša saznanja o stanju napona i deformacija u fleksibilnim kolovoznim konstrukcijama proširili.

Iako tema rada glasi: "Dinamički modul krutosti asfalt betona", problem je posmatran šire i u razmatranje su uključeni: odnos vozila i puta, karakteristike materijala, rasprostiranje temperature i osnovni principi projektovanja kolovoza.

U prvom delu rada je razmatran odnos vozila i puta, tj. oblik delovanja vozila na kolovoznu konstrukciju, a samim tim i na dinamički modul krutosti asfalt betona.

Kada se kaže, oblik delovanja vozila na kolovoznu konstrukciju, prvenstveno se misli na brzinu kretanja vozila i u zavisnosti od brzine na vibracije kolovozne konstrukcije.

Veličina frekvencije vibracija kolovozne konstrukcije se kreće uglavnom od 1 do 40 HZ, a u radu je obradjeno područje od 5 do 100 HZ. U praksi su vibracije stihijne prirode, međutim zbog praktične strane izvodjenja eksperimenata u radu su uzete harmonijske vibracije jednakog intenziteta. Ovako pojednostavljenje nema bitnog uticaja na dobijene rezultate i potpuno zadovoljava praktične potrebe.

Eksperimentalni rezultati su pokazali da promene u frekvenciji vibracija od 10 HZ izazivaju promenu "dinamičkog modula krutosti" za oko 2%, što znači da se dinamički uticaj konvencionalnih brzina vozila može zanemariti.

U drugom delu rada je dat istorijat proučavanja "modula krutosti", sa posebnim osvrtom na reološko tumačenje uticaja osobina bitumena, temperature i frekvencije na "modul krutosti" asfaltnih mešavina. Ovde odmah treba istaći da od bitumena koji ima ulogu veziva u asfalt betonu, zavis u najvećoj meri i ponašanje fleksibilne kolovozne konstrukcije. Nijedan drugi parametar nije toliko značajan, a ni kompleksan sam po sebi. Da bi se suzio problem, svi su uzorci napravljeni od istog tipa bitumena (najčešće upotrebljenih kod nas), i pod istim uslovima. Ovo poglavlje predstavlja osnovu za treće poglavlje, u kom je data suština rada, eksperimentalno određivanje "dinamičkog modula krutosti".

Koristeći originalnu aparaturu i postupak, izvršeno je ispitivanje "dinamičkog modula krutosti" asfalt betona, pri temperaturama od  $-20^{\circ}\text{C}$  do  $+50^{\circ}\text{C}$ , frekvencijama od 5 do 100 HZ i šupljinama od 3.73, 4.53 i 6.46%.

Izborom temperatura od  $-20^{\circ}\text{C}$  do  $+50^{\circ}\text{C}$  pri kojima su izvršena ispitivanja, obuhvaćeno je naše temperaturno područje i data osnova za korišćenje rezultata bez ekstrapolacije u svim delovima naše zemlje.

Široko frekventno područje od 5 do 100 HZ omogućava praćenje uticaja svih standardnih vozila na kolovoznu konstrukciju, pa i specijalnih sa složenim stajnim trapovima.

Iz praktičnih razloga pravljenja uzorka bio je ograničen izbor šupljina u asfaltnim uzorcima. Međutim, i ovako uzano područje omogućava sagledavanje uticaja šupljina na "dinamički modul krutosti" asfalt betona.

Poseban problem prilikom izvodjenja eksperimenta na višim temperaturama je bio brza pojava zamora uzorka koji je otežavao očitavanje rezultata na mernim urednjajima.

U četvrtom poglavlju su svi dobijeni podaci statistički obradjeni i dobijene numeričke zakonitosti ponašanja "dinamičkog modula krutosti" u odnosu na temperaturu, frekvenciju i šupljine. Dobijeni rezultati statističke obrade pokazuju da linija regresije u odnosu na dobijene

eksperimentalne rezultate preko koeficijenta korelaciјe pokazuju da je stvarna disperzija podataka minimalna. Svi eksperimentalni rezultati i linija regresije su nacrtani "ploterom" računara.

Rezultati ispitivanja ukazuju na veliki značaj uticaja temperature na ponašanje "modula krutosti", čije se vrednosti u opsegu temperature od  $-20^{\circ}\text{C}$  do  $+50^{\circ}\text{C}$ , menjaju od 2000 do 200 000  $\text{kp}/\text{cm}^2$ .

Analizirajući uticaje temperature i frekvencije vidi se da temperatura utiče na stanje napona i deformacija u kolovoznoj konstrukciji, a prolaz vozila (frekvencija) na zamor materijala.

U petom poglavlju je obradjeno rasprostiranje temperature u asfaltnim kolovozima i njen uticaj na rezultate "dinamičkog modula krutosti" dobijenih u prethodnom poglavlju.

Termička provodljivost i kapacitet zagrevanja asfaltnih materijala imaju posebnu ulogu pri analizi napona i deformacija. Unutrašnji termički naponi u najvećoj meri zavise od karakteristika materijala koji ulaze u sastav slojeva kolovozne konstrukcije. U trenutku prekoračenja napona na zatezanje koji dopušta dati materijal, dolazi do stvaranja pukotina u kolovozu bez učešća saobraćaja.

Temperatura na površini kolovoza se, grubo uzevši, u toku dana menja po sinusoidalnom zakonu, a odatle proizilazi i odgovarajuća varijacija temperature kolovoza na različitim dubinama.

Veličine temperaturne oscilacije prilikom širenja temperature kroz kolovoznu konstrukciju koje se odigravaju prema Fourier-ovoj zakonitosti dovode do formiranja termičkih napona što je problem termoviskoelastičnosti i spregnute termoviskoelastičnosti. Preko preradjenih Duhamel-ovih jednačina koje su se prvo bitno odnosile na elastičnu, a kasnije na viskoelastičnu sredinu moguće je dobiti termičke napone. Takođe koristeći fotoelastičnost moguće je za termoviskoelastičnu izotropnu sredinu rešiti problem termičkih napona. Međutim, kada je u pitanju asfalt, koliko nam je poznato, još niko nije uspeo da numerički definiše tačno rasprostiranje temperature i termičke napone koji tom prilikom nastaju i računom obuhvataju sve parametre ko-

ji praktično utiču na ponašanje kolovoza. Zbog toga se skoro svi radovi(najviše ih je u SAD i Kanadi) zasnivaju na eksperimentalnim rezultatima.

U ovom radu su jasno prikazani svi uticaji godišnjih promena temperature na dinamički modul krutosti, što će bitno uticati na izmenu mnogih dosadašnjih shvatanja u ovoj oblasti.

U šestom poglavlju je data mogućnost primene dobijenih rezultata u već postojećim postupcima analize napona i deformacija u fleksibilnim kolovozima. Imajući u vidu da su ova istraživanja radjena sa našim materijalima i za naše uslove, dobijeni su podaci koji mogu služiti kao polazna osnova za uvodjenje jednog tačnijeg postupka za dimenzionisanje fleksibilnih kolovoza.

U zaključcima je data analiza rezultata, njihovo tumačenje i predlozi za dalji rad u ovoj oblasti.

## I. ODNOS VOZILA I PUTA

Izmedju više važnih faktora koji utiču na projektovanje kolovoznih konstrukcija puteva i aerodroma, najbitniji su tip vozila, saobraćajno opterećenje i oblik delovanja vozila na konstrukciju. Prilikom razmatranja tipa vozila (uključujući i avion) najvažnije je razmotriti faktore kao što su konfiguracija stajnog trapa, veličina pneumatika, opterećenje po tačku i pritisak u pneumatiku.

Kada se kaže, oblik delovanja vozila na konstrukciju, prvenstveno se misli na brzinu kretanja vozila.

Vozilo u stanju mirovanja izaziva vertikalne pritiske u kolovozu, za razliku od vozila u pokretu gde postoje i znatna horizontalna naprezanja. Pored ovih statickih naprezanja dolazi do pojave i dinamičkih sile, koje uglavnom zavise od karakteristika vozila, brzine vozila, spoljnih uticaja (krivina, vetar,...) i neravnina na zastoru.

### I.1. Vibracije vozila

Najjednostavniji model vozila na kolovoznoj konstrukciji može se prikazati šematski kao na sl. 1. Gde  $m$  predstavlja masu vozila,  $K$  konstantu opruge (pneumatike) i  $C$  koeficijent prigušenja (pneumatički i amortizeri).

Diferencijalna jednačina kretanja ovakvog sistema sa jednim stepenom slobode glasi:

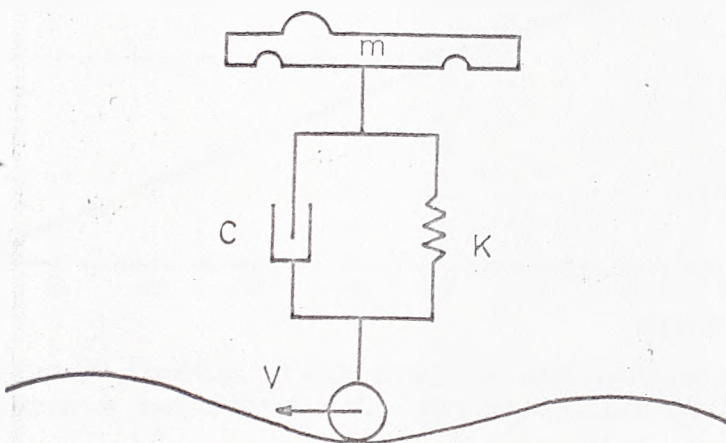
$$m\ddot{x} + Cx + Kx = P_0 \sin \omega t \quad (1)$$

Amplituda oscilatornog kretanja vozila glasi:

$$x_0 = \frac{P_0}{\sqrt{(C\omega)^2 + (K - m\omega^2)^2}} \quad (2)$$

a faznog ugla

$$\operatorname{tg} \varphi = \frac{c\omega}{K - m\omega^2} \quad (3)$$



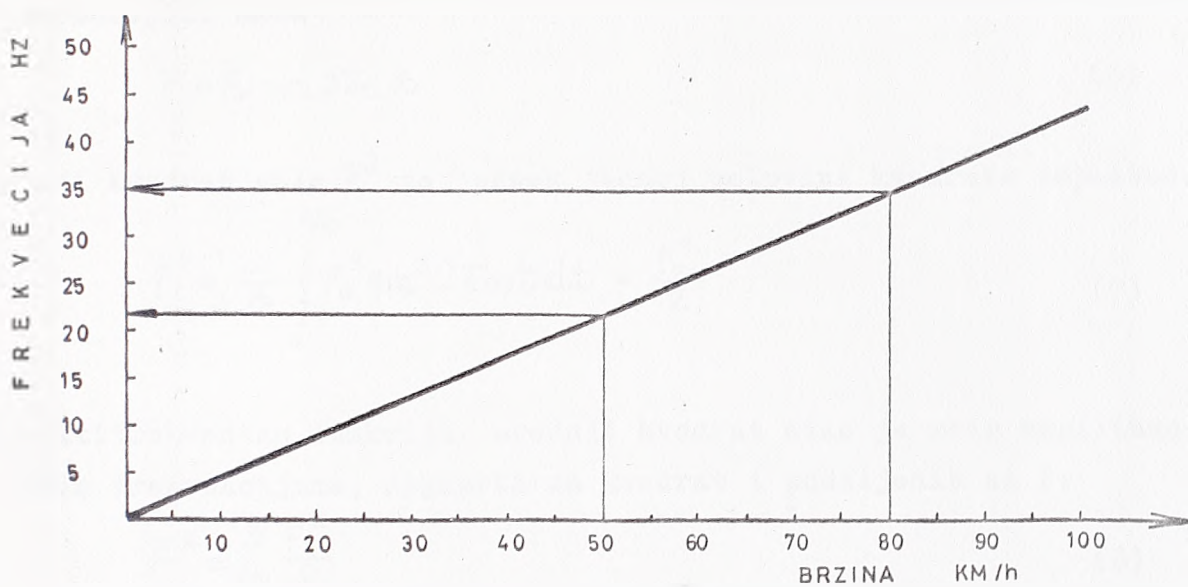
Sl. 1 - Šematski prikaz vozila

Medjutim, izvršena merenja pokazuju da se vozila u potpunosti ne potpuno koravaju ovoj diferencijalnoj jednačini. Tako npr. avion DC-7 stvara najveće amplitudu vibracija, a avion DC-8 najmanje. Za DC-8, najveće amplitude se kreću u granicama  $\pm 725$  kp ( $\pm 0.024$  g) pri frekvencijama ispod 2,5 c/s. Pri niskim frekvencijama dolazi do pojave rezonancije vibriranja vozila i kolovozne konstrukcije (čija sopstvena frekvencija se kreće od 6 do 15 c/s ili više) što može dovesti do razaranja kolovoza.

Kod automobila ovi odnosi su drugačiji. Na osnovu ugradjenih mernih traka u fleksibilnu kolovoznu konstrukciju i izvršenih merenja od strane "KONINKLIJKE/SHELL - LABORATORIUM, AMSTERDAM" nadjen je odnos izmedju brzine vozila i frekvencije oscilovanja kolovozne konstrukcije (sl. 2).

$$\beta(c/s) = 0.45 V(km/h) \quad (4)$$





Sl. 2 - Dijagram promene frekvencije u zavisnosti od brzine vozila izmeren u asfaltnom kolovozu na dubini od 12 cm.

### I.2. Stihijne vibracije

Kod jednostavnijih analiza vibracija vozila i kolovozne konstrukcije podrazumeva se da je kolovozna površina potpuno glatka i da nema vibracija prouzrokovanih neravninama zastora. Međutim, ako se želi korektna analiza vibracija kolovoza i vozila, mora se poći od činjenice da je kolovozna površina neravna i kao takva glavni uzročnik vibracija vozila. Sa gledišta dinamičke analize, neravnine zastora su multifrekventne promenljive vibracije stihijnih talasnih dužina i amplituda.

U proučavanju problema stihijnih vibracija, faza funkcije sile kojom vozilo deluje na kolovoz ima mali uticaj na konačni rezultat. Zbog toga se rezultat stihijnog dogadjaja predstavlja statistički. Na sl. 3-a apscisa predstavlja vreme putovanja; za određenu brzinu vreme može biti zavisno od predjelog rastojanja. Ordinata X predstavlja vertikalna odstupanja površine zastora od sredine.

Srednje kvadratno odstupanje je

$$\bar{X}^2 = \frac{1}{T} \int_0^T x^2 dt \quad (5)$$

Za harmonijsku silu

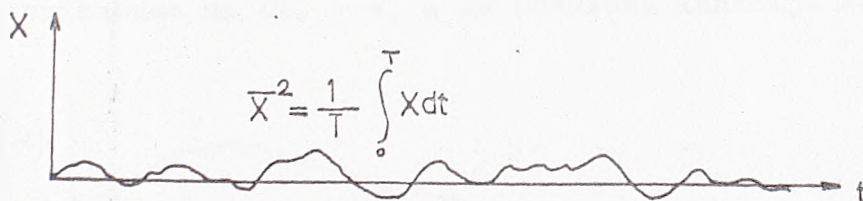
$$F = F_0 \sin 2\pi\omega t \quad (6)$$

srednji kvadrat sile  $\bar{F}^2$  je jednak jednoj polovini kvadrata amplitude.

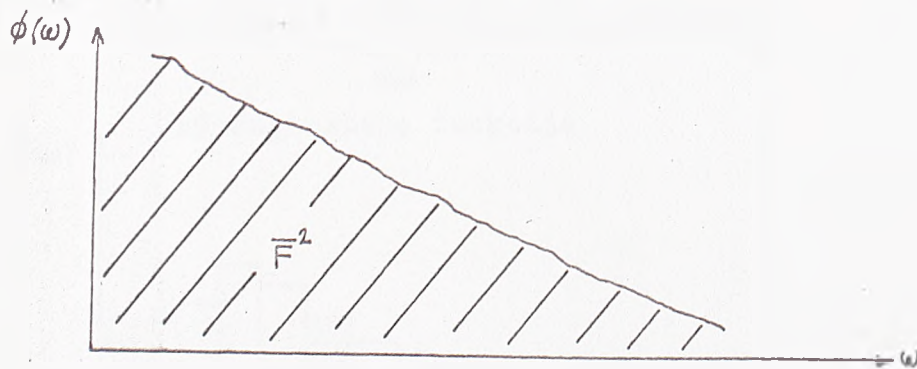
$$\bar{F}^2 = \frac{\omega}{n} \int_0^{1/\omega} F_0^2 \sin^2 2\pi\omega t dt = \frac{F_0^2}{2} \quad (7)$$

Za multifrekventnu funkciju, srednji kvadrat sile je zbir amplituda na svim frekvencijama, dignutih na kvadrat i podeljenih sa 2:

$$\bar{F}^2 = \sum \frac{F_n^2}{2} \quad (8)$$



a) Statički model



b) Model multifrekventne funkcije

Sl. 3 - Predstavljanje nepravilnog dogadjaja

Ovo je značajan odnos koji služi za predstavljanje nepravilnih vibracija sastavljenih od multifrekventnih harmonijskih sile. Pomoću ukupne srednje kvadratne vrednosti, multifrekventna funkcija za svaki interval frekvencije može se izraziti kao

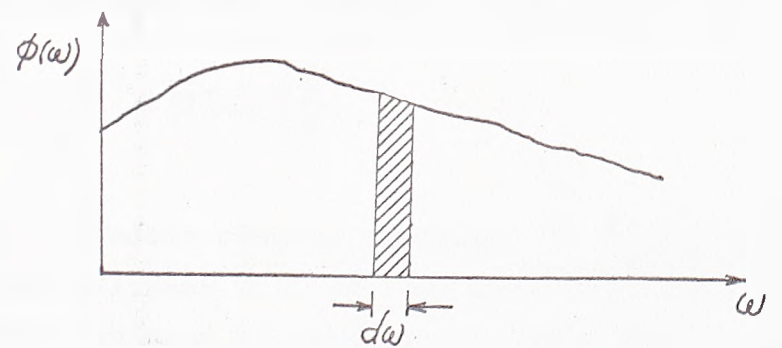
$$\phi(\omega) = \lim_{\Delta\omega \rightarrow 0} \frac{\Delta(\bar{F}^2)}{\Delta\omega} \quad (9)$$

U slučaju kada je interval frekvencije mali  $\Delta\omega$  teži nuli, granična srednja kvadratna vrednost u frekventnom segmentu se definiše kao specifična spektralna snaga (PSD), multifrekventne funkcije  $\phi(\omega)$ . Za neprekidnu funkciju, srednja kvadratna vrednost nepravilne funkcije može se izraziti kao

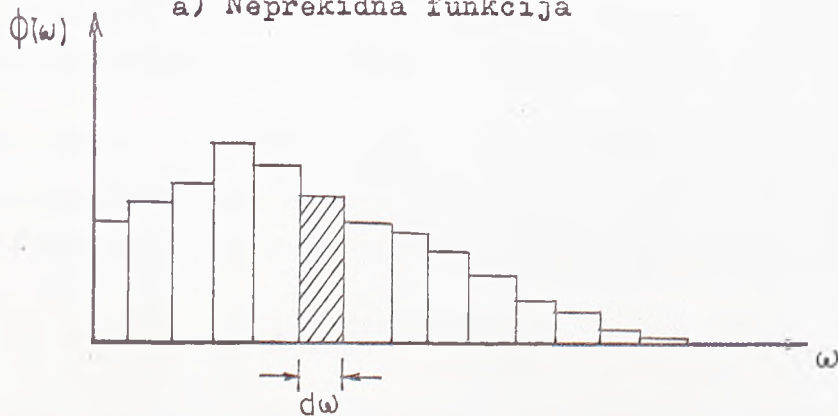
$$\bar{F}^2 = \int_0^\omega \phi(\omega) d\omega \quad (10)$$

Iz ove jednačine se može videti da je ukupna površina koju obuhvata ova kriva jednaka srednjoj kvadratnoj vrednosti  $\bar{F}^2$  (sl. 3-b).

Grafički, definicija PSD neprekidne funkcije se može predstaviti kao što je prikazano na sl. 4-a, a za prekidnu funkciju kao na sl. 4-b.



a) Neprekidna funkcija



b) Diskretna funkcija

Sl. 4 - Ilustracija funkcije PSD

Koristeći ovaj postupak, neravnine na kolovoznom zastoru se mogu prikazati funkcijom PSD sastavljenoj od multifrekventnih harmonijskih funkcija.

Ponašanje vozila na neravnom zastoru je ustvari određeno zbirom vibracionih sile pri različitim opsezima frekvencija. Za diskretni sistem, ponašanje vozila bi se moglo izraziti pomoću

$$\bar{X}^2 = \sum_{n=1}^{\infty} \frac{F_n^2}{2} H_n^2 \quad (11)$$

gde je  $F_n$  amplituda jedne partikularne frekvencije, a  $H_n$  odgovarajući faktor povećanja vibracije pri ovoj frekvenciji. Za neprekidni sistem, prethodna jednačina bi dobila oblik

$$\bar{X}^2 = \int_0^{\omega} \phi(\omega) \frac{1}{[1 - (\omega/\zeta)^2]^2 + (2\beta\omega/\zeta)^2} d\omega \quad (12)$$

Ako se  $\phi(\omega)$  veoma malo menja, tj. može smatrati konstantnom, integracijom prethodne jednačine dobija se

$$\bar{X}^2 = \phi(\omega) \frac{\pi f}{4\beta} \quad (13)$$

Ovo je kvadrat srednje vrednosti  $\bar{X}^2$  ponašanja vozila, koji će u kasnijim analizama biti izražen preko  $\bar{D}\bar{I}^2$ , jednak PSD vrednosti funkcionalno zavisnoj od neravnina zastora  $\phi(\omega)$  i pomnoženoj sa funkcijom prenosa  $\mathcal{H}/4\beta$ . U ovom slučaju funkcija prenosa je zavisna od sopstvene frekvencije vozila i koeficijenta prigušenja amortizera.

Zbog dinamičkog delovanja neravnina zastora na vozilo izraženog preko dinamičkog uvećanja  $\bar{D}\bar{I}$ , dolazi do reakcije i ponovnog delovanja funkcije sile na zastor. U ovom slučaju funkcija sile postaje

$$F(t) = (1 + \bar{D}\bar{I}) F \sin 2\pi\omega t \quad (14)$$

Zamenjujući ovaj izraz u jednačinu za međusobni odnos vozila i zastora

$$-K_b z = \frac{F}{g} z \sin 2\pi\omega t$$

dobjijamo:  $-K_b z = \frac{(1 + \bar{D}\bar{I}) F}{g} z \sin 2\pi\omega t$  (15)



Na ovaj način su uključene stihijne vibracije u izraz za međusobno dinamičko delovanje vozila i zastora.

Ovo poglavlje je ukazalo na oblik vibracija koje se javljaju prilikom kretanja vozila preko kolovozne konstrukcije. U zavisnosti od potreba našeg izučavanja mi se odlučujemo da posmatramo harmonijske prinudne vibracije sa otpornom silom ili stihijne vibracije.

Imajući u vidu praktičnu stranu izvodjenja eksperimenata, odlučili smo se na harmonijske vibracije, čija se frekvencija kretala od 5 do 100 HZ. Ovakvim izborom frekvencija uspeli smo da obuhvatimo u najvećoj meri sve slučajeve koji se javljaju u praksi. Izvodjenje eksperimenata na nižim frekvencijama od 5 HZ zahteva dodatnu opremu, a samim tim i veće troškove.

## II. KARAKTERISTIKE MATERIJALA

### Uvod

Dimenzionisanje kolovoznih konstrukcija predstavlja sintezu analize delovanja opterećenja i ponašanja materijala koji ulaze u sastav kolovozne konstrukcije. Problem dimenzionisanja fleksibilnih kolovoza postaje još složeniji kada se ima u vidu da je asfalt viskoelastičan materijal čije osobine prvenstveno zavise od temperature i viskoziteta bitumena.

Posmatrati izolovano samo jedan parametar, s obzirom na kompleksnost problema, gotovo da je nemoguće.

U okviru proučavanja karakteristika sfaltnog kolovoza "Dinamički modul krutosti" nesumljivo predstavlja najvažniju osnovu za dalji proračun napona i deformacija u kolovozu.

Postoji veliki broj metoda ispitivanja karakteristika kolovoznih materijala. Do 1950. godine učinjeno je mnogo na standardizaciji osnovnih metoda ispitivanja (Marshall-ova, Hubbard-Field-ova, Hveem-ova i Duriez-ova metoda), a od 1950. na nalaženju korelacije izmedju standardnih metoda ispitivanja i rezultata dobijenih eksperimentima na licu mesta (AASHO i WASHO opiti).

Razvojem teorijskih metoda projektovanja dolazi do potrebe uvođenja dinamičkih ispitivanja.

U ovom radu akcenat je i dat na dinamička ispitivanja asfalt-betona sa posebnim osvrtom na parametre koji definišu ponašanje modula krutosti pod ponovljenim opterećenjem.

### II.1. Reološke osobine bitumena

Pod pojmom asfaltne mešavine podrazumeva se kompozicija bitumena i agregata. U zavisnosti od njihovih karakteristika i međusobnog odnosa, određuje se i ponašanje asfaltnih mešavina. Zbog toga, reolo-

gija asfaltnih mešavina se može podeliti na dva dela: jedan koji treći čist bitumen i drugi mešavinu bitumena i agregata.

Predmet proučavanja reologije bitumena je da pronadje odnose između napona, deformacije, trajanja opterećenja i temperature.

Koristeći Hook-ov i Newton-ov zakon mogu se prikazati dve važne osobine bitumena:

a) modul elastičnosti  $E$ :

$$E = \frac{\sigma}{\epsilon} \quad i$$

b) viskozitet  $\eta$

$$\eta = \frac{\tau}{\frac{d\epsilon}{dt}} \quad (16)$$

Modul elastičnosti  $E$  se određuje pri manjim deformacijama, a viskozitet  $\eta$  pri većim deformacijama.

Viskozitet izražen preko napona zatezanja i dilatacije glasi:

$$\eta = \frac{\tau}{\dot{\epsilon}} \cdot t = \frac{1}{2(1 + \frac{1}{m})} \cdot \frac{\sigma}{\epsilon} \cdot t \quad (17)$$

gdje je  $m$  - Poisson-ova konstanta.

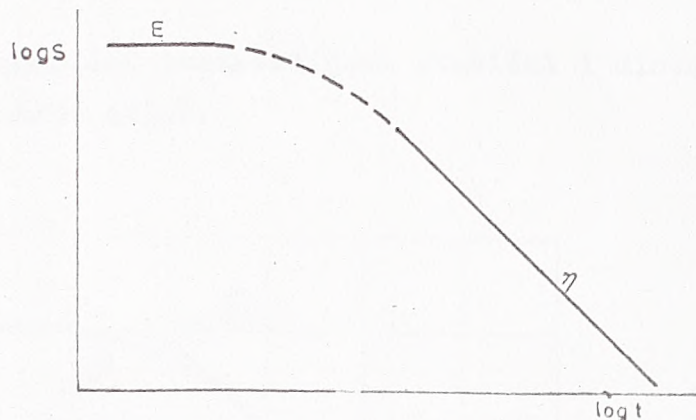
Za bitumen  $m = 2$ , odakle sledi da je:

$$3\eta = \frac{\sigma}{\epsilon} \cdot t \quad (18)$$

Van der Poel pri opisivanju otpornosti na deformacije viskoelastičnih materijala u koje spada i bitumen, uzima odnos  $\sigma/\epsilon$  kao funkciju vremena trajanja opterećenja  $t$  i temperature  $T$ . Ovaj odnos  $\sigma/\epsilon$  je nazvao "STIFFNESS" (krutost) S. U principu veza između modula krutosti i vremena pri datoј temperaturi, za viskoelastičan materijal, predstavljen je krivom oblika - sl. 5.

Leva strana (horizontalna) krive odgovara kratkotrajnom opterećenju, pri čemu su deformacije uglavnom elastične, a modul krutosti identičan.

čan Young-ovom modulu.



Sl. 5 - Odnos modula krutosti i vremena kod viskoelastičnih materijala pri konstantnoj temperaturi

Desna strana krive, koja pada pod uglom od  $45^\circ$ , odgovara dugotraјnom opterećenju, pri čemu su deformacije uglavnom viskozne i proporcionalne sa vremenom.

Za određivanje modula krutosti kao funkcije vremena primenjuju se statička i dinamička ispitivanja.

Pri statičkoj metodi ispitivanja primenjuje se konstantno opterećenje, a deformacija se meri kao funkcija vremena (vreme deformisanja veće od 1 sec).

Kod dinamičkih metoda ispitivanja napon se menja sinusoidalno sa vremenom

$$\delta = \delta' \sin \omega t \quad (19)$$

Amplituda dilatacije se takođe menja sinusoidalno, sa istom frekvencijom, ali sa razlikom u fazi u odnosu na napon

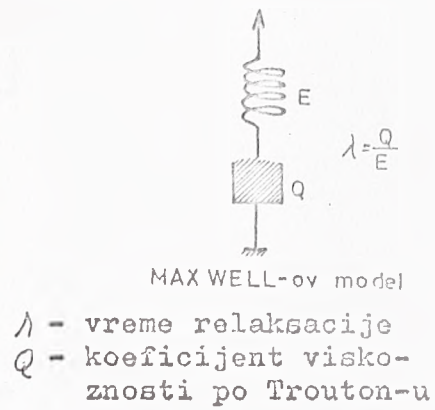
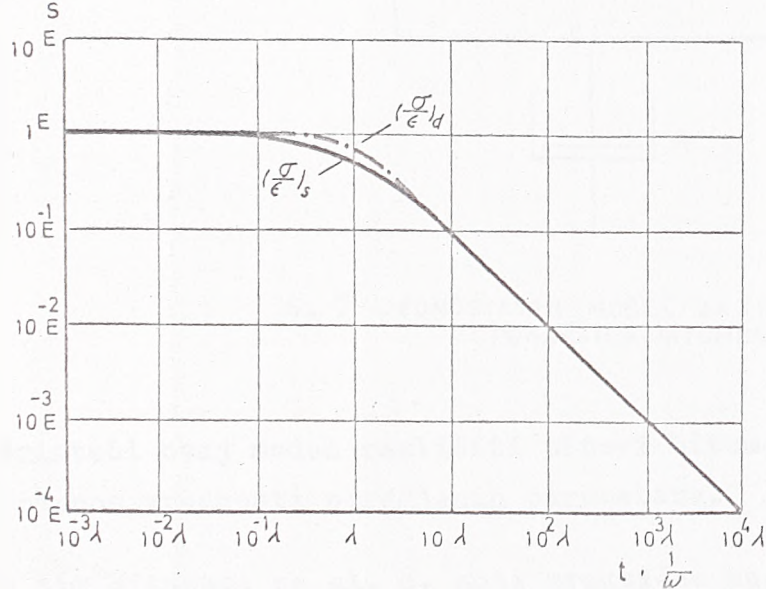
$$\epsilon = \epsilon \sin (\omega t - \varphi) \quad (20)$$

gde je  $\omega$  - kružna frekvencija

$\varphi$  - razlika u fazi izmedju napona i deformacije.

Modul krutosti se izračunava pri rezonantnoj frekvenciji u zavisnosti od dimenzija uzorka. Dinamički metod ispitivanja se primjenjuje pri niskim temperaturama i kratkotrajnim opterećenjima (< 1 sec).

Na sl. 6 su grafički predstavljeni staticki i dinamički modul krutosti za Maxwell-ov model.



Sl. 6 - Uporedjenje statickog i dinamičkog modula krutosti (Maxwell-ov model)

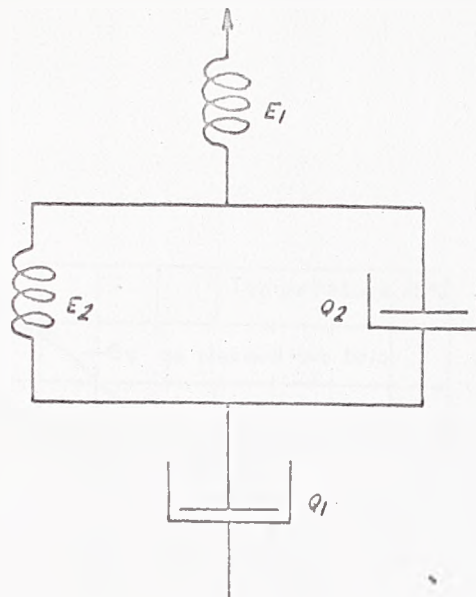
### III.1.1. Predstavljanje različitih tipova bitumena mehaničkim modelom

Mehanički model, kojim se može predstaviti reološko ponašanje bitumena pri kratkotrajanom vremenu opterećenja, sastoji se od kombinacije linearног, paralelно vezanог viskoznог i idealно elastičног i čisto viskoznог.

Ovo je u stvari kombinacija Maxwell-ovog i Voigt elementa (sl. 7). Za ovaj model deformacija pri konstantnom naponu može se izraziti:

$$\epsilon = \frac{\epsilon}{E_1} + \frac{\epsilon}{Q_1} \cdot t + \frac{\epsilon}{E_2} (1 - e^{-t/\lambda_r}) \quad (21)$$

gde je  $\lambda_r = \frac{Q_2}{E_2}$  vreme retardacije.



SL. 7 JEDNOSTAVAN MODEL ZA ILUSTRACIJU  
PONAŠANJA BITUMENA

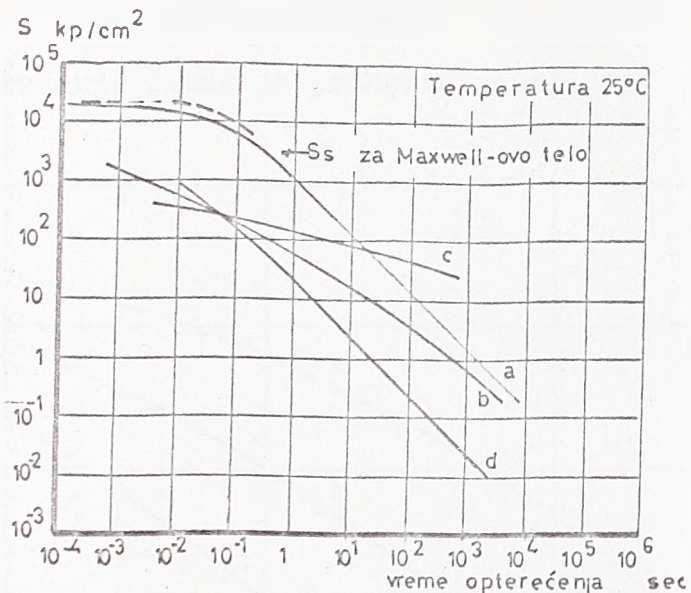
Koristeći ovaj model različiti tipovi bitumena mogu se predstaviti promenom vrednosti određenih parametara.

Za tip bitumena na sl. 8, koji praktično nema povratnu elastičnost, parametri  $E_2$  i  $Q_2$  su skoro neznatni. Na slici se vidi da se reološko ponašanje ovog tipa bitumena može skoro kompletno prikazati sa  $E_1$  i  $Q_1$  (Maxwell-ov model).

Bitumeni elastičnog sol tipa (b na sl. 8) koji pokazuju idealnu povratnu elastičnost kao i viskozno tečenje, mogu se predstaviti dobro modelom na sl. 7.

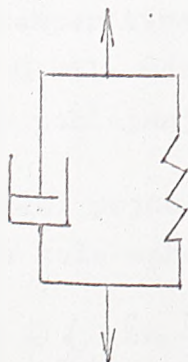
Reološko ponašanje bitumena gel-tipa (c na sl. 8), koji nisu podvrgnuti velikim naponima smicanja i deformacije, može se predstaviti modelom u kome je izostavljen viskozni element  $Q_1$ .

Bitumen	a	b	c
pen/25°C	3	15	13
PK, °C	66	67	120
IP	-2.4	-0.2	+5.5
asfalteni%	3	20	34

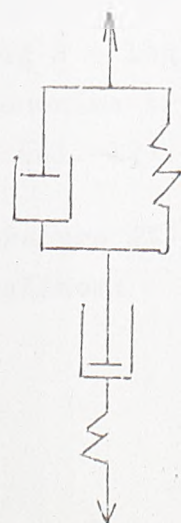


Sl. 8 - Modul krutosti u funkciji od vremena trajanja opterećenja za različite tipove bitumena

Imajući u vidu da se bitumen sastoji od velikog broja komponenata različitih hemijskih karakteristika, molekularne težine i veličine, reološko ponašanje se tačnije može predstaviti samo složenijim modelima.



Sl. 9  
Kelvinov model

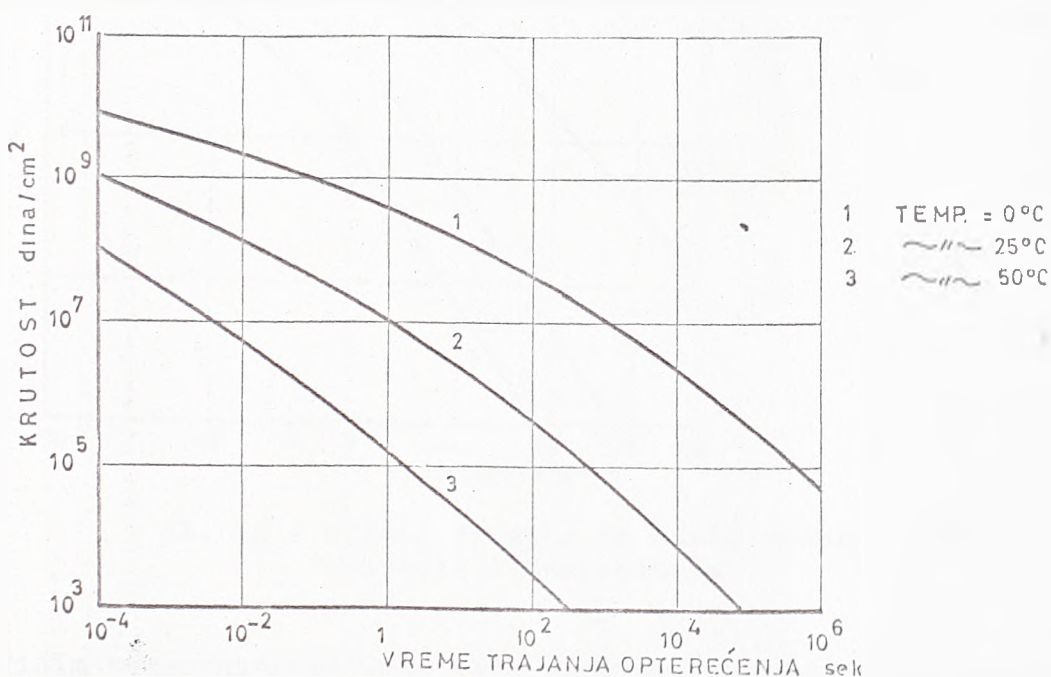


Sl. 10  
Burgers-ov model

### II.1.2. Uticaj temperature na "modul krutosti" bitumena

Pri niskim temperaturama deformacije su pretežno elastične, a na visokim elastoplastične do plastične.

Uticaj opterećenja jasno je prikazan na sl. 11.



Sl. 11 - Uticaj temperature na odnos modula krutosti i vreme tajanja opterećenja

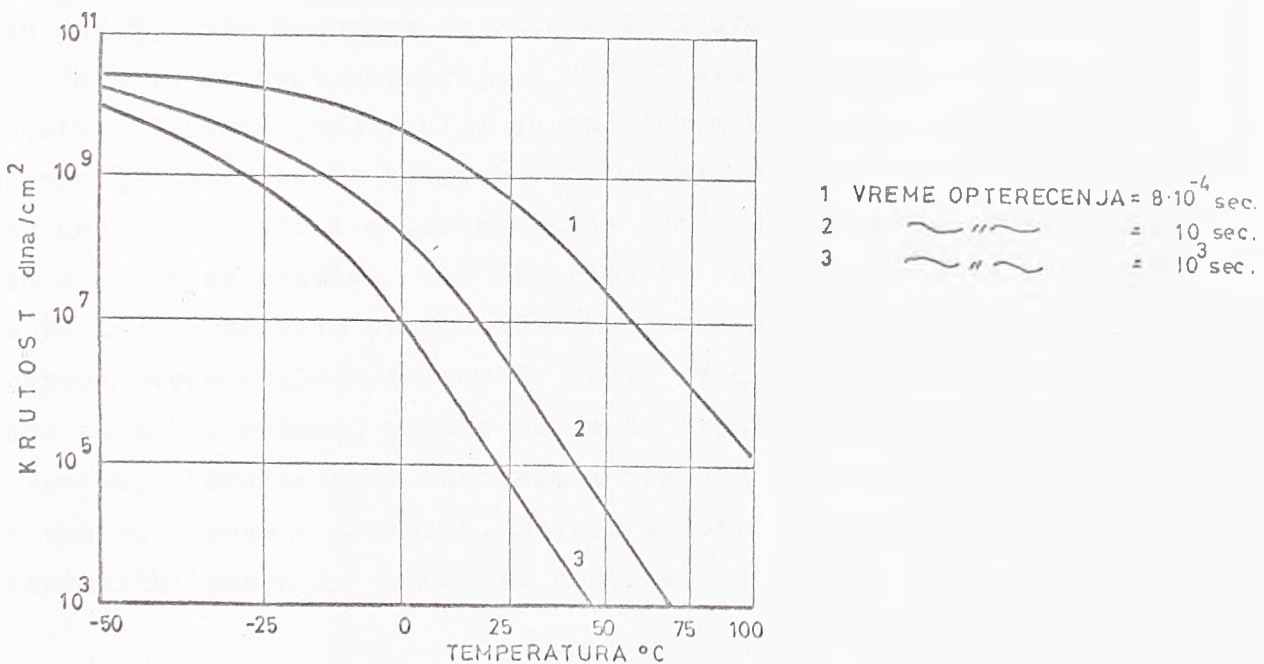
Promenom temperature utiče se na pomeranje  $\log S - \log t$  krivih. Krive koje su bile odredjene pri različitim vremenima trajanja mogu se dovesti do poklapanja pomeranjem duž ose ( $t$ ) (sl. 12).

Za ograničeni pojas temperatura (ispod temperature PK) ovaj opšti princip se može aproksimativno izraziti jednačinom:

$$S = f \left( \ln \frac{t}{t_0} - \frac{F}{Rt} \right) \quad (22)$$

gde je  $R$  - gasna konstanta  
 $F$  - aktivna energija i  
 $t_0$  - konstanta.

U principu,  $\log S - \log t$  krive za bitumen odredjene za različite temperature (ispod temperature PK), imaju približno isti oblik.



Sl. 12 - Uticaj vremena na odnos modula krutosti i temperature

Pri višim temperaturama može biti odstupanja zbog promene reoloških osobina bitumena. Na primer, kod gel-tipa bitumena, gel struktura se menja pri visokim temperaturama u sol strukturu. Jasno je, da ovo utiče na odnos  $\log S - \log t$ , sprečavajući poklapanje krivih određenih za različite temperature.

Pri niskim temperaturama i kratkotrajnim opterećenjima svi bitumeni se ponašaju idealno elastično. Krutost je tada identična Young-ovom modulu  $E$  sa vrednošću od  $2,5$  do  $3 \times 10^{10} \text{ dina}/\text{cm}^2$ , koji važi za sve bitumene ( $1 \text{ N}/\text{m}^2 = 10 \text{ dina}/\text{cm}^2 = 1.02 \times 10^{-5} \text{ kg}/\text{cm}^2$ ).

### II.1.3. Grafičko određivanje "modula krutosti" bitumena

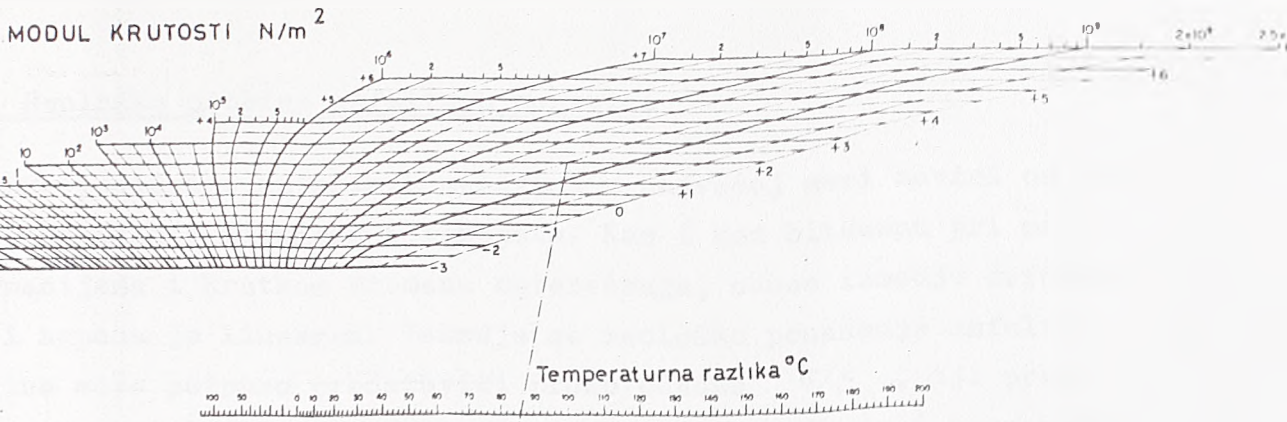
Na osnovu eksperimentalnih podataka iz statičkih i dinamičkih ispitivanja Van der Poel (35) je projektovao nomogram (sl. 13) koji omogućuje određivanje "modula krutosti" bitumena na osnovu podataka:

- a) tačke razmekšavanja po prstenu i kuglici (PK),
- b) indeksa penetracije, i
- c) vremena opterećivanja.

Van der Poel-ov nomogram su malo modifikovali Heukelom i Klomp (36), pri čemu se krutost određuje u  $\text{kp}/\text{cm}^2$  umesto u  $\text{N}/\text{m}^2$ , a linija za negativni indeks penetracije je na drugom mestu (sl. 14). Nekoliko autora je istraživalo tačnost ovih nomograma, kao npr. Pell i McCarthy koji su utvrdili dobro slaganje ovih rezultata sa stvarno dobijenim u eksperimentima. Van der Poel je takođe došao do zaključka da razlika u merenim vrednostima krutosti asfalta i dobijenih iz nomograma retko prelazi faktor 2. Posle ovog Van der Poel-ovog nomograma iz 1954. godine, prešlo se je na statističku obradu podataka i traženje korelacionih zavisnosti između komponenti koje određuju vrednost modula krutosti. Draper i Smith (36) daju npr. sledeći matematički odnos za vrednosti krutosti od  $10^{-7}$  do  $10^1 \text{ kg}/\text{cm}^2$ :

$$\log_{10} S = -1.35927 - 0.06743(T) - 0.90251 \log(t) + 0.00038(T)^2 - 0.00138(T \times \log t) + 0.00661(\text{PI} \times T) \quad (23)$$

gde je:       $T$  - temperatura ispitivanja minus PK,  $^{\circ}\text{C}$   
               $t$  - vreme opterećenja, sec; i  
              PI - indeks penetracije.

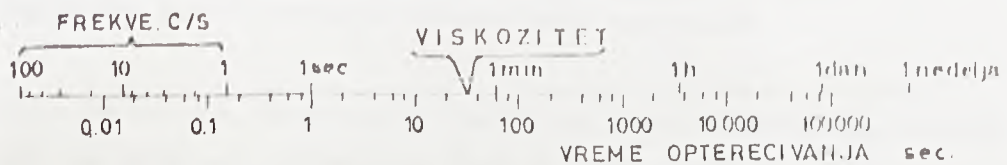
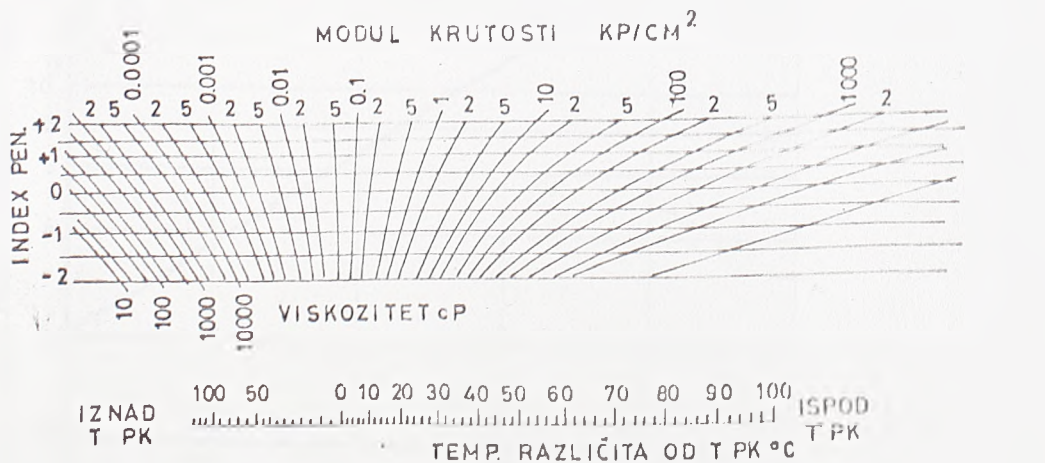


1 N/m<sup>2</sup> = 10 dyn/cm<sup>2</sup> =  $1.02 \times 10^{-5}$  kgf/cm<sup>2</sup> =  $1.45 \times 10^{-4}$  lb/sq.in.

1 N s/m<sup>2</sup> = 10 P



SL. 23 Van der Poel-ov NOMOGRAM ZA ODREĐIVANJE MODULA KRUTOSTI BITUMENA



SL.24 HEUKELOM-ov i KLOMPOV-ov DIJAGRAM ZA ODREĐIVANJE MODULA KRUTOSTI BITUMENA

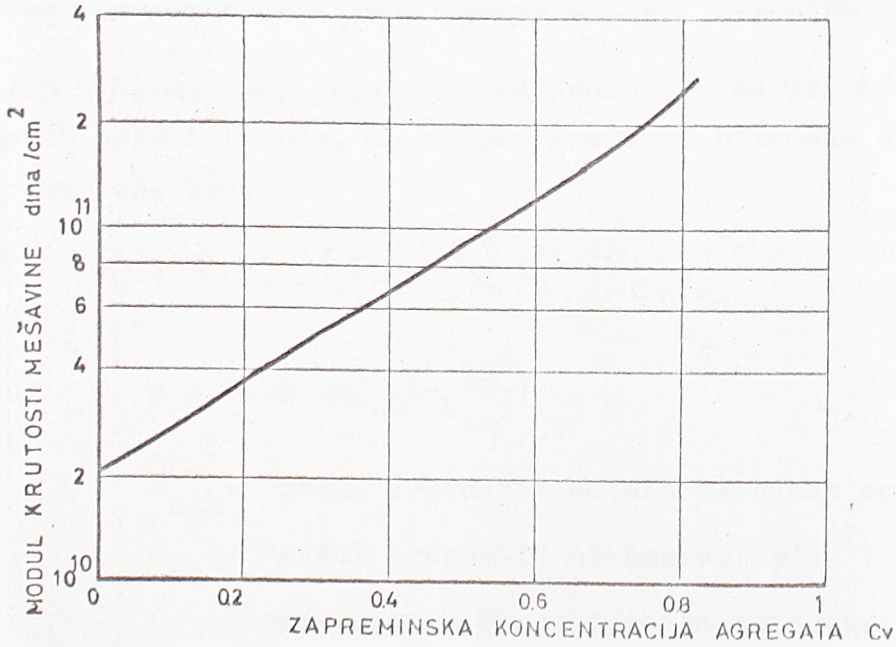
## II.2. Reološke osobine asfaltnih mešavina

Reološko ponašanje asfaltnih mešavina u najvećoj meri zavisi od reološkog ponašanja bitumena i agregata. Kao i kod bitumena pri malim deformacijama i kratkom vremenu opterećenja, odnos izmedju deformacije i napona je linearan. Takodje se reološko ponašanje asfaltnih mešavina može potpuno predstaviti preko odnosa  $G/\varepsilon$ , tj. preko "modula krutosti" koji je funkcija vremena opterećenja i temperaturе.

### A) UTICAJ KOLIČINSKOG UČEŠĆA MINERALNOG AGREGATA

#### (1) Dinamička istraživanja pri kratkotrajnom vremenu trajanja opterećenja

Krutost asfaltnih mešavina zavisi od krutosti bitumena i zapreminskega odnosa bitumena i agregata. Uticaj zapreminske koncentracije aggregata na "modul krutosti" asfaltnih mešavina prikazan je na sl. 15.



Sl. 15 - Odnos izmedju "modula krutosti" mešavine i zapreminske koncentracije mineralnog aggregata

Kod asfaltnih mešavina, priroda i veličina zrna mineralnog aggregata nema uticaja na krutost mešavine. Uprkos promenama u veličini zrna

(fil-er, pesak,...) sve tačke praktično leže na jednoj liniji. Samo pri visokoj koncentraciji agregata (oko 80% zapremine i više) ima uticaj veličina zrna. U ovom slučaju krutost se može razlikovati za faktor 2.

Za mešavine sa zapreminskom koncentracijom mineralnog agregata od oko  $C_v = 25\%$ , odnos krutosti i koncentracije može se izraziti Eilers-ovim i Van Dijck-ovim empiričkim obrascem:

$$\frac{S_m}{S_a} = \left( 1 + \frac{1.25 C_v}{1 - 1.128 C_v} \right) \quad (24)$$

gde se "m" odnosi na mešavinu i "a" na bitumen.

Za vrlo niske koncentracije ova jednačina se menja u Einstein-ovu formula:

$$\frac{\eta_m}{\eta_a} = 1 + 2.5 C_v \quad (25)$$

Pri visokim koncentracijama, krutost mešavine je ograničena Young-ovim modulom za kamen, koji iznosi  $2 \times 10^{12}$  dina/cm<sup>2</sup>.

Heukelom i Klomp (36) daju sledeću jednačinu za proračun "modula krutosti" asfalt betona, na osnovu krutosti bitumena dobijene iz nomograma (sl. 14):

$$S_{mix} = S_{ac} \left[ 1.0 + \left( \frac{2.5}{n} \right) \left( \frac{C_v}{1.0 - C_v} \right) \right]^n \quad (26)$$

gde je:  $n = 0.83 \log_{10} \left( \frac{4 \times 10^5}{S_{ac}} \right)$

$S_{mix}$  - "modul krutosti" asfalt-betonske mešavine, kp/cm<sup>2</sup>

$S_{ac}$  - "modul krutosti" bitumena, kp/cm<sup>2</sup>; i

$C_v$  - zapreminska koncentracija agregata.

Zapreminska koncentracija agregata u mešavini definise se kao:

$$C_v = \frac{\text{zапремина сабијеног агрегата}}{\text{запремина (битумена+агрегата)}}$$

Ovaj izraz bi se mogao zameniti ekvivalentnom vrednošću, dobijenom na uzorcima iz kolovoza ili napravljenim u laboratoriji.

$$C_v = \frac{1}{1+C} \quad (27)$$

gde je  $C = \left(\frac{W_s}{W}\right) \times \left(\frac{G_g}{G_s}\right) = (\text{procenat bitumena po težini}/100) \times \left(\frac{G_g}{G_s}\right)$

gde je:  $W_s$  - težina bitumena

$W_g$  - težina agregata

$G_s$  - specifična težina bitumena i

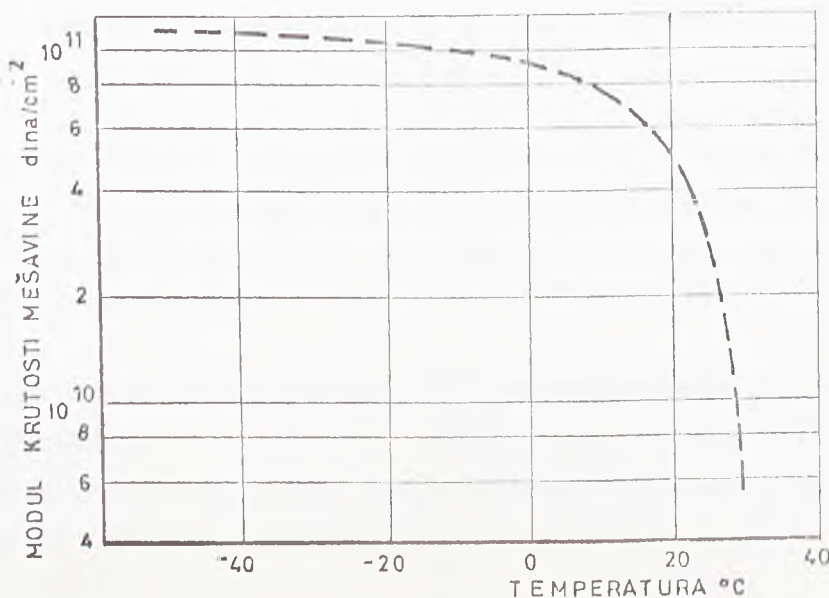
$G_g$  - specifična težina agregata.

Odnos  $S_{mix}$  (26) važi za dobro sabijene mešavine sa oko 3% šupljina ispunjenih vazduhom. Za mešavine sa šupljinama većim od 3%, Draat i Sommer (38) su utvrdili korekciju za  $C_v$ :

$$C'_v = \left(\frac{C}{1+H}\right) \quad (28)$$

gde je:  $H$  = stvarne šupljine ispunjene vazduhom - 0.03.

Uticaj temperature na krutost asfaltne mešavine (u ovom slučaju peščane asfaltne mešavine) prikazan je na sl. 16.



Sl. 16 - Uticaj temperature na krutost pri 60 C/S

(2) Statička istraživanja pri dugotrajnom vremenu trajanja opterećenja

Koristeći rezultate triaksijalnih ispitivanja utvrđeno je da koncentracija agregata isto kao i priroda agregata utiče na osobine asfaltnih mešavina. Postoji optimalna granica učešća količine bitumena i šupljina u asfaltnim mešavinama.

Početna otpornost  $\tilde{\tau}_e$  puno zavisi od kompozicije mineralnog aggregata, posebno od filera (zrna  $< 74 \mu$ ) i zrna aggregata ( $> 2\text{mm}$ ).

Prema Nijboer-u  $\tilde{\tau}_e$  kod peščanih asfalta opada sa faktorom 1.7, sa podizanjem temperature od  $10^\circ\text{C}$ .

B) VEZA IZMEDJU REOLOŠKIH OSOBINA ASFALTNIH MEŠAVINA I KOMPONENTA ASFALTNIH MEŠAVINA

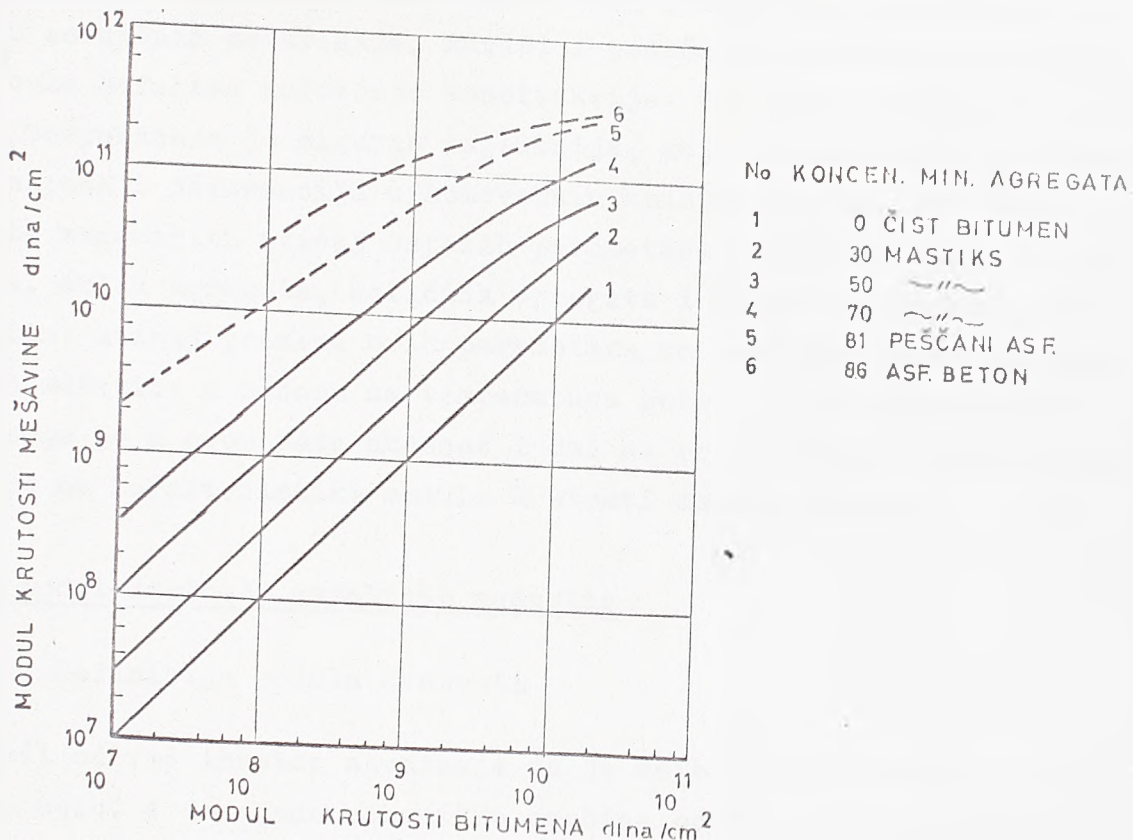
Reološke osobine asfaltnih mešavina neposredno zavise od tipa upotrebljenog bitumena.

Zavisnost modula krutosti asfaltnih mešavina od modula krutosti bitumena pri istom vremenu trajanja opterećenja za različitu koncentraciju mineralnog aggregata data je na sl. 17.

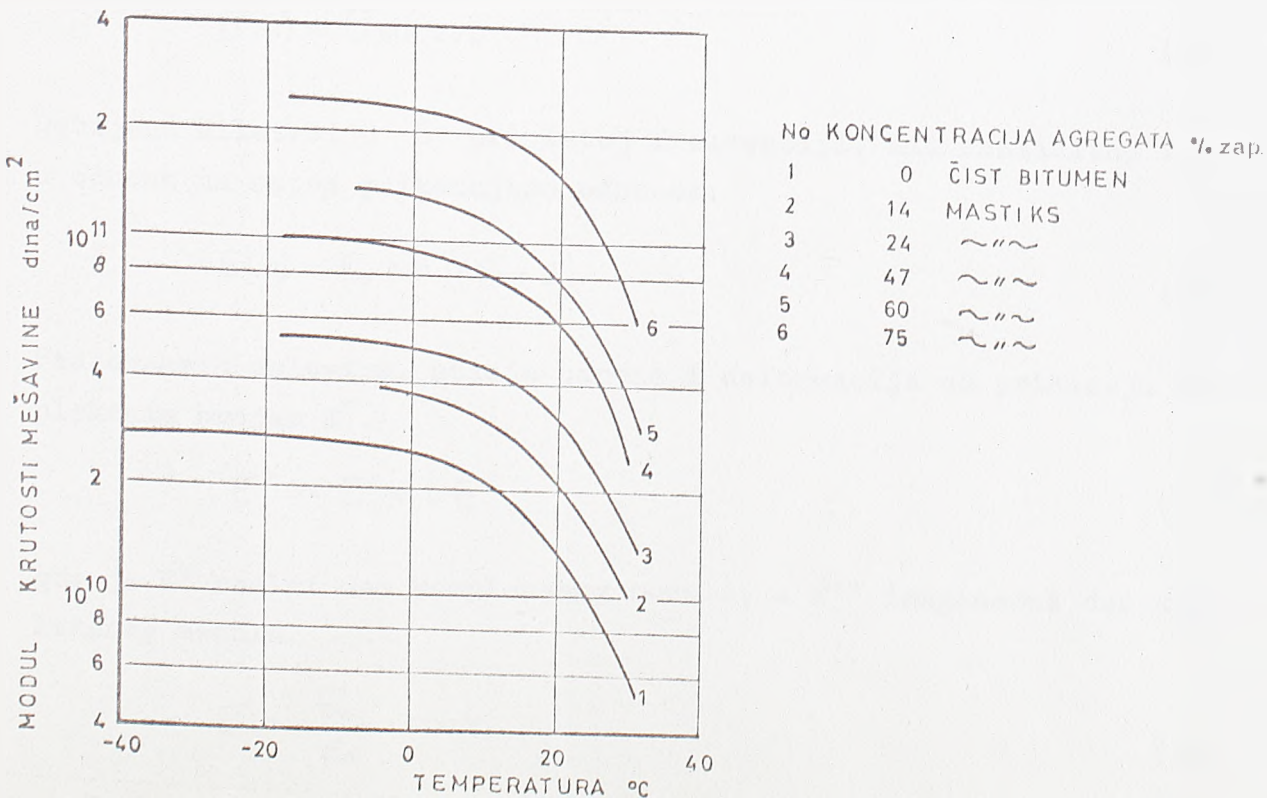
Za svaku koncentraciju mineralnog aggregata krutost bitumena određuje krutost mešavine, što je takodje slučaj kada se ista zavisnost postavi i u odnosu na temperaturu (sl. 18).

Statička ispitivanja su pokazala da vrednosti početne otpornosti  $\tilde{\tau}_e$  i viskoziteta  $\eta_m$  asfaltnih mešavina takodje zavise od "modula krutosti" (viskoziteta) bitumena. Obe vrednosti se povećavaju sa povećanjem krutosti bitumena.

Vrednost ugla unutrašnjeg trenja  $\varphi$  mešavine malo je zavisna od krutosti bitumena. Posebno treba istaći da čvrstoća na lom asfaltnih uzoraka prvenstveno zavisi od bitumena, a da mineralni aggregat ima mali uticaj.



Sl. 17 - Odnos "modula krutosti" bitumena i mešavine za različite koncentracije agregata



Sl. 18 - "Modul krutosti" mešavine u funkciji od temperature pri istoj frekvenciji

Na osnovu izloženih stavova iz reologije asfaltnih mešavina i bitumena, može se zaključiti da od reološkog ponašanja bitumena kao veziva u asfaltnim mešavinama, zavisi i ponašanje asfaltnih mešavina pa i cele asfaltne kolovozne konstrukcije. Od svih spoljašnjih faktora, temperatura je sigurno najbitnija, koja utiče direktno na stanje napona i deformacija u kolovoznim konstrukcijama. Pri tome se ne može zanemariti uticaj ostalih parametara (količina veziva, tip veziva, oblik agregata, količina agregata i njegov medjusobni odnos). Međutim, uticaj promene ovih parametara na reološko ponašanje asfaltnih mešavina u odnosu na temperaturu gotovo da je zanemarljiv. Zbog toga je u ovom radu akcenat i dat na proučavanje uticaja temperature na karakteristike modula krutosti asfalt betona.

### II.3. Modul krutosti asfaltnih mešavina

#### II.3.1. Definicija modula krutosti

Polazeći od već iznetog shvatanja da je asfaltna mešavina viskoelastično telo, i da njene mehaničke osobine pored veličine opterećenja zavise od perioda trajanja i temperature, primenjujemo radi lakšeg proučavanja sinusoidalni napon:

$$\tilde{\sigma}(t) = \tilde{\sigma}_0 \sin \omega t \quad (29)$$

Dobijenu dilataciju  $\varepsilon$  pri istoj frekvenciji, ali različitoj fazi u odnosu na napon prikazujemo odnosom:

$$\varepsilon(t) = \varepsilon_0 \sin(\omega t - \varphi) \quad (30)$$

Pod ovakvim uslovima, stanje napona i deformacija se prikazuju kompleksnim brojem  $E^*$ .

$$E^* = E' + i E'' \quad (31)$$

gde je  $E'$  realni deo kompleksnog modula, a  $E''$  imaginarni deo kompleksnog modula.

$$E' = \frac{\tilde{\sigma}_0}{\varepsilon_0} \cdot \cos \varphi \quad (32)$$

$$E'' = \frac{\tilde{G}_o}{\tilde{\epsilon}_o} \sin \epsilon \quad (33)$$

$E'$  je komponenta modula koja predstavlja sačuvanu povratnu energiju, a  $E''$  izgubljenu energiju na unutrašnjem trenju u materijalu.

Apsolutna vrednost kompleksnog modula je:

$$|E^*| = \sqrt{\frac{\tilde{G}_o}{\tilde{\epsilon}_o}} \quad (34)$$

Odnos amplituda napona i dilatacije naziva se "modulom krutosti" i kao termin je veoma rasprostranjen u stručnoj literaturi.

### II.3.2. Istorijat proučavanja "modula krutosti"

Iako su istraživanja uticaja osobina asfaltnih mešavina na napone i deformacije preduzeta još pre 35 godina, nije dovoljno proučen uticaj veličine, dužine trajanja opterećenja i temperature.

Mali broj ispitivanja je uradjen na utvrđivanju uticaja količine bitumena, šupljina ispunjenih vazduhom i ostalih karakteristika asfaltnih mešavina.

Van der Poel (21) i (22) je definisao ponašanje viskoelastičnog materijala u funkciji od vremena i temperature kao - STIFFNESS MODULUS - "modul krutosti" dat izrazom:

$$(S)_{t,T} = \left( \frac{\tilde{G}}{\tilde{\epsilon}} \right)_{t,T} \quad (35)$$

koji važi za bilo koju određenu kombinaciju vremena trajanja opterećenja i temperature T.

Monismith i Seed (23) su 1962. godine saopštili rezultate opsežnih istraživanja "modula krutosti" u pojasu od  $100 \text{ kp/cm}^2$  do  $20\ 000 \text{ kp/cm}^2$  za različite asfalt-betonske mešavine, opsege temperatura i dužine trajanja opterećenja.

Finn (24) je pored pomenutih faktora, utvrdio niz novih koji utiču

na "modul krutosti" asfaltnih kolovoznih mešavina. Po njemu granulometrijski sastav ima mnogo veći uticaj od tipa bitumena (pri konstantnoj količini bitumena) pri dužem vremenu trajanja opterećenja.

Pagen i Ku (25) upotrebljavaju opit tečenja, da bi ispitali uticaj tipa bitumena, granulometrijskog sastava i vrste agregata na "modul krutosti".

Heukelom i Klomp (26) su ispitivali vezi izmedju "modula krutosti" i modula krutosti bitumena. Oni smatraju da zbog komplikovane geometrije asfaltnih mešavina, odnos "modula krutosti" mešavine i bitume- $n$   $S_{mix}/S_{bit}$  ne može biti tačno sračunat. Zbog toga su dali poluem-  
pirički obrazac koji izražava odnos  $S_{mix}/S_{bit}$  u zavisnosti od konc-  
entracije agregata  $C_v$ .

$$S_{mix}/S_{bit} = \left(1 + \left(\frac{2.5 C_v}{n(1-C_v)}\right)\right)^n \quad (36)$$

gde je

$$n = 0.83 \log_{10} \left( \frac{4 \times 10^5}{S_{bit}} \right) \quad (37)$$

Iz ovih jednačina i dijagrama datih od Van der Poel-a (26) moguće je za različite temperature koje se upotrebljavaju u projektovanju, dobiti "modul krutosti" mešavine. U slučaju viših temperatura preporučuju Nijboer-ovu formulu, koja daje preko rezultata opita po Marshall-u vrednost krutosti mešavine:

$$S_{60} \text{ } ^\circ\text{C}, 4 \text{ sec } (\text{kp/cm}^2) = 1.6 \frac{\text{stabilnost (kp)}}{\text{tečenje (mm)}} \quad (38)$$

Nešto izmenjenim putem su krenuli Finn, Hicks, Kavi i Cayne (27) kada su došli do zaključka da gustina mase, količina peščanih frakcija agregata i penetracija bitumena utiču na dinamički modul krutosti. Njihovi rezultati se baziraju na podacima dobijenim prilikom ispitivanja uzoraka kolovoza, a označavaju sledeće odnose:

$$\log_e M_r (\text{modul krutosti} \times 10^{-3}) = -1.86 - 0.016 (\text{penetracija}) + 0.047 (\text{gustina}) + 2.58 (\% \text{peska}) \quad (39)$$

Goetz (28) je proučavao promenu dinamičkog modula krutosti u zavisnosti od temperature asfalt betona, koji sadrži različitu količinu i vrstu bitumena.

Utvrđio je vezu izmedju dinamičkog mogula krutosti i količine bitumena. Pored toga, pronašao je da penetracija bitumena malo utiče na modul krutosti.

Jimenez i Gallaway (29) su utvrdili da se dinamički modul krutosti odredjen deflektometrijskim opitom, povećava linearno sa većom gustinom uzorka.

Bazin i Saunier (30) su utvrdili da šupljine ispunjene vazduhom znatno utiču na vrednost "modula krutosti", tj. da sa povećanjem šupljina dolazi do opadanja modula. Ovaj odnos može biti linearan ako se posmatraju logaritamske vrednosti. Oni su takodje utvrdili zavisnost modula krutosti od tvrdoće i temperaturne osetljivosti bitumena u mešavini.

I na kraju treba istaći rad McLeod-a (31) koji predlaže sledeći izraz za sračunavanje modula krutosti:

$$\text{Modul} = 40 \frac{\text{stabilnost}}{\text{tečenje}} \quad (40)$$

Treba odmah istaći da je ovaj obrazac sličan Nijboer-ovom i da nije prihvaćen od mnogih autora.

### II.3.3. Zavisnost modula krutosti od temperature i trajanja opterećenja

Modul krutosti elastičnih materijala jednak je modulu elastičnosti E, koji je u ovom slučaju, nazavljan od vremena opterećenja i temperature. Viskozni materijali se karakterišu preko njihovog viskoziteta  $\eta$ , vrednosti koja uglavnom zavisi od temperature. Tačka defini-

niciji viskoziteta, napon  $\tilde{\sigma}$  koji izaziva deformaciju dat je izrazom:

$$\frac{d\epsilon}{dt} = \frac{\tilde{\sigma}}{3\eta} \quad (41)$$

Za konstantni napon u vremenu  $t$ , počevši od  $\epsilon = 0$  pri  $t = 0$ , deformacija je jednaka:

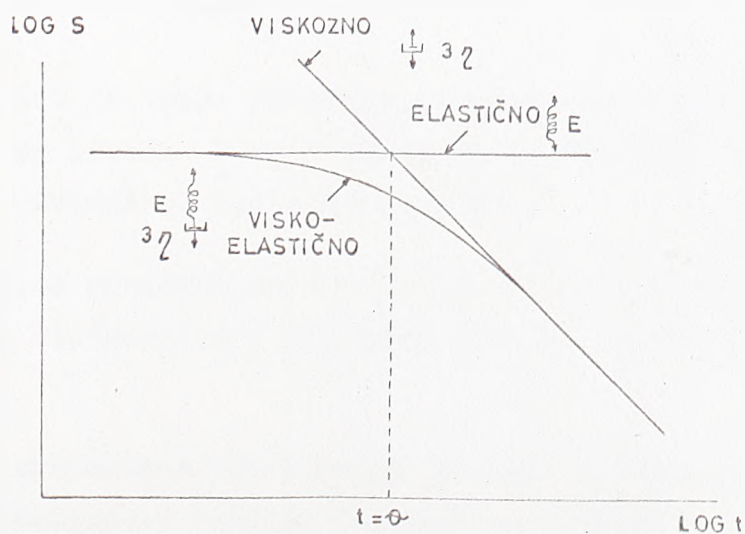
$$\epsilon = \frac{\tilde{\sigma}t}{3\eta} \quad (42)$$

Stoga se modul krutosti može izračunati u zavisnosti od vremena i temperature u ovom slučaju kao:

$$(S)_{t,T} = \frac{3\eta(\tau)}{t} \quad (43)$$

što znači da je modul krutosti viskoznog materijala u osnovi inverzno proporcionalan trajanju opterećenja.

Viskoelastični materijali se ponašaju složeno, kao što je prikazano na sl. 19.



Sl. 19 - Modul krutosti različitih materijala u zavisnosti od vremena opterećivanja

Pri kratkom vremenu trajanja opterećenja (dinamičkom opterećenju)

oni se ponašaju elastično, a pri dugačkom skoro viskozno. Ovo se može predstaviti i modelom sastavljenim od opruge ( $E$ ) i prigušenja ( $3\eta$ ). Ponašanje ovog modela u odnosu na opterećenje može se prikazati preko diferencijalne jednačine:

$$\frac{d\varepsilon}{dt} + \frac{1}{E} \frac{d\tilde{\sigma}}{dt} - \frac{\tilde{\sigma}}{\lambda} = 0 \quad (44)$$

odakle se dobijaju sledeći izrazi za modul krutosti:

a) statičko opterećenje;  $\tilde{\sigma} = \text{const}$ ;  $\varepsilon = 0$  pri  $t = 0$ ;

$$S = \frac{E}{1 + t/\Theta} \quad (45)$$

b) konstantan iznos deformacije;  $d\varepsilon/dt = \text{const}$ ;  $\tilde{\sigma} = 0$  pri  $t = 0$

$$S = \frac{3\eta}{\Theta} \left(1 - e^{-\frac{t}{\Theta}}\right) = \frac{E}{t/\Theta} \left(1 - e^{-\frac{t}{\Theta}}\right) \quad (46)$$

c) dinamičko poterećenje;  $\tilde{\sigma} = \tilde{\sigma} \sin \omega t$ ;  $\varepsilon = \varepsilon \sin(\omega t - \varphi)$ ;

$$S = \frac{E}{\sqrt{1 + (\frac{1}{\omega\Theta})^2}} \quad (47)$$

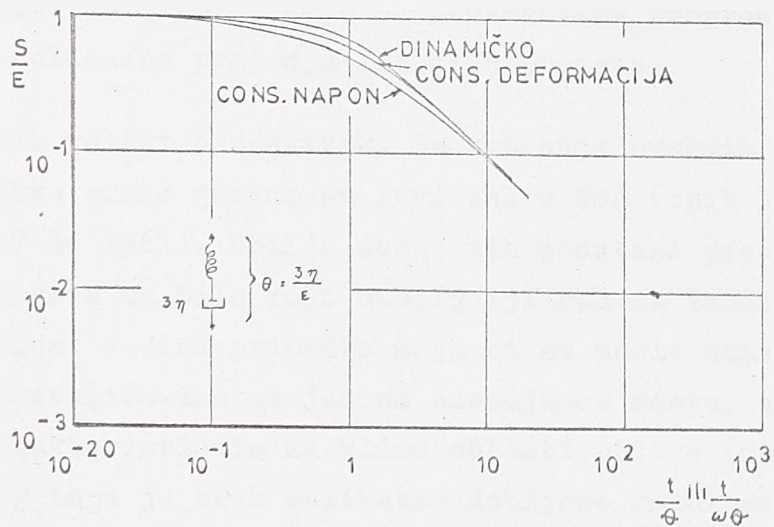
gde je:  $\Theta = 3\eta/E$  vreme relaksacije sistema, koje odgovara vremenu pri kome se linije  $\eta$  i  $E$  sekut na sl. 19;  $\omega = 2\pi f$ , gde je  $f$  frekvencija dinamičkog opterećenja u c/s.

Sve tri jednačine pokazuju da  $S \rightarrow E$  kada  $t \rightarrow 0$  ili  $\omega \rightarrow \infty$ . U drugom ekstremenom slučaju  $S \rightarrow 3\eta/t$  kada je  $t \gg 0$ , dok  $S \rightarrow 3\eta\omega$  kada  $\omega\Theta \ll 1$ .

Prema tome, u ekstremnim slučajevima postoji odlična korelacija izmedju dinamičkih i statičkih vrednosti modula krutosti dobijenih stavljajući da je:

$$t = \frac{1}{\omega} = \frac{1}{2\pi\Theta} \quad (48)$$

Razlike izmedju tri jednačine (a, b i c) vide se na sl. 20 na mestu gde je  $t = \theta$  i  $\omega\theta = 1$ . Za jednostavan model, gde je  $t = \theta$  i  $\omega\theta = 1$ , modul krutosti pri konstantom opterećenju je 70% od dinamičkog modula, a 90% od modula pri konstantnom iznosu deformacije.



Sl. 20 - Modul krutosti u zavisnosti  
od vremena i frekvencije

### III. EKSPERIMENTALNO ODREDJIVANJE DINAMIČKOG MODULA KRUTOSTI

#### Uvod

Najpravilniji način ispitivanja fleksibilnih kolovoznih konstrukcija sastoji se u izgradnji opitnih deonica sa kolovoznim konstrukcijama različitih tipova, koje se podvrgavaju programiranom saobraćaju i kontrolisanom praćenju nastalih promena.

Jedini, ali veliki nedostatak, je koštanje ovakvih eksperimenata. Opiti ovakve vrste jedino su izvršeni u USA (opit WASHO-1959 i AASHO-1957 do 1961). Obilje dobijenih podataka predstavlja i danas polaznu osnovu za bilo koji ozbiljniji rad na izučavanju kolovoznih konstrukcija. Jedina primedba koja bi se mogla staviti je, da su ispitivanja realizovana na jednom odredjenom mestu, pri vremenskim uslovima karakterističnim za klimu oblasti Ottawe (država Illinois u USA). Zbog toga je uvek delikatno dobijene rezultate ekstrapolirati bez prethodnih ispitivanja koja se odnose na lokalne uslove.

Ukoliko se unapred dozvoli izvesno odstupanje od stvarnosti tj. da se vrši oponašanje stavnog saobraćaja i kolovozne konstrukcije, moguće je izvršiti terenska i laboratorijska ispitivanja koja imaju niz povoljnosti (mali troškovi, kratko vreme izvodjenja eksperimenta, promena velikog broja parametara uz minimum ulaganja, odlična korelacija sa stvarno izmerenim podacima na terenu, itd.).

Ovde će biti izložen jedan terenski i laboratorijski aparat za dinamičko ispitivanje modula krutosti fleksibilnih kolovoznih konstrukcija.

#### III.1. Terensko ispitivanje modula krutosti

Primena terenskih metoda ispitivanja modula krutosti datira od 1950. godine, kada su "Corps of Engineers at the Waterways Experiment Station" i "Shell Research Laboratory" u Amsterdamu konstruisali aparaturu sa teškim mehaničkim vibrаторom za merenje vibracija u kolovoznoj konstrukciji. Preko par ekscentričnih doboša, ekscentri-

teta  $r$  koji rotiraju kružnom brzinom  $\omega$  stvara se funkcija sile koja deluje na površinu zastora. Horizontalne ekscentrične sile su ujedno poništene, tako da deluje samo vertikalna sila vibracije  $P_d$ . Pod dejstvom ove sile na površinu idealno elastičnog materijala, dolazi do pojave tri tipa talasa. To su a) P - primarni talas, b) S - sekundarni talas i c) R - Rayleigh-ov talas. U zavisnosti od osobina materijala formiraju se brzine rasprostiranja talasa ( $V_p$ ,  $V_s$  i  $V_r$ ).

Na sl. 21 je prikazan odnos izmedju brzine talasa P i R prema S u funkciji od Poisson-ovom odnosa. Na osnovu ove slike moglo bi se zaključiti: da je  $V_s$  nezavisna od Poisson-ovog odnosa sredine, dok je  $V_p$  nasuprot mnogo zavisnija. Brzina  $V_r$  je neznatno zavisna od  $\mu$ . Zbog toga prilikom rešavanja praktičnih problema može se uzeti da je

$$V_s \approx V_r$$

Teorijski važi odnos

$$\alpha = \frac{V_r}{V_s} \quad (49)$$

gde je  $\alpha$  konstanta proporcionalnosti.

Na osnovu iznetih teorijskih razmatranja, modul krutosti materijala, određuje se iz sledećih jednačina:

Za S talase:

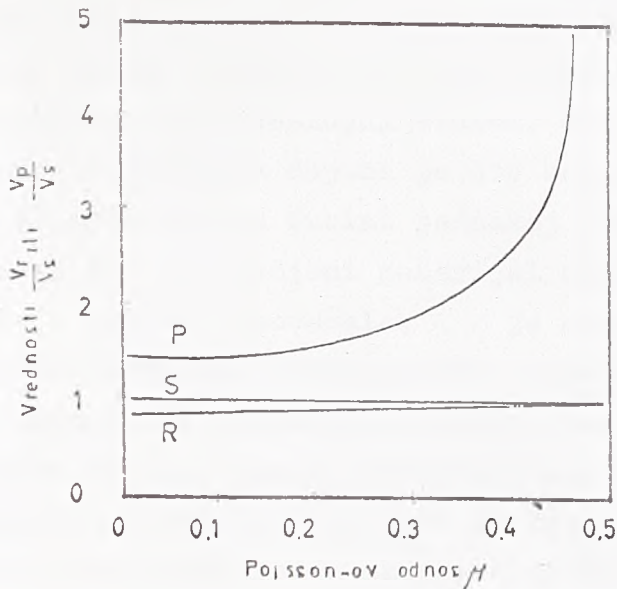
$$E = 2(1+\mu)G = 2(1+\mu)V_s^2 \left(\frac{\gamma_m}{g}\right) \quad (50)$$

Za P talase:

$$E = \frac{(1+\mu)(1-2\mu)V_p^2 \left(\frac{\gamma_m}{g}\right)}{(1-\mu)} \quad (51)$$

Za R talase:

$$E = \frac{2(1+\mu)V_r^2 \left(\frac{\gamma_m}{g}\right)}{\alpha^2} \quad (52)$$



Sl. 21 - Uticaj Poisson-ovog odnosa na brzinu talasa

U ovim jednačinama, kao što se vidi, na osnovu izmerene vrednosti brzine talasa "V" određuje se modul krutosti. Brzina rasprostiranja talasa data je izrazom:

$$V = L \cdot f \quad (53)$$

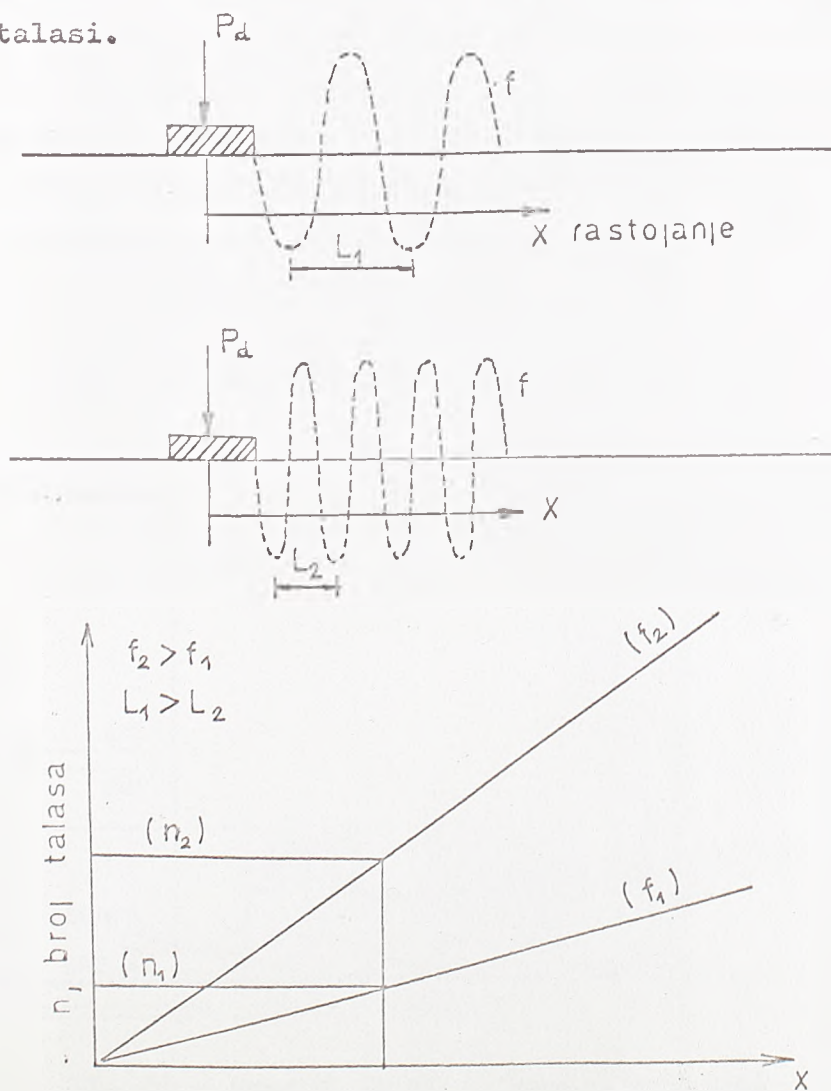
gde je:  $L$  - dužina talasa, i  $f$  - frekvencija.

Na sl. 22 je ilustrovana jednačina 53. Brzina rasprostiranja talasa, nastalih od vibrirajućeg opterećenja  $P_d$ , frekvencije  $f$ , meri se preko električnog detektora, osciloskopa i fazometra. Talasna dužina se normalno određuje iz izmerenog broja talasa  $n$  na određjenom rastojanju  $X$ . Na osnovu dijagrama sa osama  $n$  i  $x$ , a za različite frekvencije određuje se talasna dužina i odgovarajuća brzina rasprostiranja talasa. Sa povećanjem frekvencije dolazi do opadanja talasne dužine. Znači za datu frekvenciju, određuje se talasna dužina, a na osnovu jednačine 53 se sračunava brzina talasa.

Za idealno uniformnu elastičnu sredinu,

$$V = f_1 L_1 = f_2 L_2 = \dots = f_n L_n \quad (54)$$

Za ovakav materijal brzina talasa je nezavisna od frekvencije, a modul se može računati preko jednačina 50 i 51 na osnovu rezultata jedne frekvencije. Međutim, za višeslojni sistem, ovaj idealni slučaj se mora modifikovati. Najvažnija dopuna je što se uvođe u razmatranje R talasi koji se rasprostiru na dubini jednakoj  $L_T$ . Prosodno vrednost modula krutosti E za određeni materijal dobija se na jednoj polovini dubine  $L_r$ . Ako se f povećala,  $L_r$  je opala i izmerene osobine odgovaraju bliže površini. Takođe, ako f opada,  $L_r$  se povećava i daje osobine materijala tipične za dublje slojeve. Prema tome, kod višeslojnih konstrukcija visoke frekvencije se upotrebljavaju za određivanje osibina na površini dok niske frekvencije vibratora za osobine posteljice. Tačku osmatranja najpre dostižu primarni (longitudinalni talasi), zatim sekundarni (transverzalni) i na kraju Rayleigh-ovi talasi.



Sl. 22 - Prikaz rasprostiranja talasa kroz idealnu elastičnu sredinu

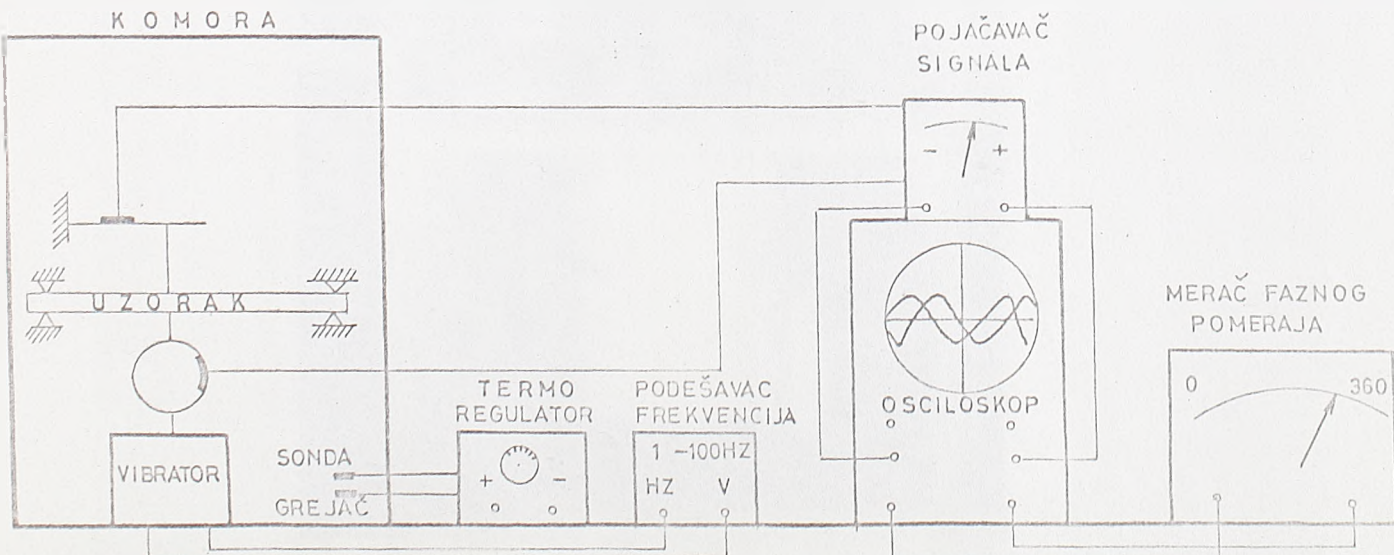
### III.2. Laboratorijsko određivanje modula krutosti

Rezultati dobijeni laboratorijskim ispitivanjima u svakom slučaju imaju manju vrednost, nego oni dobijeni na licu mesta. U stvari, najveći problem prilikom laboratorijskih ispitivanja je da se nadje odgovarajući model koji će dovoljno tačno reprezentovati dogadjaje u stvarnosti.

Postoje modeli koji u razmeri 1:n potpuno verno predstavljaju stvarne uslove i oni čija oprema zaprema  $2 \text{ m}^2$ .

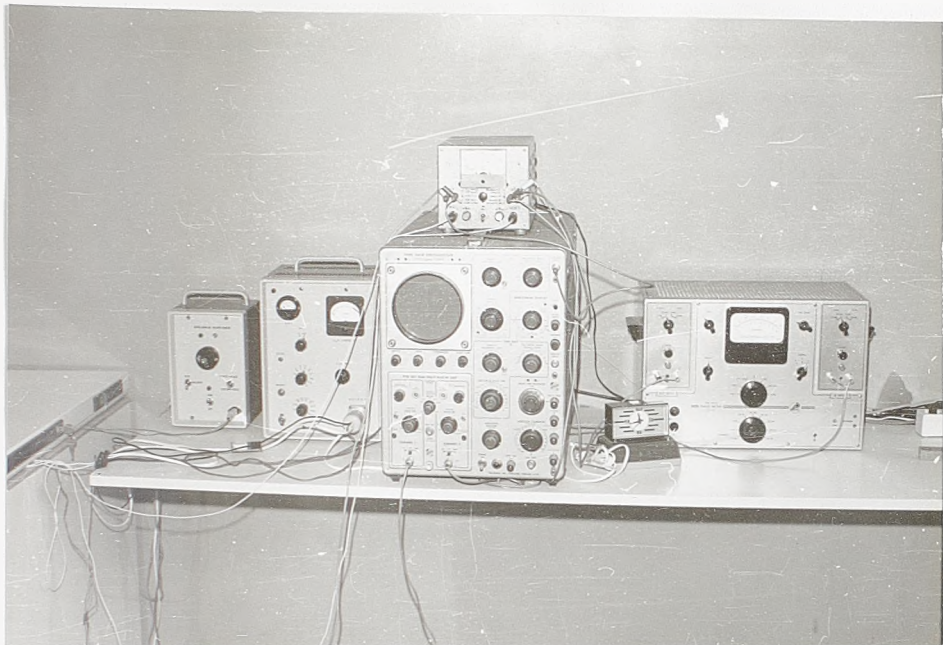
S obzirom na naše materijalne mogućnosti mi smo u Laboratoriji za puteve - Gradjevinskog fakulteta u Beogradu, konstruisali aparat za dinamička ispitivanja asfalta. Po konstrukciji aparat je originalan (svi delovi aparata, osim osciloskopa, vibratora i fazometra, su ručne izrade), a po idejnem rešenju ima par uzora u najpoznatijim svetskim istraživačkim centrima. Ovako konstruisan aparat omogućava ispitivanje pojedinih reoloških karakteristika asfalta, kao što su: modul krutosti, kompleksni modul elastičnosti, zamor ... i to u funkciji od opterećenja, frekvencije i temperature.

Konstruktivni detalji aparata prikazani su na sl. 23, 24 i 25.

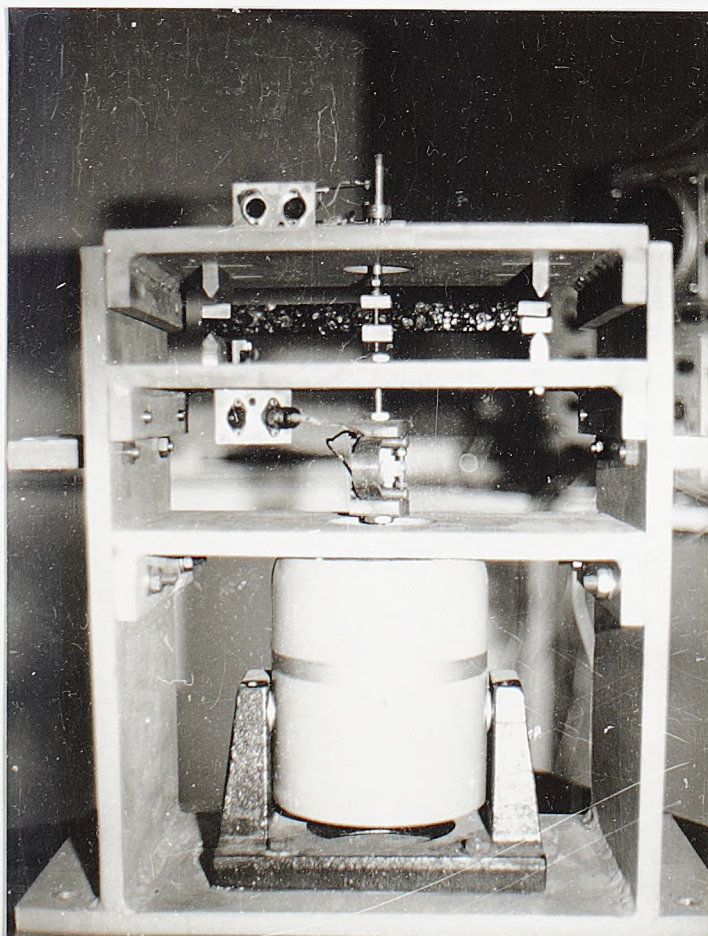


Sl. 23 - Aparat za dinamičko ispitivanje  
asfaltnih gredica

- 40 -



Sl. 24



Sl. 25

Osnovni delovi aparata su:

- osciloskop (za registrovanje amplituda sile i ugiba)
- merač faznog pomeranja (za merenje fazne razlike izmedju trenutka dejstva sile i nastalog pomeranja)
- birač frekvencija sile (od 1 do 100 HZ sa intervalom od 1/2 HZ)
- pojačivač signala (pojačava signale sa mernih traka)
- termoregulator (omogućava izbor temperature na kojoj će se obavljati ispitivanje; od  $-36^{\circ}\text{C}$  do  $+100^{\circ}\text{C}$ , sa intervalom od  $1/10^{\circ}\text{C}$ )
- vibrator (proizvodi sinusoidalno opterećenje max jačine 25 kp)
- merač sile (kombinacija više čeličnih prstena sa ugradjenim mernim trakama za merenje jačine sile kojom vibrator deluje na uzorak)
- merač ugiba (konzola sa mernom trakom koja registruje ugib i reguliše najveći dozvoljeni ugib prilikom rezonancije da ne bi došlo do oštećenja aparature)
- držać uzorka i prateće opreme (metalna konstrukcija postolja za jedan deo aparature)
- termoregulaciona komora (prepravljen frižider za duboko zamrzavanje sa ugradjenim grejačem i regulacionom sondom)
- merač vremena ispitivanja uzorka (električni časovnik koji se automatski uključuje prilikom ispitivanja i isključuje u trenutku razaranja uzorka).

### III.2.1. Prikaz postupka ispitivanja modula krutosti

#### Uvod

Pre početka ispitivanja trebalo je razrešiti niz na oko lakih problema. Najznačajniji su svakako način spravljanja uzorka i izbor reprezentativnog uzorka. Postoje dva načina da se dodje do uzorka - asfaltnih gredica dimenzija  $25 \times 3 \times 2$  cm. Jedan je da se one seknu iz kolovoza ili laboratorijski napravljenih ploča, a drugi da se prave u kalupima. Ovaj principijelno lak problem rešen je dosta naporno pravljenjem uzorka u kalupima. Tom prilikom smo došli do zaključka da se jedino dinamičkim sabijanjem može postići 100% zbijenost po "Marshall"-u (u odnosu na zbijenost standardnih Marshall-ovih cilindara).

Asfaltna mešavina se sastojala od:

- kamenog braška	10%
- peska	5%
- kamene sitneži 0 - 2 mm	30%
- kamene sitneži 2 - 5 mm	25%
- kamene sitneži 5 - 8 mm	15%
- kamene sitneži 8 -12 mm	15%
	100%
- bitumen	50/55
	6,75%

sa fizičko-mehaničkim osobinama:

- stabilnost po "Marshall"-u na 60°C	1000 kp
- tečenje po "Marshall"-u na 60°C	3,75 mm
- zapreminska težina po "Marshall"-ovim uzorcima	2,33 t/m <sup>3</sup>
- šupljine u asfaltnoj masi	4,11%
- šupljine u asfaltnim gredicama	4,53%

od koje je napravljeno i ispitano 250 gredica (sl. 26). Nakon više-nedeljnih proba izbor je pao na mineralnu mešavinu sastavljenu po Fulerovom principu za asfalt betone (sl. 27).

Iako je sa peščanim asfaltnim mešavinama mnogo lakše raditi, odlučio sam se za asfalt-betonsku mešavinu zbog njene rasprostranjenosti u našim uslovima, a i zbog povezivanja sa rezultatima ispitivanja modula krutosti bituminiziranog šljunka koji sam radio u magistarskom radu. Da bi se smanjila rasipanja rezultata u toku merenja modula krutosti, svi uzorci su bili identičnog sastava, dimenzija i zapreminske težine.

### III.2.2. Postupak ispitivanja

Pre početka ispitivanja bilo je neophodno izbaždariti sve mernе uređjaje. U suštini bilo je moguće meriti samo električne veličine, tj. napon struje na mernim trakama koji je pojačavan i registrovan na

osciloskopu. Na osnovu ovih vrednosti preko dijagrama (dobijenih u fazi baždarenja) očitovane su vrednosti sile i ugiba.



Sl. 26

Pre početka ispitivanja uzorci su temperirani u komori do postizanja konstantne temperature. Ovo vreme se kretalo od  $30^{\circ}$  do  $60^{\circ}$ . Zatim su uzorci stavljeni na merno postolje i uključivan vibrator koji je preko mernog prstena delovao predvidjenom silom i njenom frekvencijom na uzorak.

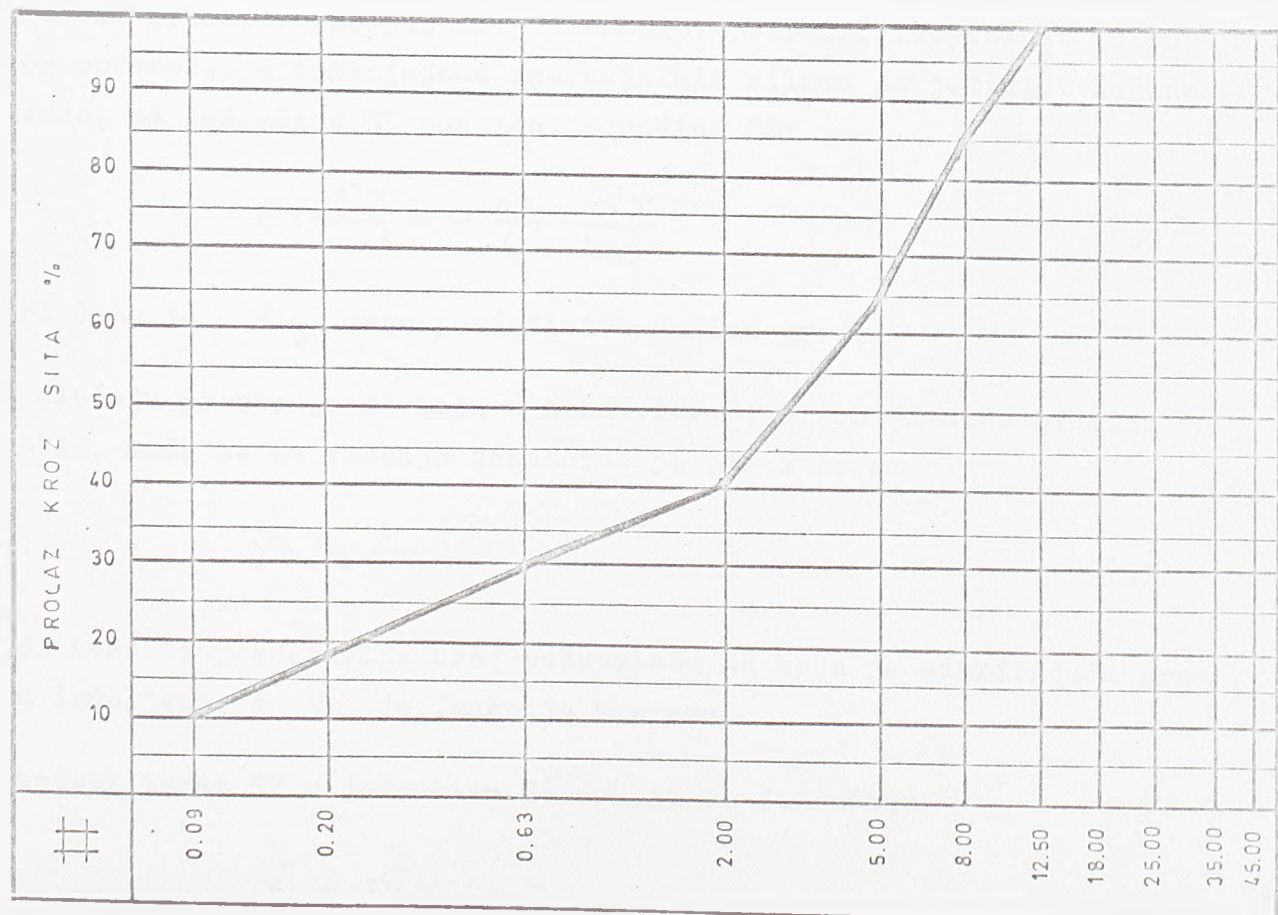
Različite temperature ispitivanja zahtevale su i različite debljine čeličnih prstenova (zbog velikih razlika u veličini modula krutosti na različitim temperaturama). Preko konzole sa ugradjenim mernim trakama registrovan je ugib i zaustavljen aparat u trenutku rezonancije, kada je dolazilo do naglog skoka amplituda ugiba.

- 44 -

FRAKCIJA	PROLAZ OSNOVNIH FRAKCIJA						
OTVORI SITA	0.09	0.20	0.63	2.00	5.00	8.00	12.50
KAMENO BRAŠNO	79.8	98.8	100.0				
PESAK	87.5	91.0	100.0				
0 - 2	8.5	19.7	47.3	81.3	100.0		
2 - 5	0.8	1.3	2.8	6.4	71.9	100.0	
5 - 8	0.2	0.3	0.5	0.9	5.4	83.4	100.0
8 - 12.5	0.1	0.2	0.3	0.4	0.6	18.0	95.0

FRAKCIJA	UCE-	PROLAZ SASTAVLJENE MEŠAVINE						
		0.09	0.20	0.63	2.00	5.00	8.00	12.50
OTVORI SITA	ŠĆE							
KAMENO B.	10	8.0	9.9	10.0	10.0	10.0	10.0	10.0
PESAK	5		1.3	4.8	5.0	5.0	5.0	5.0
0 - 2	30	2.5	5.9	14.2	24.4	30.0	30.0	30.0
2 - 5	25	0.2	0.3	0.6	1.6	18.0	25.0	25.0
5 - 8	15				0.1	0.8	12.5	15.0
8 - 12.5	15					0.1	2.7	15.0
UKUPNO	100	10.7	17.4	29.6	41.1	63.9	85.2	100.0

### LINIJA PROSEJAVA VJANJA



Sl. 27 - Granulometrijski sastav mineralne mešavine

U trenutku rezonancije dolazilo je uvek do loma uzorka. Na visokim temperaturama je zbog brze pojave rezonancije bio veliki problem registrovanja svih mernih veličina. Pojačivač signala sa mernih traka zbog svoje znatne osetljivosti, tražio je uvek intervencije u toku ispitivanja. Na ekranu osciloskopa registrovane su veličine amplituda sile i ugiba u Volta/cm, a kasnije pretvarane u kp i mm. Pored ovih vrednosti registrovao sam i fazni pomeraj, ali ga nisam koristio u daljem toku rada.

### III.2.3. Sračunavanje modula krutosti

Diferencijalna jednačina staticke krive ugiba elastične prizmatične gredice je

$$EJ \frac{d^4y}{dx^4} = q \quad (55)$$

pri čemu  $q$  predstavlja intenzitet raspodeljenog opterećenja, a  $EJ$  krutost grede. Primenjujući D'Alamberov princip, intenzitet  $q$  bočnog opterećenja zamenujemo inercijalnim silama po jedinici dužine grede, pa jednačina 55 postaje jednačina 56:

$$EJ \frac{d^4y}{dx^4} = - \frac{\omega}{g} \cdot \frac{\partial^2 y}{\partial t^2} \quad (56)$$

pri čemu je  $\omega/g$  masa po jedinici dužine grede.

U slučaju proste grede koja u toku vibracija dobija sinusoidalni oblik, može se za rešenje jednačine 56 uzeti izraz

$$y = \psi_i \cdot \sin \frac{i \pi x}{l} \quad (57)$$

pri čemu  $i$  predstavlja broj polutalasa na koje je vibrirajuća gređa izdeljena, a  $\psi_i$  je funkcija vremena.

Uvodeći izraz 57 u jednačinu 56 dobija se jednačina

$$\ddot{\psi}_i + \frac{\omega^2}{g} \psi_i = 0 \quad (58)$$

u kojoj je primenjena oznaka

$$\rho_i^2 = \frac{i^4 T^4}{\ell^4} \cdot \frac{EJg}{\omega} \quad (59)$$

Diferencijalna jednačina 58 predstavlja prosto harmonijsko kretanje, čija je frekvencija

$$\omega_i = \frac{\rho_i}{2T} = \frac{T \cdot i^2}{2\ell^2} \sqrt{\frac{EJg}{\omega}} \quad (60)$$

Kod prinudnih vibracija grede pod  $q(x,t)$  raspodeljenom pobudjujućom silom, koristeći prethodni princip, koji dodajemo inercijalnim silama na desnoj strani jednačine 56 dobijamo

$$EJ \frac{d^4 y}{dx^4} = -\frac{\omega}{g} \frac{\partial^2 y}{\partial t^2} + q(x,t) \quad (61)$$

Nalazeći rešenje ove jednačine u obliku (57) i uvodeći ga natrag, dobijamo

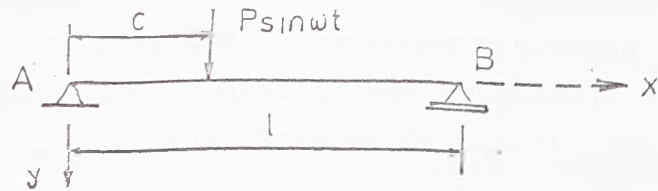
$$\ddot{\psi}_i \sin \frac{i\pi x}{\ell} + \rho_i^2 \psi_i \sin \frac{i\pi x}{\ell} = \frac{q}{\omega} q(x,t) \quad (62)$$

Sada se pomnože obe strane jednačine sa  $\sin(i\pi x/\ell) dx$ , pa izvrši integriranje po dužini  $\ell$  grede.

$$\ddot{\psi}_i + \rho_i^2 \psi_i = \frac{2q}{\omega \ell} \int_0^\ell q(x,t) \sin \frac{i\pi x}{\ell} dx \quad (63)$$

Za slučaj kada umesto raspodeljene pobudjujuće sile  $q(x,t)$  na gredu deluje stalno pulzirajuća sila  $P \sin \omega t$ , funkcija  $q(x,t)$  iščezava za sve vrednosti od  $x$ , izuzev za  $x = c$  (sl. 28), pa tako dobijamo

$$\int_0^\ell q(x,t) \sin \frac{i\pi x}{\ell} dx = P \sin \omega t \sin \frac{i\pi c}{\ell} \quad (64)$$



sl. 28

Ako ovo unesemo u desnu stranu jednačine (63) ona postaje

$$\ddot{\psi} + \rho_i^2 \psi_i = \frac{2gP}{\omega l} \sin \omega t \cdot \sin \frac{i\pi c}{l}, \quad (65)$$

a zatim koristeći se jednačinom za numeričko integriranje

$$x_1 = x_0 + \frac{1}{2} \left( \frac{x_0}{p_0} + \frac{x_1}{p_0} \right) \Delta (p_0 \cdot t) \quad (66)$$

dobijamo opšte rešenje

$$\psi_i = \frac{2gP}{\rho_i \omega l} \cdot \sin \frac{i\pi c}{l} \int_0^{t_1} \sin \omega t \cdot \sin (\rho_i t_i - \rho_i t) dt \quad (67)$$

koje posle integracije postaje

$$\psi_i = \frac{2gP}{\omega l} \sin \frac{i\pi c}{l} \left( \frac{\sin \omega t}{\rho_i^2 - \omega^2} - \frac{\omega}{\rho_i} \frac{\sin \rho_i t}{\rho_i^2 - \omega^2} \right) \quad (68)$$

Uvodeći ovaj izraz za  $\psi_i$  u jednačinu 57 dobija se i-ti način vibriranja grede. Uzimajući  $i = 1, 2, 3, \dots$  te sumirajući odgovarajuće načine vibriranja, dobija se potpuno rešenje za reagovanje grede na pobudjujuću silu  $P \sin \omega t$ , koje glasi

$$y = \frac{2gP}{\omega l} \sum_{i=1}^{\infty} \frac{\sin \left( \frac{i\pi c}{l} \right) \sin \left( \frac{i\pi x}{l} \right)}{\rho_i^2 - \omega^2} \sin \omega t -$$

$$- \frac{2gP}{\omega l} \sum_{i=1}^{\infty} \frac{\omega}{\rho_i} \frac{\sin \left( \frac{i\pi c}{l} \right) \sin \left( \frac{i\pi x}{l} \right)}{\rho_i^2 - \omega^2} \sin \rho_i t \quad (69)$$

Prvi red, srazmeran sa  $\sin \omega t$ , predstavlja prinudne vibracije koje imaju istu frekvenciju  $\omega/2\sqrt{\lambda}$  kao i pobudjujuća sila. Drugi red, srazmeran sa  $\sin p_1 t$ , predstavlja slobodne vibracije čije su frekvencije date jednačinom 60. Zahvaljujući prigušenju doći će do postupnog gušenja ovih vibracija, tako da će ostati samo prinudne vibracije.

Za slučaj kada pobudjujuća sila deluje na sredini grede ( $c=1/2$ ), uz uvođenje označke  $\omega^2/p_1^2 = a^2$ , iz prvog reda jednačine 69, dobija se

$$Y = \frac{2P\ell^3}{\pi^4 E J} \left[ \frac{\sin(\pi x/\ell)}{1-a^2} - \frac{\sin(3\pi x/\ell)}{3^4-a^2} + \frac{\sin(5\pi x/\ell)}{5^4-a^2} \dots \right] \sin \omega t \quad (70)$$

Red brzo konvergira i zadovoljavajuću aproksimaciju za ugib, možemo da dobijemo uzimajući samo prvi član. Na ovaj način za ugib u sredini nalazimo:

$$(Y)_{x=\ell/2} = \frac{2P\ell^3}{EJ\pi^4} = \frac{P\ell^3}{48,7EJ} \quad (71)$$

Greška ove aproksimacije je oko 1,5%.

Stavljujući da je modul elastičnosti E jednak modulu krutosti  $S_m$ , dobijamo izraz za računavanje modula krutosti asfaltnih gradica

$$S_m = \frac{P \cdot \ell^3}{48fJ} = \frac{P \cdot \ell^3}{48h^3f} \quad (72)$$

gde je:  
 P - amplituda sile (kp)  
 f - amplituda ugiba (cm)  
 l - razmak oslonaca (23 cm)  
 h - visina gredice (2 cm)  
 b - širina gredice (3 cm)

#### IV. PRIKAZ DOBIJENIH REZULTATA I NJIHOVA OBRADA

U okviru proučavanja ponašanja modula krutosti asfalt-betona u zavisnosti od temperature i frekvencije obavljena su ispitivanja na temperaturama  $-20^{\circ}\text{C}$ ,  $-10^{\circ}\text{C}$ ,  $0^{\circ}\text{C}$ ,  $10^{\circ}\text{C}$ ,  $20^{\circ}\text{C}$ ,  $30^{\circ}\text{C}$ ,  $40^{\circ}\text{C}$ ,  $50^{\circ}\text{C}$  i frekvencijama 5 Hz, 10 Hz, 20 Hz, 30 Hz, 40 Hz, 50 Hz, 60 Hz, 70 Hz, 80 Hz, 90 Hz i 100 Hz.

Uticaj šupljina na modul krutosti asfalt betona pri različitim temperaturama ispitivanja je za šupljine u asfaltnim gredicama od 3,73%, 4,53%, 6,46% i temperaturama  $-10^{\circ}\text{C}$ ,  $0^{\circ}\text{C}$ ,  $10^{\circ}\text{C}$ ,  $20^{\circ}\text{C}$  i  $30^{\circ}\text{C}$ .

Tabelarno sredjene vrednosti izvršenih ispitivanja date su na sl. 29 i 30. U ovim tabelama su dati samo ispravni rezultati merenja.

S obzirom da merenja nisu iste tačnosti ali daju približnu vrednost za parametar koji ima najmanju srednju kvadratnu grešku, računate su aritmetičke sredine, srednje kvadratno odstupanje, težina i srednja greška aritmetičke sredine za svaku grupu podataka - sl. 31.

Da bi se dobile jednačine modula krutosti u zavisnosti od temperature, frekvencije i procenta šupljina, izvršena je statistička obrada podataka.

#### Prikaz postupka za obradu podataka

Eksperimentalno dobijeni podaci za modul krutosti u funkciji od temperature i frekvencije i temperature i procenta šupljina u asfaltnim gredicama, sredjeni su korišćenjem usluga Računskih centara na Građevinskom i Elektrotehničkom fakultetu.

Za određivanje aproksimativnih krivih korišćen je princip da zbir kvadrata odstupanja izmedju eksperimentalnih vrednosti " $Y_i$ " i odgovarajućih vrednosti izabrane funkcionalne veze " $Y^a$ " bude najmanji,

$$Y^a = a + b x \quad (73)$$

što znači da se koeficijenti "a" i "b" određuju iz uslova da izraz:

$$\sum_{i=1}^n (Y_i^a - Y_i)^2 \quad (74)$$

bude minimalan, pri čemu su " $Y_i$ " i " $X_i$ " rezultati od "N" merenja. Ovaj postupak određivanja željene funkcije poznat je pod nazivom "regresiona analiza" i metod "najmanjih kvadrata". Kao ocena dobrote "fitovanja" uvedeni su pojmovi rezidijumska varijansa  $G$ , rezidijumska devijacija  $GG$  i rezidijumski varijacioni koeficijent  $GP$ .

$$G = \frac{1}{N} \sum [f(x_i) - Y_i]^2 \quad (75)$$

$$GG = \sqrt{G}$$

$$GP = \frac{\sqrt{G}}{\frac{1}{N} \sum_{i=1}^n Y_i} \cdot 100\% \quad (76)$$

Veličine " $Y_i$ " predstavljaju vrednosti modula krutosti na temperaturama  $X_i$ .

Od niza isprobanih funkcija, kao najpogodnija za fit-tovanje u ovom slučaju pokazala se:

$$f(x) = Ax^B + C \quad (77)$$

Polazeći od izraza za rezidijumu varijansu  $G$  diferenciranjem po parametrima,  $A$ ,  $B$  i  $C$ , dobijeni su izrazi:

$$G = \frac{1}{N} \sum_{i=1}^n (Ax_i^B + C - Y_i)^2 \quad (78)$$

$$\frac{\partial G}{\partial A} = \frac{2}{N} \sum (Ax_i^B + C - Y_i) x_i \cdot B \quad (79)$$

$$\frac{\partial G}{\partial B} = \frac{2}{N} \sum (Ax_i^B + C - Y_i) Ax_i^B \ln x_i \quad (80)$$

$$\frac{\partial \mathcal{G}}{\partial C} = \frac{2}{N} \sum (A x_i^B + C - Y_i). \quad (81)$$

Iz jednačivanjem parcijalnih izvoda sa nulom, dobijaju se parametri A, B i C za koje rezidijumska varijansa ima minimalnu vrednost.

$$A \sum x_i^{2B} + C \sum x_i^B = \sum Y_i x_i^B$$

$$A \sum x_i^{2B} \cdot \ln x_i + C \sum x_i B \ln x_i = \sum Y_i x_i \cdot \ln x_i \quad (82)$$

$$A \sum x_i^B + C N = \sum Y_i$$

Odavde sledi da je:

$$A(B) = \frac{\sum Y_i (x_i - \frac{1}{N} \sum x_i^B)}{\sum x_i^B (x_i - \frac{1}{N} \sum x_i^B)} \quad (83)$$

$$C(B) = \frac{1}{N} \left[ \sum Y_i - \frac{\sum Y_i (x_i^B - \frac{1}{N} \sum x_i^B)}{\sum x_i B (x_i^B - \frac{1}{N} \sum x_i^B)} \cdot \sum x_i^B \right] \quad (84)$$

S obzirom da je treća jednačina od prethodne tri transcedentna, potrebno je оформити нову funkciju  $\mathcal{C}(B)$ :

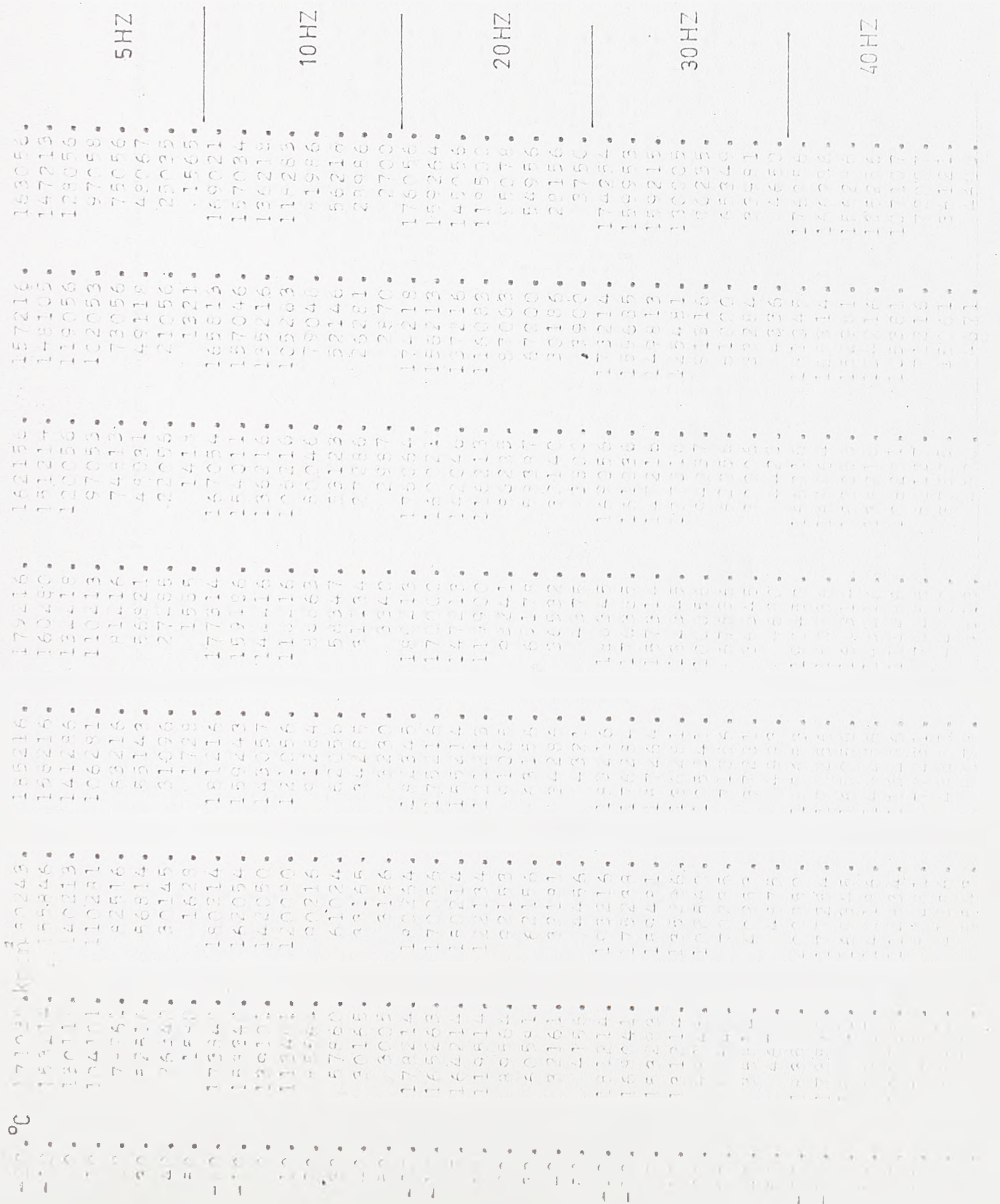
$$\mathcal{C}(B) = A(B) \sum x_i^{2B} \ln x_i + C(B) \sum x_i B \ln x_i - \sum Y_i x_i^B \ln x_i \quad (85)$$

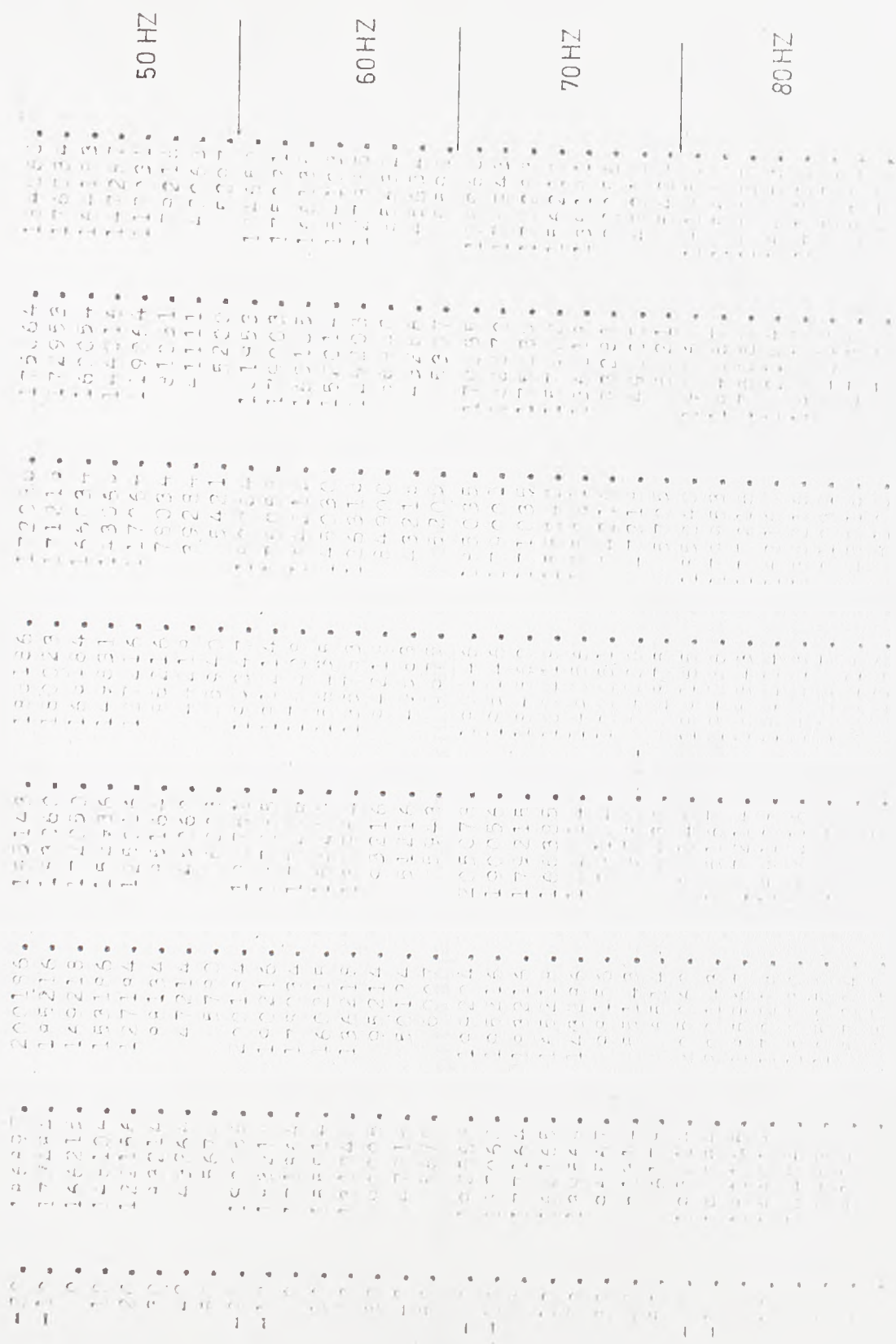
Iterativnim postupkom nadjena je nula funkcije  $\mathcal{C}(B) = 0$  i za dobijenu vrednost B izračunate su vrednosti za A i C iz izraza A(B) i C(B).

Na osnovu izloženog algoritma korišćenjem gotovog programa sredjeni su podaci i dobijeni dijagrami koji predstavljaju promenu modula krutosti asfalt-betona u zavisnosti od frekvencije i temperature i promenu modula krutosti asfalt-betona u zavisnosti od temperature i procenta šupljina u asfaltnim gredicama.

Na kraju ovog poglavlja dat je i dijagram promene modula krutosti bituminiziranog šljunka u zavisnosti od temperature (iz magistar- skog rada autora). Ovim dijagramom je postignuta celina izučavanja modula krutosti fleksibilnih kolovoznih konstrukcija i pružena mo- gućnost za interpolaciju i ekstrapolaciju rezultata.

Sl. 29. Rezultati ispitivanja modula krutosti u zavisnosti od temperature i frekvencije







SL.30 Rezultati ispitivanja modula krutosti u zavisnosti od šupljina

Šupljine u modulu mogu se pojaviti u raznim oblicima i veličinama. U ovom delu su rezultati ispitivanja modula krutosti u zavisnosti od šupljina predstavljeni za dve frekvencije vibracija: 90 Hz i 100 Hz. Ispitivanje je izvedeno za tri različite veličine šupljina: 3,73%, 4,53% i 6,46%. Rezultati su prikazani u sledećim tablicama:

Frekvencija vibracija: 90 Hz

Šupljina (%)	Rezultati
3,73%	3,73%
4,53%	4,53%
6,46%	6,46%

Frekvencija vibracija: 100 Hz

Šupljina (%)	Rezultati
3,73%	3,73%
4,53%	4,53%
6,46%	6,46%

SL.31 Aritmetička sredina, težina, srednje kvadratno odstupanje i srednja greska aritmetičke sredine za svaku grupu podataka

TEMPERATURA=20 °C ± 7  
SREDNJA VREDNOST= 0.17117±0.04  
TEZINA= 0.61263±0.04  
DSCE= 0.10654±0.04  
DSVE= 0.40425±0.04

5 HZ

TEMPERATURA=15 °C ± 7  
SREDNJA VREDNOST= 0.15344±0.04  
TEZINA= 0.29465±0.04  
DSCE= 0.44939±0.04  
DSVE= 0.17492±0.04

TEMPERATURA= 0 °C ± 7  
SREDNJA VREDNOST= 0.10144±0.04  
TEZINA= 0.51527±0.04  
DSCE= 0.27414±0.04  
DSVE= 0.33926±0.04

TEMPERATURA= 10 °C ± 7  
SREDNJA VREDNOST= 0.14705±0.04  
TEZINA= 0.20145±0.04  
DSCE= 0.50213±0.04  
DSVE= 0.21332±0.04

TEMPERATURA= 20 °C ± 7  
SREDNJA VREDNOST= 0.20374±0.04  
TEZINA= 0.61737±0.04  
DSCE= 0.45565±0.04  
DSVE= 0.11676±0.04

TEMPERATURA= 30 °C ± 7  
SREDNJA VREDNOST= 0.52250±0.04  
TEZINA= 0.44122±0.04  
DSCE= 0.39996±0.04  
DSVE= 0.15054±0.04

TEMPERATURA= 40 °C ± 7  
SREDNJA VREDNOST= 0.26144±0.04  
TEZINA= 0.49036±0.04  
DSCE= 0.37799±0.04  
DSVE= 0.17116±0.04

TEMPERATURA= 50 °C ± 7  
SREDNJA VREDNOST= 0.14044±0.04  
TEZINA= 0.32216±0.04  
DSCE= 0.16252±0.04  
DSVE= 0.51181±0.04

TEMPERATURE = 20 °C ± 7  
SPEKTRA VREDNOSTI = 0.1734957E-06 10 Hz  
T21, A = 0.1757113E-06  
DSC = 0.6324270E-06  
DSV = 0.221201E-06

TEMPERATURE = 10 °C ± 7  
SPEKTRA VREDNOSTI = 0.1521215E-06  
T21, A = 0.11306115E-06  
DSC = 0.2607211E-06  
DSV = 0.9402419E-06

TEMPERATURE = 0 °C ± 7  
SPEKTRA VREDNOSTI = 0.1291656E-06  
T21, A = 0.6886635E-06  
DSC = 0.3310554E-06  
DSV = 0.1251271E-06

TEMPERATURE = 100 °C ± 7  
SPEKTRA VREDNOSTI = 0.1146512E-06  
T21, A = 0.1637294E-06  
DSC = 0.5842517E-06  
DSV = 0.7472110E-06

TEMPERATURE = 20 °C ± 7  
SPEKTRA VREDNOSTI = 0.15428671E-06  
T21, A = 0.1782211E-06  
DSC = 0.5006043E-06  
DSV = 0.1492404E-06

TEMPERATURE = 30 °C ± 7  
SPEKTRA VREDNOSTI = 0.1703262E-06  
T21, A = 0.2036277E-06  
DSC = 0.3727814E-06  
DSV = 0.14077012E-06

TEMPERATURE = 40 °C ± 7  
SPEKTRA VREDNOSTI = 0.1911613E-06  
T21, A = 0.1277110E-06  
DSC = 0.2086611E-06  
DSV = 0.1105203E-06

TEMPERATURE = 50 °C ± 7  
SPEKTRA VREDNOSTI = 0.1741164E-06  
T21, A = 0.1657026E-06  
DSC = 0.2151117E-06  
DSV = 0.1291661E-06

TEMPERATURA = 20 °C = 7  
SREDNJA VREDNOST = 0.1791065E-06  
TEZINA = 0.9315364E-06  
DSC = 0.2901456E-04  
DSM = 0.1096622E-04

TEMPERATURA = 10 °C = 7  
SREDNJA VREDNOST = 0.1451475E-06  
TEZINA = 0.1446515E-06  
DSC = 0.6245220E-04  
DSM = 0.2620594E-04

TEMPERATURA = 0 °C = 7  
SREDNJA VREDNOST = 0.1457345E-06  
TEZINA = 0.5824106E-06  
DSC = 0.3916735E-04  
DSM = 0.3371197E-04

TEMPERATURA = 10 °C = 7  
SREDNJA VREDNOST = 0.1190705E-06  
TEZINA = 0.1301238E-06  
DSC = 0.2319314E-04  
DSM = 0.8756207E-04

TEMPERATURA = 20 °C = 7  
SREDNJA VREDNOST = 0.5025810E-06  
TEZINA = 0.7153138E-06  
DSC = 0.3105921E-04  
DSM = 0.41128961E-04

TEMPERATURA = 30 °C = 7  
SREDNJA VREDNOST = 0.6163057E-06  
TEZINA = 0.4192674E-06  
DSC = 0.4086215E-04  
DSM = 0.1544051E-04

TEMPERATURA = 40 °C = 7  
SREDNJA VREDNOST = 0.2223637E-06  
TEZINA = 0.4649671E-06  
DSC = 0.2645861E-04  
DSM = 0.1117641E-04

TEMPERATURA = 50 °C = 7  
SREDNJA VREDNOST = 0.5571403E-06  
TEZINA = 0.2201577E-06  
DSC = 0.1474532E-04  
DSM = 0.5571403E-06

TEMPERATURE	WAVE	30HZ
SPECIJA VODNI STEN	TZ1 A=	0.2812143 ± 0.06
	TZ2 I A=	0.17004 ± 0.20 ± 0.01
	DSC=	0.13 ± 0.22 ± 0.04
	DSCM=	0.25150148 ± 0.04
TEMPERATURE	WAVE	1
SPECIJA VODNI STEN	TZ1 A=	0.14 ± 0.03 ± 0.06
	TZ2 I A=	0.11262 ± 0.15 ± 0.04
	DSC=	0.780146 ± 0.04
	DSCM=	0.77 ± 0.27 ± 0.04
TEMPERATURE	WAVE	0
SPECIJA VODNI STEN	TZ1 A=	0.15474 ± 0.07 ± 0.06
	TZ2 I A=	0.2023642 ± 0.04
	DSC=	0.42 ± 0.25 ± 0.04
	DSCM=	0.1152088 ± 0.04
TEMPERATURE	WAVE	10
SPECIJA VODNI STEN	TZ2 I A=	0.1211192 ± 0.07 ± 0.06
	DSC=	0.48167 ± 0.05 ± 0.04
	DSCM=	0.33369305 ± 0.04
	DSCM=	0.14 ± 0.11 ± 0.04
TEMPERATURE	WAVE	20
SPECIJA VODNI STEN	TZ1 A=	0.59261 ± 0.07 ± 0.06
	TZ2 I A=	0.16773 ± 0.05 ± 0.06
	DSC=	0.466517 ± 0.07 ± 0.06
	DSCM=	0.12 ± 0.08 ± 0.04
TEMPERATURE	WAVE	30
SPECIJA VODNI STEN	TZ1 A=	0.61655 ± 0.07 ± 0.06
	TZ2 I A=	0.16773 ± 0.05 ± 0.06
	DSC=	0.47196 ± 0.07 ± 0.06
	DSCM=	0.11262 ± 0.07 ± 0.06
TEMPERATURE	WAVE	40
SPECIJA VODNI STEN	TZ1 A=	0.25235 ± 0.07 ± 0.05
	TZ2 I A=	0.16773 ± 0.05 ± 0.06
	DSC=	0.28630 ± 0.07 ± 0.06
	DSCM=	0.12262 ± 0.07 ± 0.06
TEMPERATURE	WAVE	50
SPECIJA VODNI STEN	TZ1 A=	0.61655 ± 0.07 ± 0.06
	TZ2 I A=	0.16773 ± 0.05 ± 0.06
	DSC=	0.47196 ± 0.07 ± 0.06
	DSCM=	0.07210 ± 0.07 ± 0.02

TEMPERATURA = 20 °C = 7 40HZ  
SPEDNJA VREDNOST = 0.1932219E-06  
TEZI = 0.4127413E-06  
DSC = 0.1569432E-06  
DSV = 0.4127413E-06

TEMPERATURA = 10 °C = 7  
SPEDNJA VREDNOST = 0.1732917E-06  
TEZI = 0.2146763E-04  
DSC = 0.5745718E-04  
DSV = 0.2133917E-04

TEMPERATURA = 0 °C = 7  
SPEDNJA VREDNOST = 0.1591464E-06  
TEZI = 0.2520061E-06  
DSC = 0.5273411E-04  
DSV = 0.1952017E-06

TEMPERATURA = 10 °C = 7  
SPEDNJA VREDNOST = 0.1992318E-06  
TEZI = 0.4201911E-04  
DSC = 0.4031673E-04  
DSV = 0.1542711E-04

TEMPERATURA = 20 °C = 7  
SPEDNJA VREDNOST = 0.1095964E-06  
TEZI = 0.58156712E-06  
DSC = 0.2224766E-04  
DSV = 0.1111927E-06

TEMPERATURA = 30 °C = 7  
SPEDNJA VREDNOST = 0.7425262E-06  
TEZI = 0.4162374E-06  
DSC = 0.4174615E-04  
DSV = 0.15649918E-04

TEMPERATURA = 40 °C = 7  
SPEDNJA VREDNOST = 0.3521017E-06  
TEZI = 0.7101017E-06  
DSC = 0.1295638E-04  
DSV = 0.1120066E-06

TEMPERATURA = 50 °C = 7  
SPEDNJA VREDNOST = 0.5112216E-06  
TEZI = 0.3028177E-02  
DSC = 0.6313461E-02  
DSV = 0.1815723E-06

TEMPERATURA = 0 = 7 50HZ  
SPEEDJA VEDOSTE = 0.10544E-06  
TF211,A# = 0.70101E-05  
DSC# = 0.1056113E-05  
DSV# = 0.38527E15 E-06

TEMPERATURA = 10 = 7  
SPEEDJA VEDOSTE = 0.17914E-06  
TF211,A# = 0.476103E-06  
DSC# = 0.51162E-06  
DSV# = 0.1025051E-06

TEMPERATURA = 20 = 7  
SPEEDJA VEDOSTE = 0.1668625E-06  
TF211,A# = 0.476103E-06  
DSC# = 0.23621E-06  
DSV# = 0.1668627E-06

TEMPERATURA = 30 = 7  
SPEEDJA VEDOSTE = 0.1484657E-06  
TF211,A# = 0.4641177E-06  
DSC# = 0.47069E-06  
DSV# = 0.1600512E-06

TEMPERATURA = 20 = 7  
SPEEDJA VEDOSTE = 0.1091064E-06  
TF211,A# = 0.3676825E-06  
DSC# = 0.6497016E-06  
DSV# = 0.1639782E-06

TEMPERATURA = 30 = 7  
SPEEDJA VEDOSTE = 0.4317242E-05  
TF211,A# = 0.1091622E-05  
DSC# = 0.6497016E-06  
DSV# = 0.1416413E-06

TEMPERATURA = 40 = 7  
SPEEDJA VEDOSTE = 0.4217242E-05  
TF211,A# = 0.1091622E-05  
DSC# = 0.6497016E-06  
DSV# = 0.1416413E-06

TEMPERATURA = 40 = 7  
SPEEDJA VEDOSTE = 0.561731E-06  
TF211,A# = 0.714458E-05  
DSC# = 0.5157847E-05  
DSV# = 0.1149584E-05

TE PREDATURA=20  $\omega = 7$  60HZ  
SREDNJA VREDNOST= 0.193143E+06  
TF21\_A= 0.1647769E+06  
DSC= 0.173814E+06  
DSV= 0.208127E+06

TE PREDATURA=10  $\omega = 7$   
SREDNJA VREDNOST= 0.193145E+06  
TF21\_A= 0.1581124E+06  
DSC= 0.6653743E+06  
DSV= 0.251497E+06

TE PREDATURA= 0  $\omega = 7$   
SREDNJA VREDNOST= 0.171277E+06  
TF21\_A= 0.1617538E+06  
DSC= 0.6041482E+06  
DSV= 0.2236175E+06

TE PREDATURA= 10  $\omega = 7$   
SREDNJA VREDNOST= 0.194470E+06  
TF21\_A= 0.2366742E+06  
DSC= 0.4741402E+06  
DSV= 0.1947692E+06

TE PREDATURA= 20  $\omega = 7$   
SREDNJA VREDNOST= 0.131417E+06  
TF21\_A= 0.1774521E+06  
DSC= 0.4051816E+06  
DSV= 0.1511571E+06

TE PREDATURA= 20  $\omega = 7$   
SREDNJA VREDNOST= 0.301295E+06  
TF21\_A= 0.234715E+06  
DSC= 0.427267E+06  
DSV= 0.1614656E+06

TE PREDATURA= 40  $\omega = 7$   
SREDNJA VREDNOST= 0.471r242E+06  
TF21\_A= 0.6564258E+06  
DSC= 0.395169E+06  
DSV= 0.1224261E+06

TE PREDATURA= 50  $\omega = 7$   
SREDNJA VREDNOST= 0.5624437E+06  
TF21\_A= 0.7726126E+06  
DSC= 0.3971712E+06  
DSV= 0.1123231E+06

TEMPERATURA=20 °C = -7 70HZ  
SREDNJA VREDNOST= 0.192143E-06  
TF21,AE= 0.9153416E-05  
DSC= 0.8744953E-04  
DSV= 0.3215031E-04

TEMPERATURA=10 °C = -7  
SREDNJA VREDNOST= 0.1960419E-06  
TF21,AE= 0.1452453E-04  
DSC= 0.6941267E-04  
DSV= 0.2623592E-04

TEMPERATURA= 0 °C = -7  
SREDNJA VREDNOST= 0.1772538E-06  
TF21,AE= 0.2217212E-04  
DSC= 0.561524E-04  
DSV= 0.2122710E-04

TEMPERATURA= 10 °C = -7  
SREDNJA VREDNOST= 0.1621737E-06  
TF21,AE= 0.2219212E-04  
DSC= 0.4921624E-04  
DSV= 0.1723572E-04

TEMPERATURA= 20 °C = -7  
SREDNJA VREDNOST= 0.1943278E-06  
TF21,AE= 0.4921763E-04  
DSC= 0.3911195E-04  
DSV= 0.1441114E-04

TEMPERATURA= 20 °C = -7  
SREDNJA VREDNOST= 0.1921588E-06  
TF21,AE= 0.17926593E-04  
DSC= 0.35211074E-04  
DSV= 0.1161211E-04

TEMPERATURA= 40 °C = -7  
SREDNJA VREDNOST= 0.5123917E-06  
TF21,AE= 0.71164717E-04  
DSC= 0.3126745E-04  
DSV= 0.11855379E-04

TEMPERATURA= 50 °C = -7  
SREDNJA VREDNOST= 0.6126423E-06  
TF21,AE= 0.2664524E-02  
DSC= 0.5121688E-03  
DSV= 0.1935816E-03

TEMPERATURA=-20 °F= -7° 80HZ  
SREDNJA VREDNOST= 0.1950910E-06  
TEZINA= 0.1552012E-04  
DSC= 0.6715875E-04  
DSV= 0.2538364E-04

TEMPERATURA=-10 °F= -7°  
SREDNJA VREDNOST= 0.1 00055E-06  
TEZINA= 0.1424243E-04  
DSC= 0.7010616E-04  
DSV= 0.2449703E-04

TEMPERATURA=-5 °F= -7°  
SREDNJA VREDNOST= 0.1912828E-06  
TEZINA= 0.1778446E-04  
DSC= 0.4948584E-04  
DSV= 0.1970389E-04

TEMPERATURA= 0 °F= -7°  
SREDNJA VREDNOST= 0.1660253E-06  
TEZINA= 0.6402801E-04  
DSC= 0.2206438E-04  
DSV= 0.1249716E-04

TEMPERATURA= 20 °F= -7°  
SREDNJA VREDNOST= 0.1441093E-06  
TEZINA= 0.2088654E-04  
DSC= 0.4864046E-04  
DSV= 0.1591656E-04

TEMPERATURA= 25 °F= -7°  
SREDNJA VREDNOST= 0.9920915E-06  
TEZINA= 0.2290778E-04  
DSC= 0.5527966E-04  
DSV= 0.2089227E-04

TEMPERATURA= 40 °F= -7°  
SREDNJA VREDNOST= 0.1222420E-06  
TEZINA= 0.2088654E-04  
DSC= 0.4192061E-06  
DSV= 0.1584428E-06

TEMPERATURA= 50 °F= -7°  
SREDNJA VREDNOST= 0.7777070E-06  
TEZINA= 0.9516147E-03  
DSC= 0.9344426E-06  
DSV= 0.3531967E-07

TEMPERATURA=	20	R#	7	90HZ
SPREDNJA VREDNOST=	0.193101E-06			
TFZIJA=	0.506052E-05			
DSC=	0.1176111E-05			
DSV=	0.4645293E-04			
TEMPERATURA=	10	R#	7	
SPREDNJA VREDNOST=	0.1028048E-06			
TFZIJA=	0.1775327E-04			
DSC=	0.7136711E-04			
DSV=	0.2646471E-04			
TEMPERATURA=	0	R#	7	
SPREDNJA VREDNOST=	0.1841020E-06			
TFZIJA=	0.2020152E-04			
DSC=	0.4814821E-04			
DSV=	0.1819763E-04			
TEMPERATURA=	10	R#	1	
SPREDNJA VREDNOST=	0.1702625E-06			
TFZIJA=	0.2612812E-04			
DSC=	0.517607E-04			
DSV=	0.1956347E-04			
TEMPERATURA=	20	R#	7	
SPREDNJA VREDNOST=	0.1431478E-06			
TFZIJA=	0.3441674E-04			
DSC=	0.6114872E-04			
DSV=	0.170401E-04			
TEMPERATURA=	30	R#	7	
SPREDNJA VREDNOST=	0.1022624E-06			
TFZIJA=	0.227374E-04			
DSC=	0.493812E-04			
DSV=	0.162650E-04			
TEMPERATURA=	40	R#	7	
SPREDNJA VREDNOST=	0.5812045E-06			
TFZIJA=	0.1714470E-04			
DSC=	0.3676009E-04			
DSV=	0.1204606E-04			
TEMPERATURA=	50	R#	7	
SPREDNJA VREDNOST=	0.3514207E-06			
TFZIJA=	0.149370E-04			
DSC=	0.141617E-04			
DSV=	0.2259011E-04			

TEMPERATURA = -20 °C = 7 100 Hz

SREDNJA VREDNOST = 0.2001041E-06  
TEZIJA = 0.7432454E-05  
DSC = 0.9582212E-04  
DSV = 0.3610441E-04

TEMPERATURA = -10 °C = 7

SREDNJA VREDNOST = 0.1961213E-06  
TEZIJA = 0.1562546E-04  
DSC = 0.6691213E-04  
DSV = 0.2631174E-04

TEMPERATURA = 0 °C = 7

SREDNJA VREDNOST = 0.1971942E-06  
TEZIJA = 0.2375675E-04  
DSC = 0.4653746E-04  
DSV = 0.1721156E-04

TEMPERATURA = 10 °C = 7

SREDNJA VREDNOST = 0.1741591E-06  
TEZIJA = 0.2409793E-04  
DSC = 0.4413527E-04  
DSV = 0.1616443E-04

TEMPERATURA = 20 °C = 7

SREDNJA VREDNOST = 0.1641168E-06  
TEZIJA = 0.2624938E-04  
DSC = 0.4303282E-04  
DSV = 0.1651441E-04

TEMPERATURA = 30 °C = 7

SREDNJA VREDNOST = 0.1772057E-06  
TEZIJA = 0.19267167E-04  
DSC = 0.3250048E-04  
DSV = 0.3157176E-04

TEMPERATURA = 40 °C = 7

SREDNJA VREDNOST = 0.5912771E-06  
TEZIJA = 0.4426661E-04  
DSC = 0.3452415E-04  
DSV = 0.1451213E-04

TEMPERATURA = 50 °C = 7

SREDNJA VREDNOST = 0.7562782E-06  
TEZIJA = 0.4761574E-04  
DSC = 0.1517474E-04  
DSV = 0.3948717E-04

SL. 32 ARITMETIČKA SREDINA, TEŽINA, SREDNJE KVADRATNO  
ODSTUPANJE I SREDNJA GREŠKA ARITMETIČKE SREDINE  
GRUPE UZORAKA ISPLITIVANIH PRI ISTOJ FREKVENCIJI  
50HZ I RAZLIČITIM % ŠUPLJINA UASFALTnim GREDICAMA

TEMPERATURA= 10 °C ± 5 °C . 3.73 % ŠUPLJINA  
SREDNJA VREDNOST= 0.2602426E-06  
TEZINA= 0.61087375E-06  
DSC= 0.2103238E-06  
DSV= 0.1623633E-06

TEMPERATURA= 0 °C ± 5 °C  
SREDNJA VREDNOST= 0.1972036E-06  
TEZINA= 0.7111907E-06  
DSC= 0.2452378E-06  
DSV= 0.1180626E-06

TEMPERATURA= 10 °C ± 5 °C  
SREDNJA VREDNOST= 0.17175002E-06  
TEZINA= 0.4132165E-06  
DSC= 0.4195822E-06  
DSV= 0.1976742E-06

TEMPERATURA= 20 °C ± 5 °C  
SREDNJA VREDNOST= 0.1661462E-06  
TEZINA= 0.4532015E-06  
DSC= 0.2243729E-06  
DSV= 0.1053410E-06

TEMPERATURA= 20 °C ± 5 °C  
SREDNJA VREDNOST= 0.1420628E-06  
TEZINA= 0.7046566E-06  
DSC= 0.2786614E-06  
DSV= 0.1180579E-06

TEMPERATURA = 10 °C = 56  
SREDNJA VREDNOST = 0.1721862E-04  
TEZIJA = 0.18338311E-04  
DUGA = 0.6102857E-04  
DSVE = 0.2731864E-04

4.53% ŠUPLJINA

TEMPERATURA = 0 °C = 56  
SREDNJA VREDNOST = 0.1667142E-04  
TEZIJA = 0.1693955E-04  
DUGA = 0.445619E-04  
DSVE = 0.1497622E-04

TEMPERATURA = 10 °C = 56  
SREDNJA VREDNOST = 0.1482654E-04  
TEZIJA = 0.2192811E-04  
DUGA = 0.4790959E-04  
DSVE = 0.2125415E-04

TEMPERATURA = 20 °C = 56  
SREDNJA VREDNOST = 0.1925000E-04  
TEZIJA = 0.2314161E-04  
DUGA = 0.4711711E-04  
DSVE = 0.1914061E-04

TEMPERATURA = 30 °C = 56  
SREDNJA VREDNOST = 0.1821161E-04  
TEZIJA = 0.231424E-04  
DUGA = 0.4711711E-04  
DSVE = 0.1921671E-04

TEMPERATURA = 10 °C = 5  
SREDNJA VREDNOST = 0.1471334E-06  
TEZINA = 0.9274112E-05  
DSC = 0.7242563E-04  
DSV = 0.1283703E-04  
6.46 % ŠUPLJINA

TEMPERATURA = 0 °C = 5  
SREDNJA VREDNOST = 0.1343274E-06  
TEZINA = 0.2026183E-04  
DSC = 0.4967569E-04  
DSV = 0.2321573E-04

TEMPERATURA = 10 °C = 5  
SREDNJA VREDNOST = 0.1174114E-06  
TEZINA = 0.6957712E-04  
DSC = 0.2701181E-04  
DSV = 0.1207657E-04

TEMPERATURA = 20 °C = 5  
SREDNJA VREDNOST = 0.1126941E-05  
TEZINA = 0.4536232E-04  
DSC = 0.3233557E-04  
DSV = 0.1175456E-04

TEMPERATURA = 0 °C = 5  
SREDNJA VREDNOST = 0.1221063E-05  
TEZINA = 0.3611776E-04  
DSC = 0.2247723E-04  
DSV = 0.1005212E-04

## TEMPERATURA °C

## REZULTATI MERENJA MODULA KRUTOSTI NA 5 HZ

-20.	171030.	180243.	185216.	179216.	162156.	157216.
-10.	153214.	155846.	158216.	160280.	151214.	148105.
0.	130116.	140213.	141286.	132218.	120056.	119056.
10.	104101.	110281.	106281.	110213.	97053.	102053.
20.	78261.	82516.	83216.	81216.	74813.	73056.
30.	52516.	56814.	55143.	56821.	48031.	49118.
40.	26340.	30145.	31096.	27255.	22056.	21056.
50.	1580.	1628.	1728.	1585.	1418.	1321.

$$\text{JEDNACINA KRIVE MODULA KRUTOSTI} \quad Y = (250 - (A(X+20) * B + C)) * 1000$$

## KOEFICIENTI JEDNACINE

$$\begin{aligned} A &= 0.1620663187E 01 \\ B &= 0.1098265298E 01 \\ C &= 0.7768688678E 02 \end{aligned}$$

REZIDIJUMSKA VARIJANSA = 0.3261691643E 02

REZIDIJUMSKA DEVIJACIJA = 0.5711122171E 01

REZIDIJUMSKI VAR. KOEF. = 0.3561003541E 01 PROCENATA

## TEMPERATURA MODUL KRUTOSTI

-20.	172313.
-10.	151991.
0.	128805.
10.	104398.
20.	79163.
30.	53295.
40.	26909.
50.	86.

TEMPERATURA °C	REZULTATI MERENJA	MODULA KRUTOSTI	KP/CM ** 2	NA 10HZ
-20.	173840.	180214.	177314.	167054.
-10.	158340.	162054.	159186.	154011.
0.	139101.	142050.	143057.	142216.
10.	113481.	120080.	121056.	118216.
20.	85564.	90216.	91284.	88863.
30.	57860.	61024.	62056.	58347.
40.	30165.	33165.	34285.	31134.
50.	3005.	3156.	3230.	27286.
				2987.
				2700.

$$JEDNACINA KRIJE MODULA KRUTOSTI \quad Y = (250 - (A(X+20) * * B+C)) * 1000$$

KOEFFICIJENTI JEDNACINE

$$\begin{aligned} A &= 0.9625367817E 00 \\ B &= 0.1222327439E 01 \\ C &= 0.7508594256E 02 \end{aligned}$$

REZIDIJUMSKA VARIJANSA = 0.1845579224E 02

REZIDIJUMSKA DEVIJACIJA = 0.4296020511E 01

REZIDIJUMSKI VAR. KOEF. = 0.2774325688E 01 PROCENATA

TEMPERATURA	MODUL KRUTOSTI
-20.	174414.
-10.	158354.
0.	136942.
10.	112904.
20.	86984.
30.	59568.
40.	30898.
50.	1140.

TEMPERATURA C	REZULTATI MERENJA MODULA KRUTOSTI	KP/CM ** 2	NA 20 HZ
-20.	178214.	180264.	182345.
-10.	165263.	170056.	175216.
0.	164214.	150214.	155214.
10.	119514.	122134.	121213.
20.	89564.	92153.	91065.
30.	60581.	62156.	63156.
40.	32161.	32181.	34286.
50.	4156.	4456.	4321.
			4375.
			3800.
			3900.
			3750.

$$Y = (250 - (A(X+20) * * B + C)) * 1000$$

#### KOEFICIJENTI JEDNACINE

$$\begin{aligned} A &= 0.8272480221E 00 \\ B &= 0.1265012739E 01 \\ C &= 0.6983521267E 02 \end{aligned}$$

REZIDIJUMSKA VARIJANSA = 0.2510018128E 02

REZIDIJUMSKA DEVIJACIJA= 0.5010008113E 01

REZIDIJUMSKI VAR. KOEF.= 0.3335399402E 01 PROCENATA

TEMPERATURA	MODUL KRUTOSTI
-20.	180164.
-10.	164936.
0.	143566.
10.	119040.
20.	92209.
30.	63522.
40.	33265.
50.	1635.

TEMPERATURA °C

REZULTATI MERENJA MODULA KRUTOSTI KP / CM \*\* 2 NA 30 Hz

-20.	181214.	193216.	189216.	188345.	169056.	173214.	174254.
-10.	168041.	175238.	176284.	176385.	161036.	159685.	159534.
0.	153283.	159481.	157264.	157314.	147216.	149813.	159215.
10.	131214.	125286.	126281.	132345.	127318.	125481.	130005.
20.	98148.	102560.	105341.	100056.	94037.	91316.	96235.
30.	66543.	70235.	71056.	67836.	62056.	61000.	65349.
40.	25814.	40253.	37281.	36345.	30006.	23284.	23981.
50.	4678.	4875.	4993.	4690.	4423.	4336.	4650.

JEDNACINA KRIJE MODULA KRUTOSTI Y = (250 - (A(X+20)\*\*B+C)) \* 1000

KOEFICIENTI JEDNACINE

$$\begin{aligned} A &= 0.4500107228E\ 00 \\ B &= 0.1410457065E\ 01 \\ C &= 0.6804685184E\ 02 \end{aligned}$$

REZIDIJUMSKA VARIJANSA = 0.3284217283E 02

REZIDIJUMSKA DEVIJACIJA = 0.5730809094E 01

REZIDIJUMSKI VAR. KOEF. = 0.3951323518E 01 PROCENATA

TEMPERATURA MODUL KRUTOSTI

-20.	-	181953.
-10.	*	170373.
0.	*	151173.
10.	*	127422.
20.	*	100133.
30.	*	69868.
40.	*	36999.
50.	*	1794.

TEMPERATURA °C

REZULTATI MERENJA MODULA KRUTOSTI NA 40 HZ

-20.	183560.	200050.	185653.	190450.	166216.	161345.
-10.	173890.	177284.	178256.	180836.	168864.	168314.
0.	159141.	165345.	165056.	162314.	153056.	152981.
10.	139215.	142186.	144286.	13216.	136218.	134216.
20.	109586.	112634.	113286.	111286.	106281.	105381.
30.	74560.	80281.	77231.	76285.	68137.	71216.
40.	39481.	41286.	43283.	42000.	37305.	35061.
50.	5176.	5543.	5678.	5513.	4600.	4605.

JEDNACINA KRIJE MODULA KRUTOSTI       $\gamma = (250 - (A(X+2C) * * B+C)) * 1000$ 

KOEFICIENTI JEDNACINE

$$\begin{aligned} A &= 0.2220559634E 00 \\ B &= 0.1577570820E 01 \\ C &= 0.6622688357E 02 \end{aligned}$$

REZIDIJUMSKA VARIJANSA = 0.2877306407E 02

REZIDIJUMSKA DEVIJACIJA = 0.5364052951E 01

REZIDIJUMSKI VAR. KOEF. = 0.3842107189E 01 PROCENATA

TEMPERATURA      MODUL KRUTOSTI

-20.	183473.
-10.	175077.
0.	158416.
10.	135969.
20.	108686.
30.	77130.
40.	41690.
50.	2657.

TEMPERATURA °C

REZULTATI MERENJA MODULA KRUTOSTI KP/CM \*\* 2 NA 70 Hz

-20.	186897.	200186.	175143.	188186.	172086.	175064.	184060.
-10.	178484.	185216.	163060.	180023.	171213.	172953.	176034.
0.	166215.	169218.	172050.	168184.	166034.	160054.	164183.
10.	148104.	153186.	152936.	149831.	143060.	144016.	147287.
20.	122156.	127184.	125016.	127216.	117064.	119064.	117031.
30.	83214.	86134.	85164.	86216.	78034.	81031.	79216.
40.	43264.	47214.	45060.	44218.	39284.	41111.	42063.
50.	5678.	5780.	6003.	5940.	5421.	5200.	5297.

JEDNACINA KRIJE MODULA KRUTOSTI  $\gamma = (250 - (A(x+20) * * B + C)) * 1000$

KOEFFICIENTI JEDNACINE

$$\begin{aligned} A &= 0.8678968183E-01 \\ B &= 0.1801462696E 01 \\ C &= 0.6432514959E 02 \end{aligned}$$

REZIDIJUMSKA VARIJANSA = 0.2786979366E 02

REZIDIJUMSKA DEVIJACIJA = 0.5279184944E 01

REZIDIJUMSKI VAR. KOEF. = 0.3957746970E 01 PROCENATA

TEMPERATURA MODUL KRUTOSTI

-20.	185674.
-10.	180180.
0.	166522.
10.	145914.
20.	118914.
30.	85882.
40.	47081.
50.	27220.

TEMPERATURA °C

REZULTATI MERENJA MODULA KRUTOSTI KP/CM \*\* 2 NA 60HZ

-20.	190056.	200184.	198751.	195347.	180064.	181953.	184650.
-10.	183218.	190216.	187285.	191214.	176058.	179003.	175021.
0.	171864.	178034.	177256.	176208.	164213.	165185.	166135.
10.	155514.	160215.	158214.	156235.	145030.	152014.	154103.
20.	131040.	136218.	133984.	135783.	126318.	129203.	127385.
30.	90005.	95214.	93216.	94218.	84900.	86980.	85632.
40.	47216.	50124.	51216.	49583.	43218.	43286.	45634.
50.	5670.	6007.	5943.	5675.	5205.	5307.	5595.

$$JEDNACINA KRIJE MODULA KRUTOSTI Y = (250 - (A(X+20)**B+C)) * 1000$$

KOEFICIJENTI JEDNACINE

$$\begin{aligned} A &= 0.4802137683E-01 \\ B &= 0.1944661974E 01 \\ C &= 0.6090507571E 02 \end{aligned}$$

REZIDIJUMSKA VARIJANSA = 0.3093583157E 02

REZIDIJUMSKA DEVIJACIJA= 0.5562003379E 01

REZIDIJUMSKI VAR. KOEF. = 0.4333836669E 01 PROCENATA

TEMPERATURA MODUL KRUTOSTI

-20.	189094.
-10.	184867.
0.	172820.
10.	153290.
20.	126448.
30.	92410.
40.	51266.
50.	3089.

TEMPERATURA °C	REZULTATI MERENJA	MODULA KRUTOSTI	KP / CM ** 2	NA 70 Hz
-20.	192568.	199204.	205078.	195146.
-10.	187060.	195216.	190056.	195146.
0.	177164.	183216.	179215.	184860.
10.	162165.	165218.	166385.	168213.
20.	139569.	143286.	142814.	143056.
30.	96567.	98156.	99184.	100051.
40.	51314.	55143.	53286.	54286.
50.	6178.	6514.	6438.	6875.

$$JEDNACINA KRIVE MODULA KRUTOSTI \quad Y = (250 - (A(x+20)**B+C)) * 1000$$

KOEFICIJENTI JEDNACINE

$$\begin{aligned} A &= 0.2344646814E-01 \\ B &= C.2116548107E 01 \\ C &= 0.5828161796E 02 \end{aligned}$$

REZINDIJUMSKA VARIJANSA = 0.3182579751E 02

REZIDIJUMSKA DEVIJACIJA = 0.5641435770E 01

REZINDIJUMSKI VAR. KOEF. = 0.4564947757E 01 PROCENATA

TEMPERATURA	MODUL KRUTOSTI
-20.	191718.
-10.	188652.
0.	178420.
10.	160351.
20.	134053.
30.	99242.
40.	55692.
50.	3216.

## TEMPERATURA °C

REZULTATI MERENJA MODULA KRUTOSTI KP/CM \*\* 2 NA 80HZ

-20.	195214.	205060.	200148.	198165.	185040.	190060.	191950.
-10.	190056.	200143.	195167.	194286.	179953.	184867.	185567.
0.	181145.	185967.	187214.	185343.	177216.	175060.	177025.
10.	166218.	170218.	169108.	168214.	162167.	162164.	164053.
20.	144060.	150030.	149216.	147218.	138216.	138817.	141208.
30.	985587.	105050.	102345.	103297.	91031.	94218.	93026.
40.	51164.	57214.	55060.	53216.	45916.	47030.	48964.
50.	7080.	8040.	7090.	8340.	6100.	7020.	5750.

$$JEDNACINA KRIVE MODULA KRUTOSTI \quad Y = (250 - (A(X+20)**B+C)) * 1000$$

## KOEFICIJENTI JEDNACINE

$$\begin{aligned} A &= 0.2081349029E-01 \\ B &= 0.2148777377E-01 \\ C &= 0.5494362559E-02 \end{aligned}$$

REZIDIJUMSKA VARIJANSA = 0.3665547545E 02

REZIDIJUMSKA DEVIJACIJA = 0.6054376557E 01

REZIDIJUMSKI VAR. KOEF. = 0.5008799525E 01 PROCENATA

## TEMPERATURA MODUL KRUTOSTI

-20.	195056.
-10.	192124.
0.	182055.
10.	163985.
20.	137404.
30.	101934.
40.	57273.
50.	3167.

## TEMPERATURA °C

REZULTATI MERENJA MODULA KRUTOSTI KP/CM \*\* 2 NA 90HZ

-20.	198107.	209214.	215162.	199147.	187014.	181064.
-10.	193218.	199214.	202564.	196218.	187040.	182316.
0.	184216.	189216.	188206.	189204.	179060.	178906.
10.	170000.	177060.	175060.	173216.	163030.	164968.
20.	148586.	155213.	151214.	149286.	141060.	145040.
30.	102314.	105364.	107860.	106216.	99060.	97103.
40.	55108.	60214.	57217.	58314.	50003.	51950.
50.	6567.	6614.	6704.	6600.	6405.	6420.

$$Y = (250 - (A(X+20) ** B+C)) * 1000$$

## KOEFICIJENTI JEDNACINE

$$\begin{aligned} A &= 0.1466227768E-01 \\ B &= 0.2233909944E 01 \\ C &= 0.5223208385E 02 \end{aligned}$$

REZIDIJUMSKA VARIJANSA = 0.4349319431E 02

REZIDIJUMSKA DEVIJACIJA = 0.5594937024E 01

REZIDIJUMSKI VAR. KOEF. = 0.5597385933E 01 PROCENATA

## TEMPERATURA MODUL KRUTOSTI

-20.	197467.
-10.	194955.
0.	185643.
10.	168229.
20.	141869.
30.	105941.
40.	59927.
50.	3386.

## TEMPERATURA °C

## REZULTATI MERENJA MODULA KRUTOSTI NA 100 HZ

-20.	200050.	210218.	212164.	205195.	190080.	187984.
-10.	196105.	200186.	205164.	202186.	191986.	187216.
0.	187514.	193216.	190080.	191216.	181064.	180064.
10.	174186.	180050.	178218.	176214.	168000.	169850.
20.	154216.	150216.	158101.	156214.	148040.	150043.
30.	110218.	115214.	112860.	115214.	104958.	151986.
40.	59060.	63216.	64218.	61243.	55060.	94565.
50.	7513.	7583.	7563.	7466.	7685.	57104.
						7678.

JEDNACINA KRIJE MODULA KRUTOSTI  $\gamma = (250 - (A(x+20) * * B + C)) * 1000$

## KOEFICIJENTI JEDNACINE

$$\begin{aligned} A &= 0.9326356641E-02 \\ B &= 0.2341461899E 01 \\ C &= 0.5036364235E 02 \end{aligned}$$

REZIDIJUMSKA VARIJANSA = 0.4273578920E 02

REZIDIJUMSKA DEVIJACIJA = 0.6537261597E 01

REZIDIJUMSKI VAR. KOEF. = 0.5719330919E 01 PROCENATA

## TEMPERATURA MODUL KRUTOSTI

-20.	-20.	199616.
-10.	-10.	197569.
0.	0.	189240.
10.	10.	172903.
20.	20.	147029.
30.	30.	110244.
40.	40.	63727.
50.	50.	46599.

## TEMPERATURA °C

REZULTATI MERENJA MODULA KRUTOSTI KP/CM \*\* 2 NA 50 HZ ( Šuplione 3.73% )

-10.	200241.	210214.	212286.	190356.	188216.
0.	187205.	189567.	190245.	185346.	184056.
10.	170204.	175143.	173156.	165058.	166900.
20.	144056.	147256.	145134.	141281.	143018.
30.	104215.	106287.	107314.	102214.	101001.

JEDNACINA KRIVE MODULA KRUTOSTI Y = ( 250 - ( A( X+20 ) \*\* B+C ) ) \* 1000

## KOEFICIJENTI JEDNACINE

$$\begin{aligned} A &= 0.1735999606E-01 \\ B &= 0.205647641E 01 \\ C &= 0.4811629471E 02 \end{aligned}$$

REZIDIJUMSKA VARIJANSA = 0.2653797813E 02

REZIDIJUMSKA DEVIJACIJA = 0.5180538402E 01

REZIDIJUMSKI VAR. KOEF. = 0.5833858182E 01 PROCENATA

TEMPERATURA MODUL KRUTOSTI

-10.	195096.
0.	189026.
10.	170438.
20.	142572.
30.	104859.

TEMPERATURA °C

REZULTATI MERENJA MODULA KRUTOSTI NA 50 Hz (Šupljine 4,53 %)

-10.	178484.	185216.	183060.	171213.	172953.
0.	166215.	169218.	172050.	166034.	160054.
10.	148104.	153186.	152936.	143060.	144016.
20.	122156.	127184.	125016.	117064.	119064.
30.	83214.	88134.	85164.	78034.	81031.

JENACINA KRIVE MODULA KRUTOSTI Y = (250 - (A(X+20)\*\*B+C)) \* 1000

KOEFICIENTI JEDNACINE

$$\begin{aligned} A &= 0.1847905361E-01 \\ B &= 0.2189447051E 01 \\ C &= 0.6922929630E 02 \end{aligned}$$

REZIDIJUNSKA VARIJANSA = 0.1845256984E 02

REZIDIJUNSKA DEVIJACIJA = 0.4295645451E 01

REZIDIJUNSKI VAR. KOEF. = 0.3893607157E 01 PROCENATA

TEMPERATURA MODUL KRUTOSTI

-10.	177612.
0.	167432.
10.	148792.
20.	120999.
30.	83534.

TEMPERATURA °C	REZULTATI MERENJA MODULA KRUTOSTI	KP/CM ** 2	NA 50HZ (Suppline 6.46 %)
-10.	147216.	152148.	141986.
0.	134285.	140281.	128054.
10.	117813.	120056.	119914.
20.	91105.	95143.	93842.
30.	52843.	55146.	53181.

JEDNACINA KRIJE MODULA KRUTOSTI       $Y = (250 - (A(X+20)**B+C)) * 1000$

#### KOEFICIENTI JEDNACINE

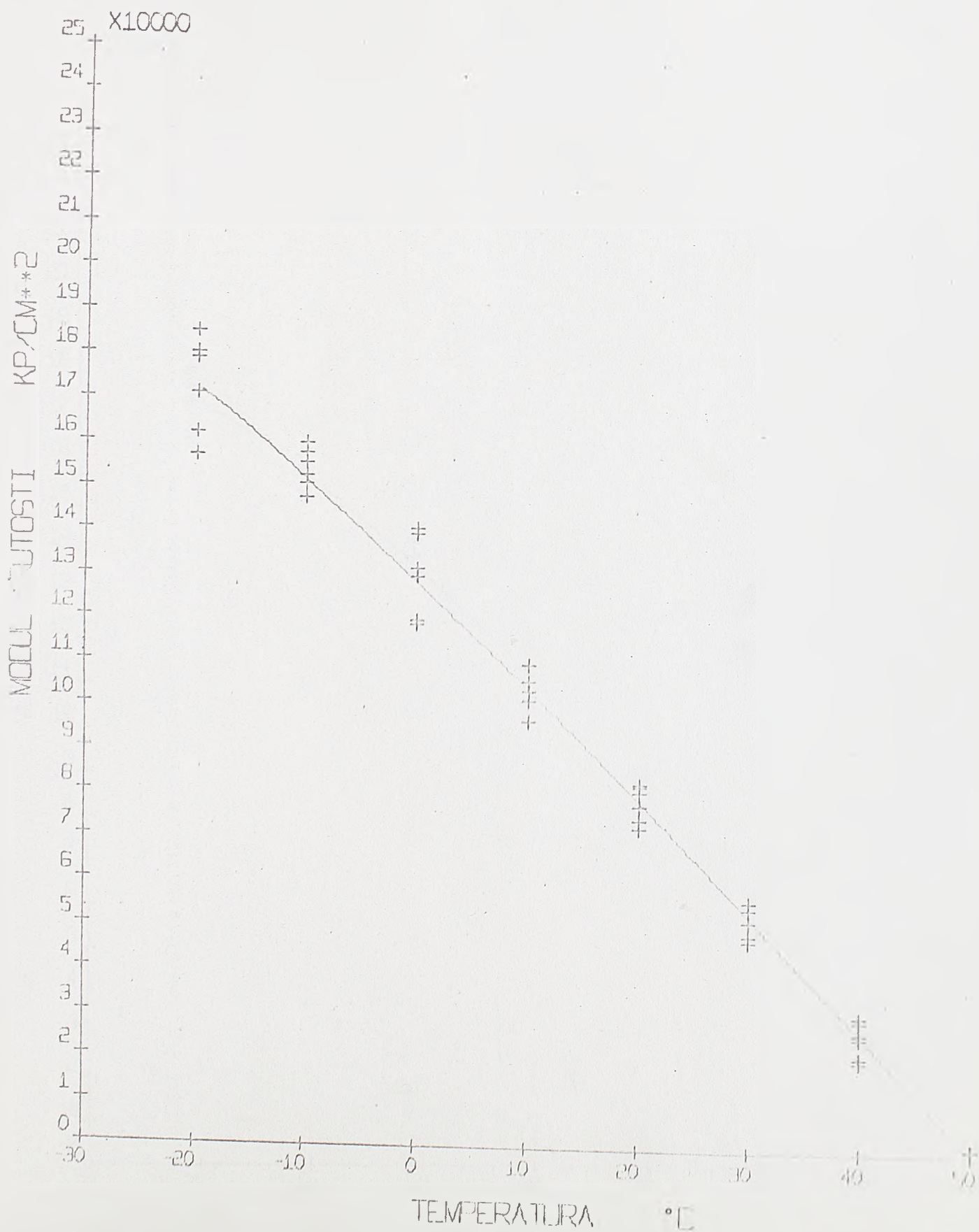
$$\begin{aligned} A &= 0.1828344915E-01 \\ B &= 0.2189874301E 01 \\ C &= 0.1010916658E 03 \end{aligned}$$

REZIDIJUMSKA VARIJANSA = C.1748368711E 02

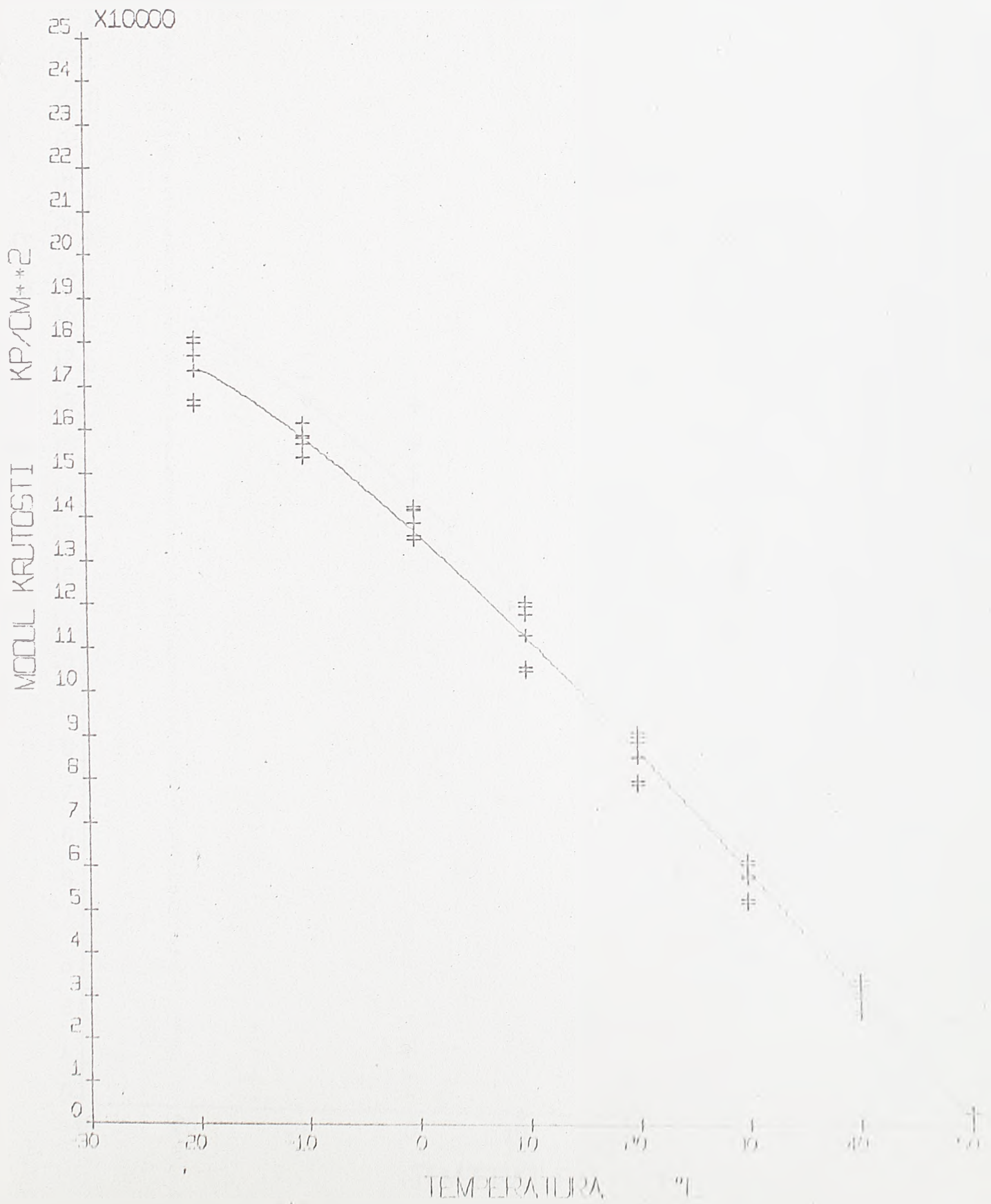
REZIDIJUMSKA DEVIJACIJA = 0.4181349916E 01

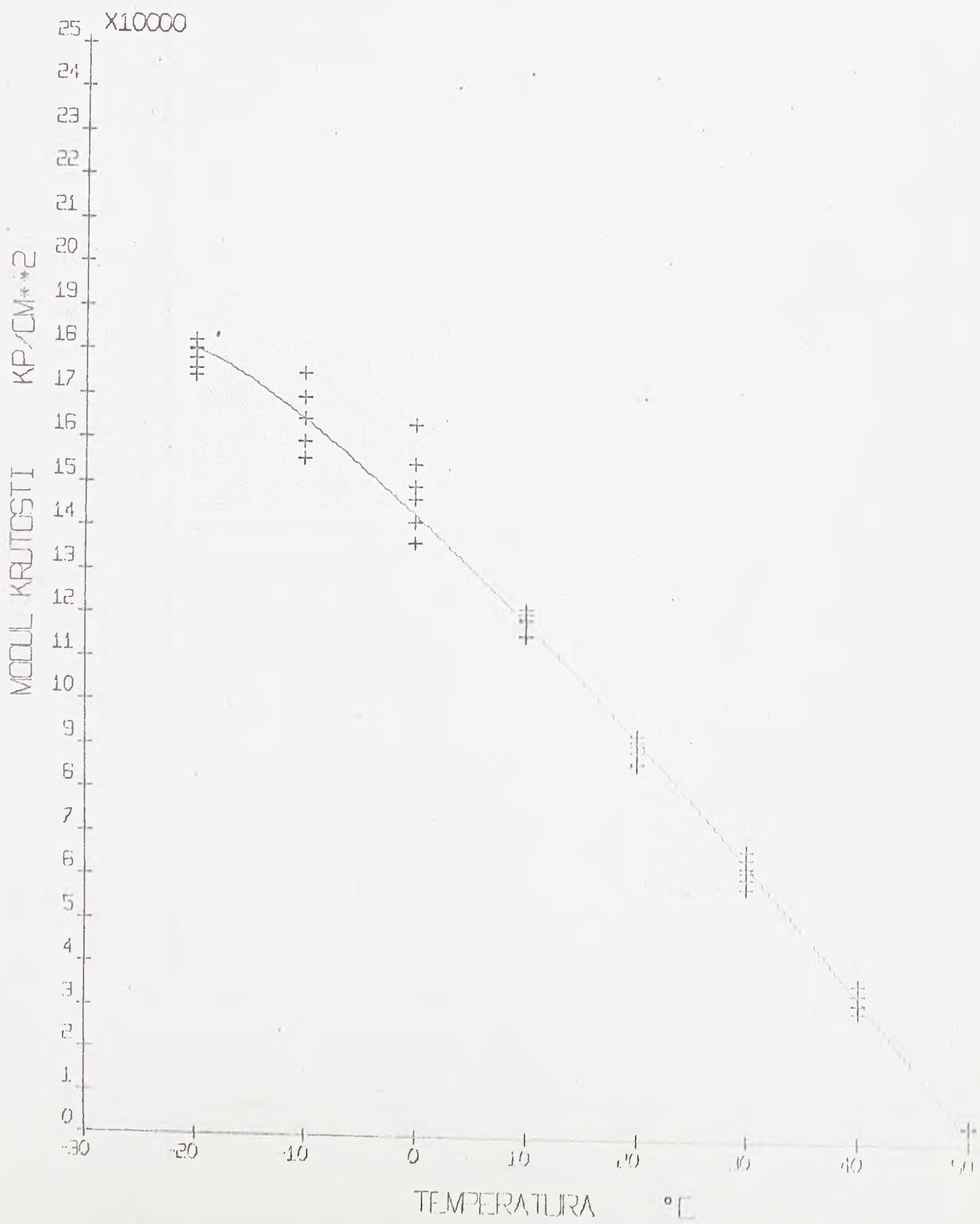
REZIDIJUMSKI VAR. KOEF. = 0.2954605016E 01 PROCENATA /

TEMPERATURA	MODUL KRUTOSTI
-10.	146077.
0.	135991.
10.	117520.
20.	89974.
30.	52838.

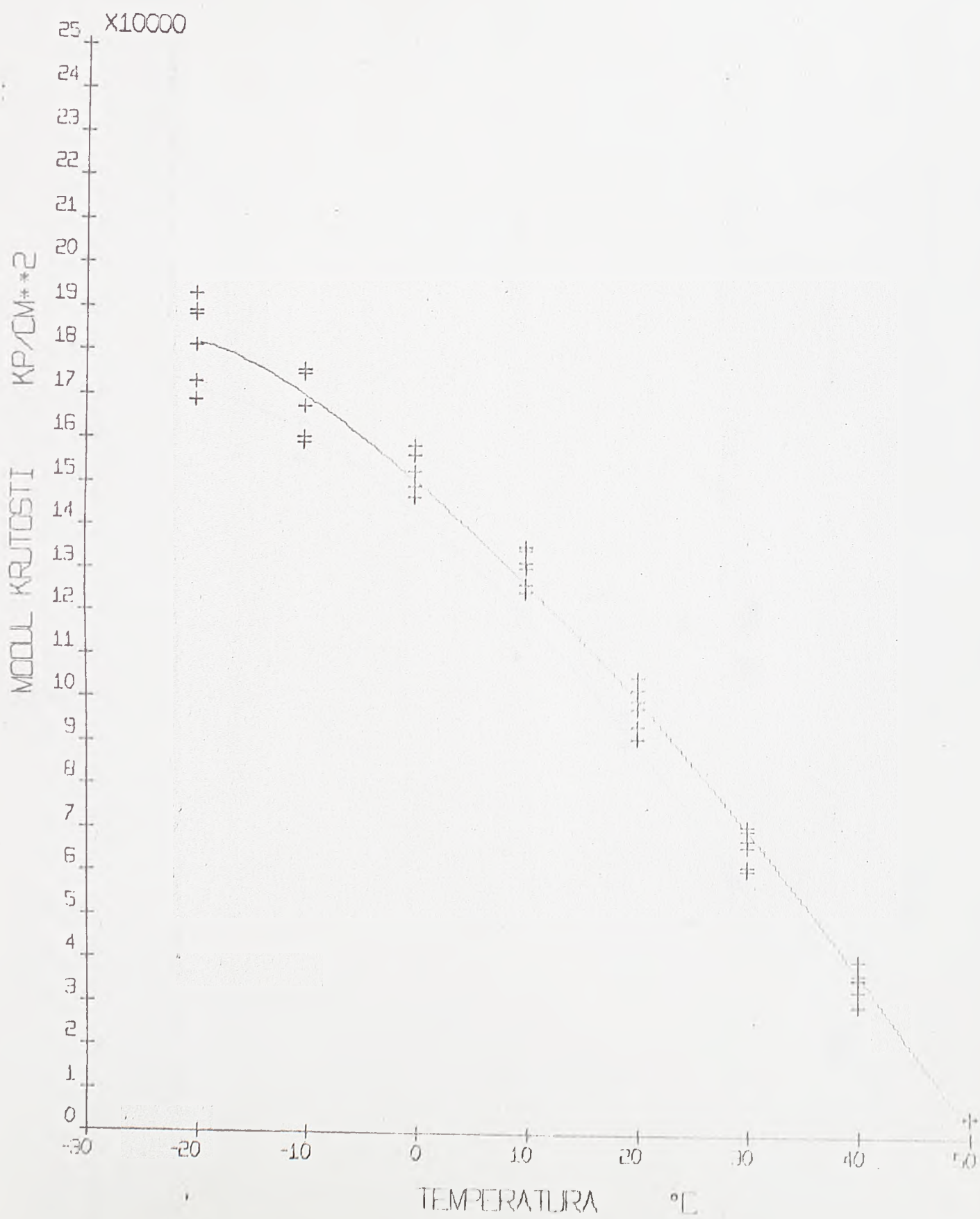


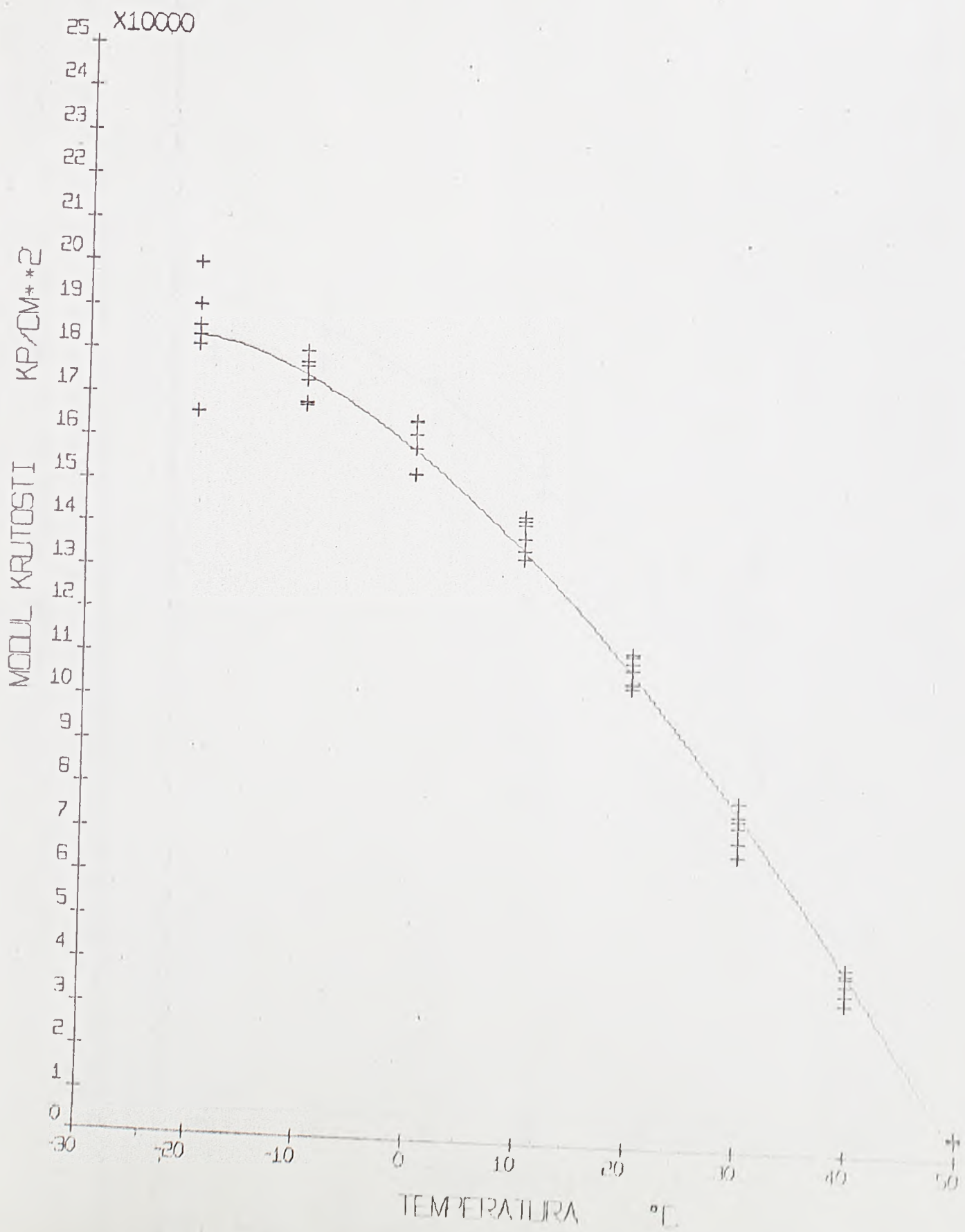
SL. 33 MODUL KRUTOSTI U ZAVISNOSTI OD TEMPERATURE NA SIZ

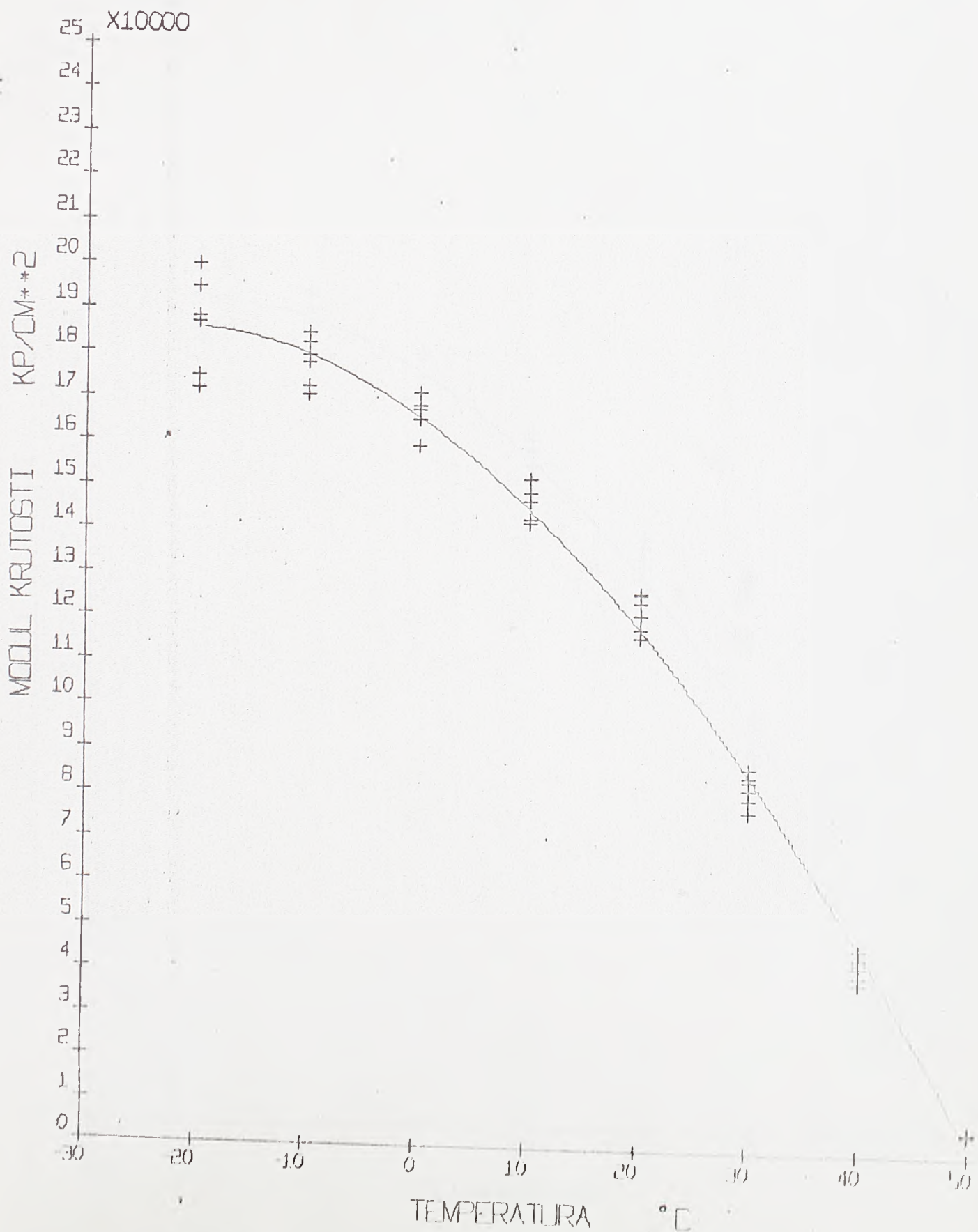




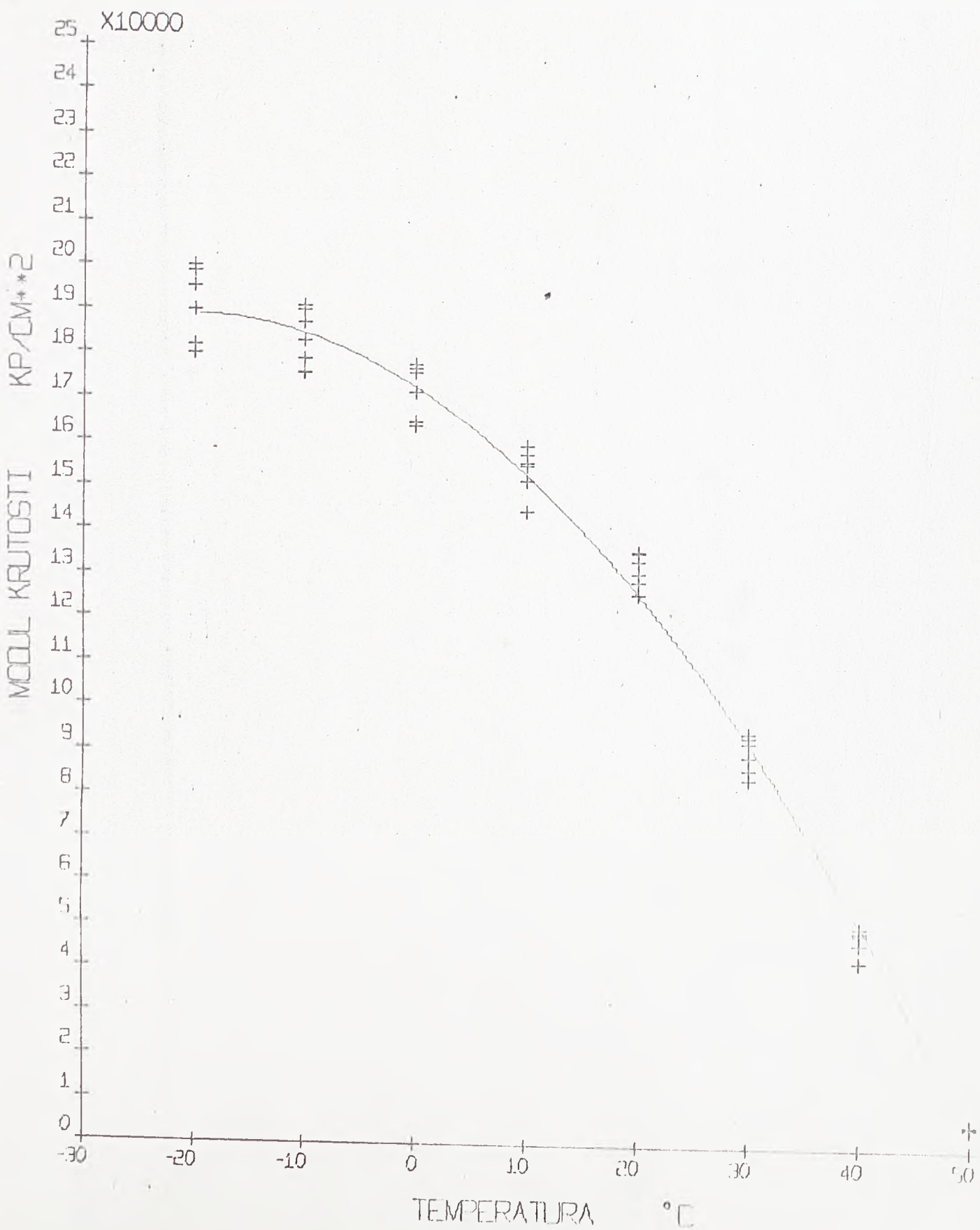
SL. 35 MODUL KRUTOOSTI U ZAVISNOSTI OD TEMPERATURE NA 20 Hz



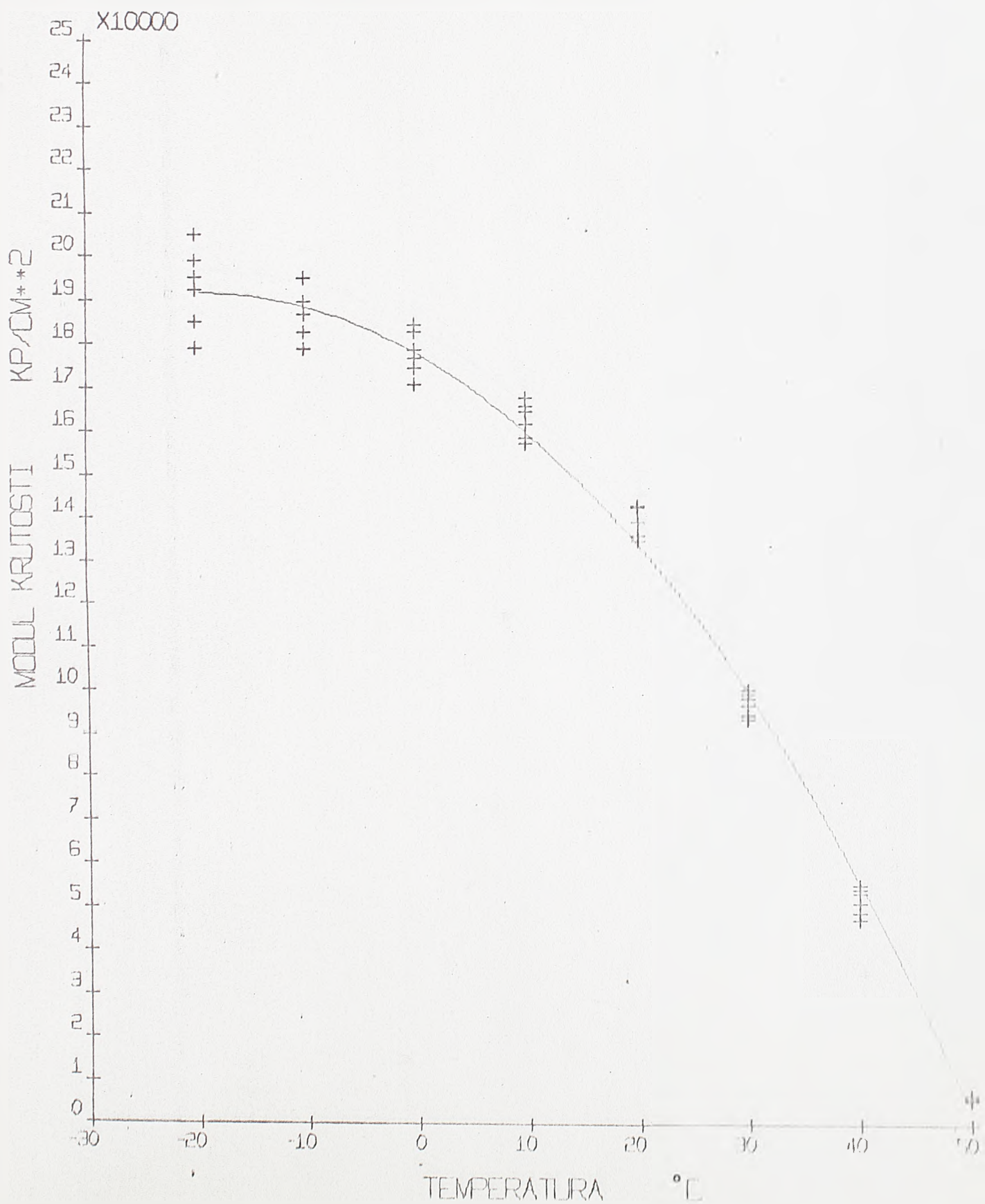


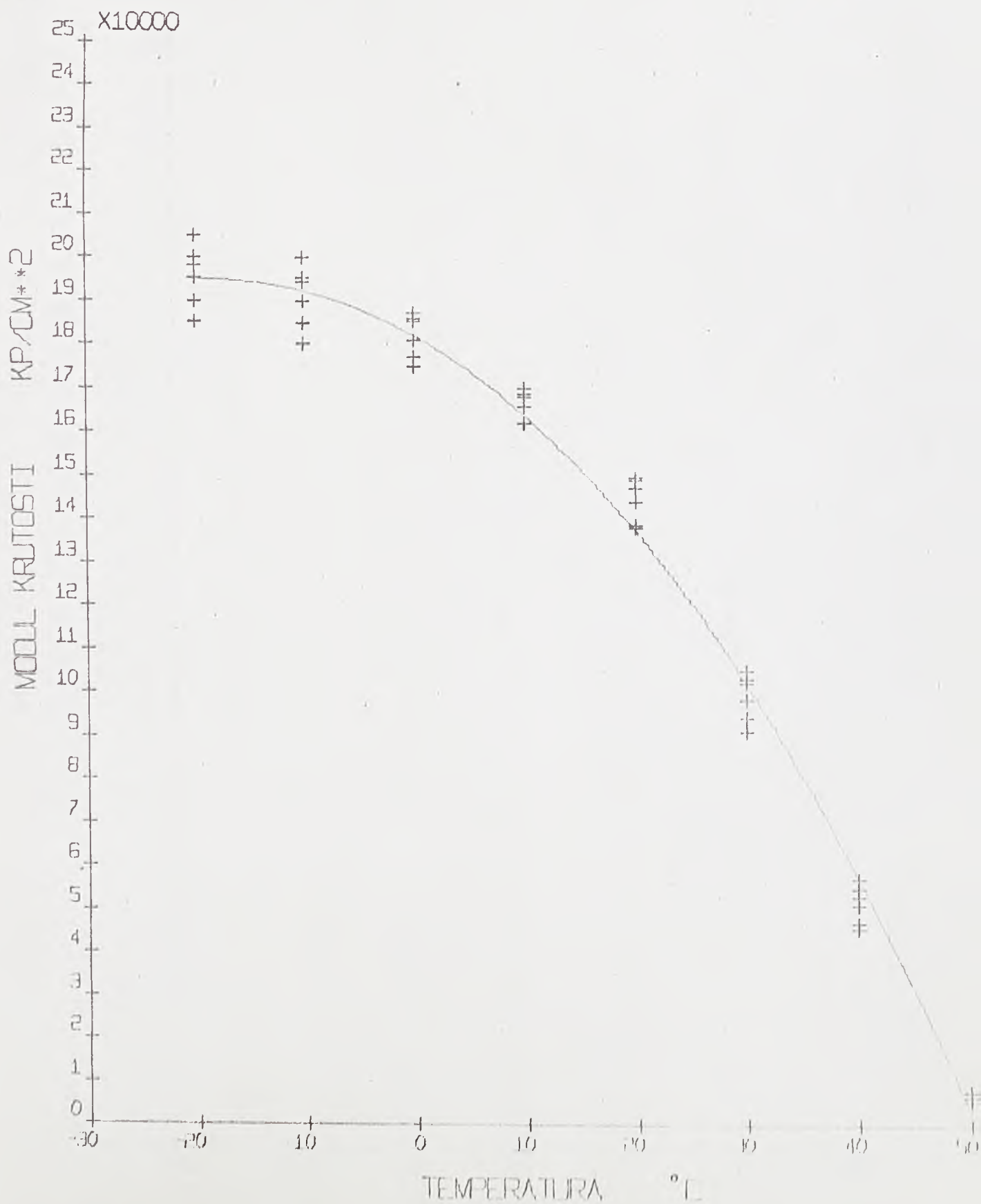


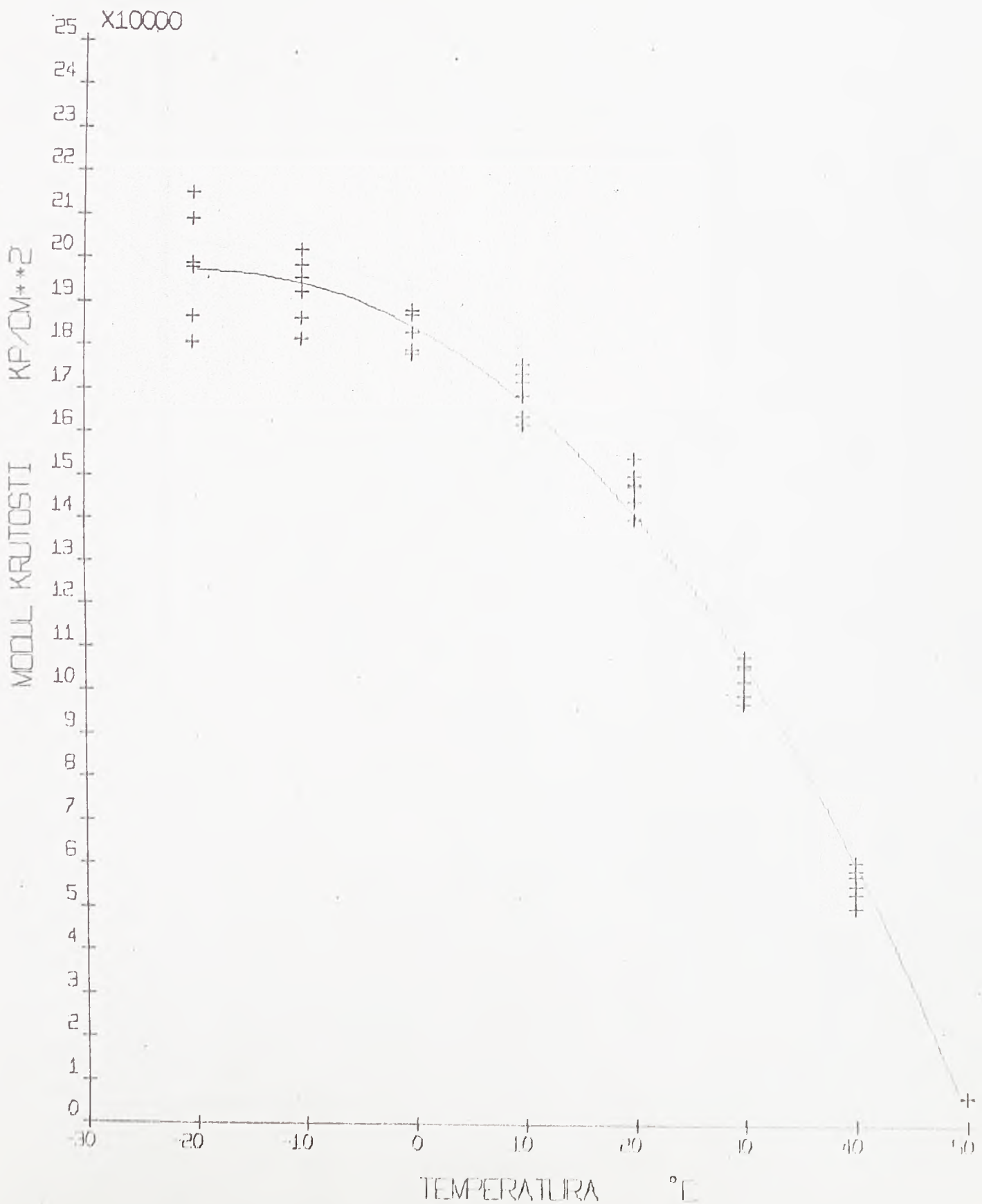
SL. 38 MODUL KRUTOSTI U ZAVISNOSTI OD TEMPERATURE HA 50-102



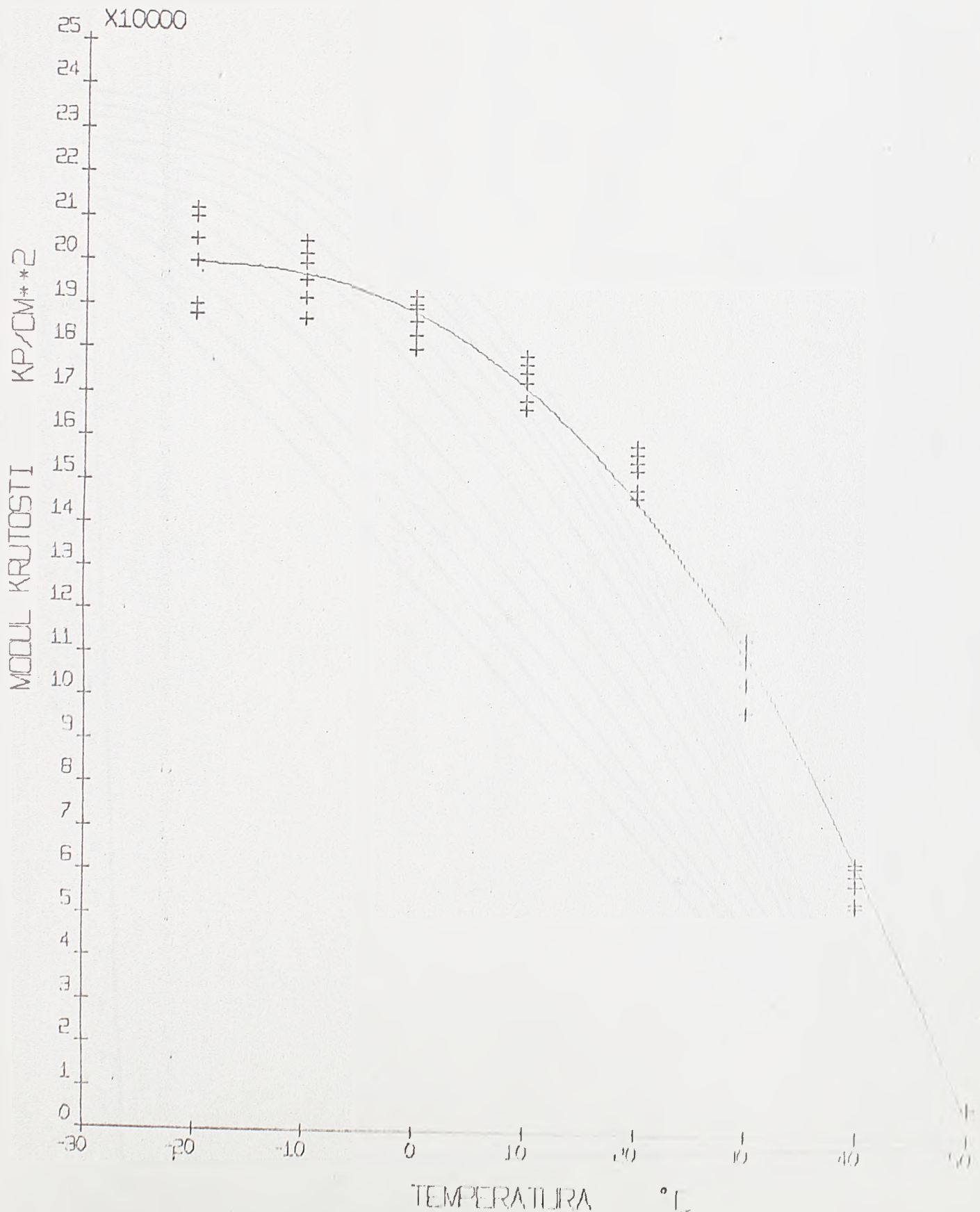
SL. 39 MODUL KRUTOSTI U ZAVISNOSTI OD TEMPERATURE NA 0.0 Hz

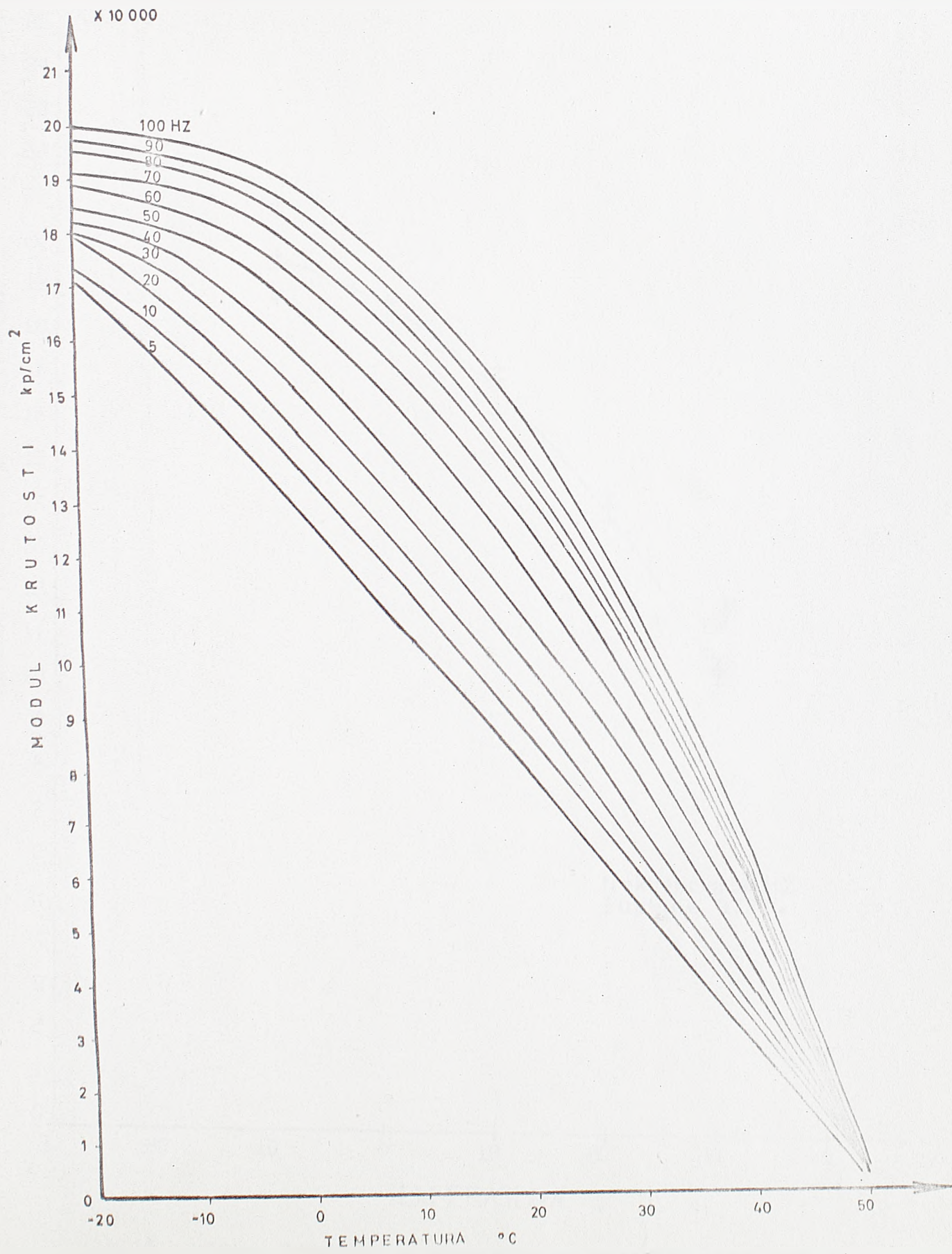




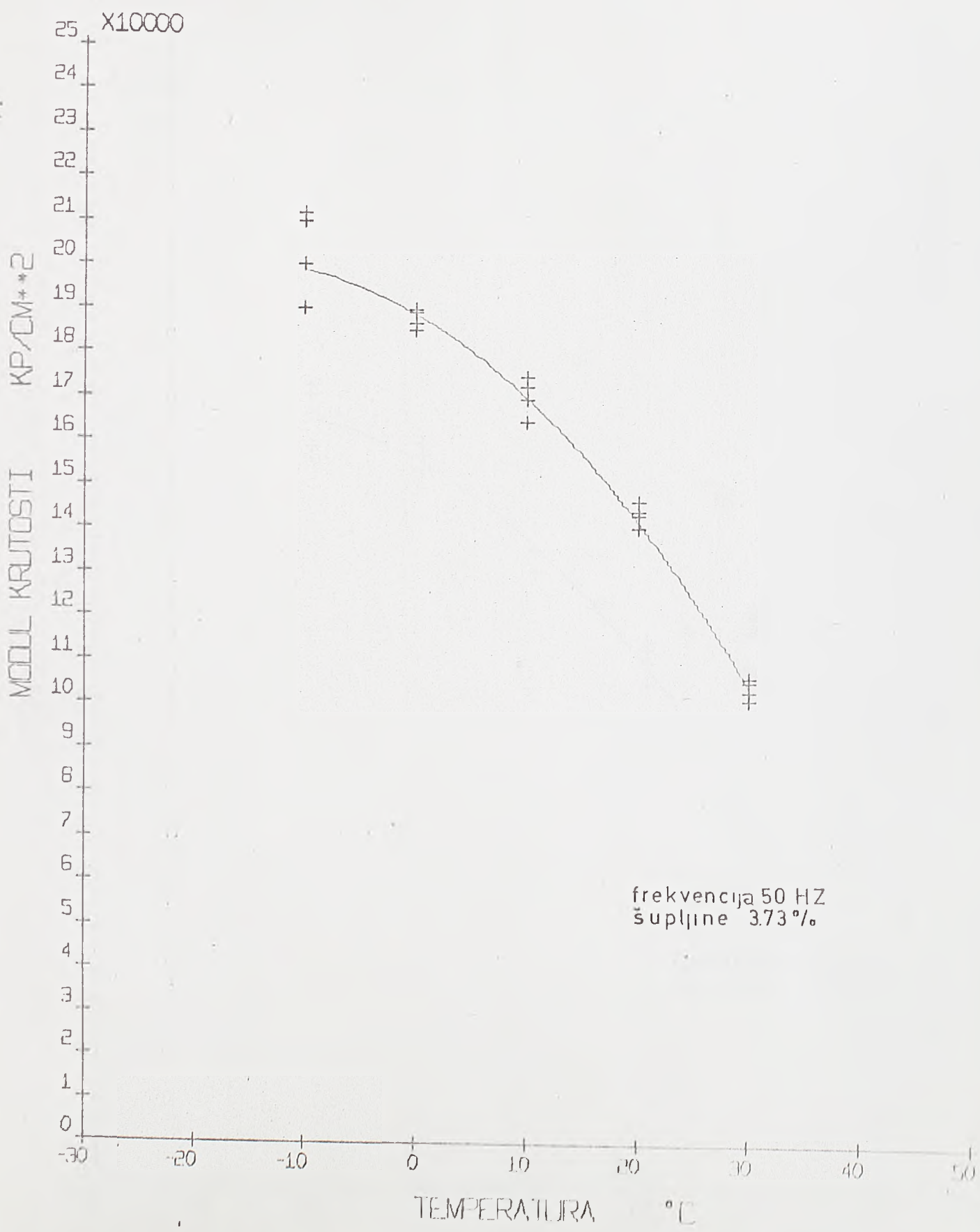


SL. 42 MODUL KRUTOSTI U ZAVISNOSTI OD TEMPERATURE NA 90 Hz

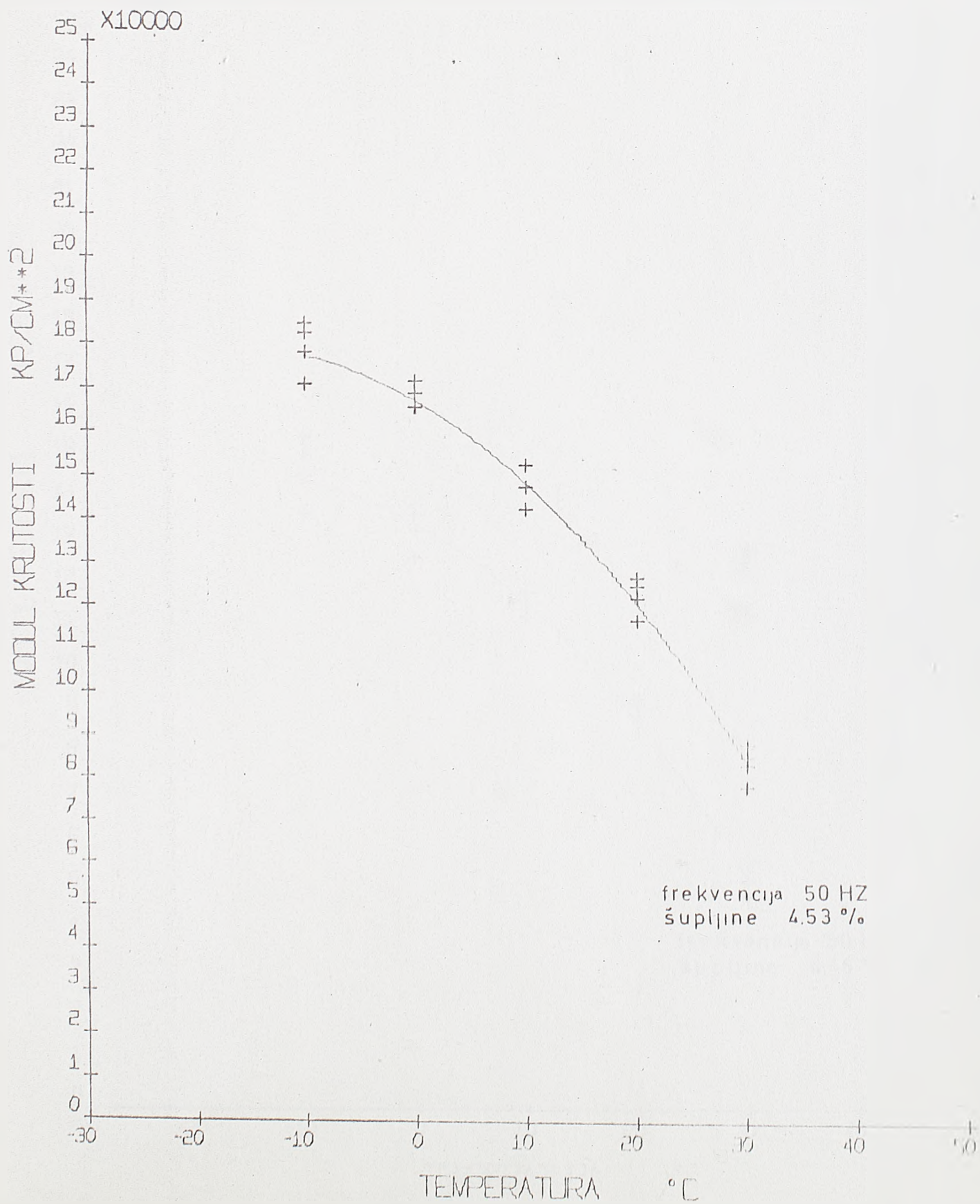


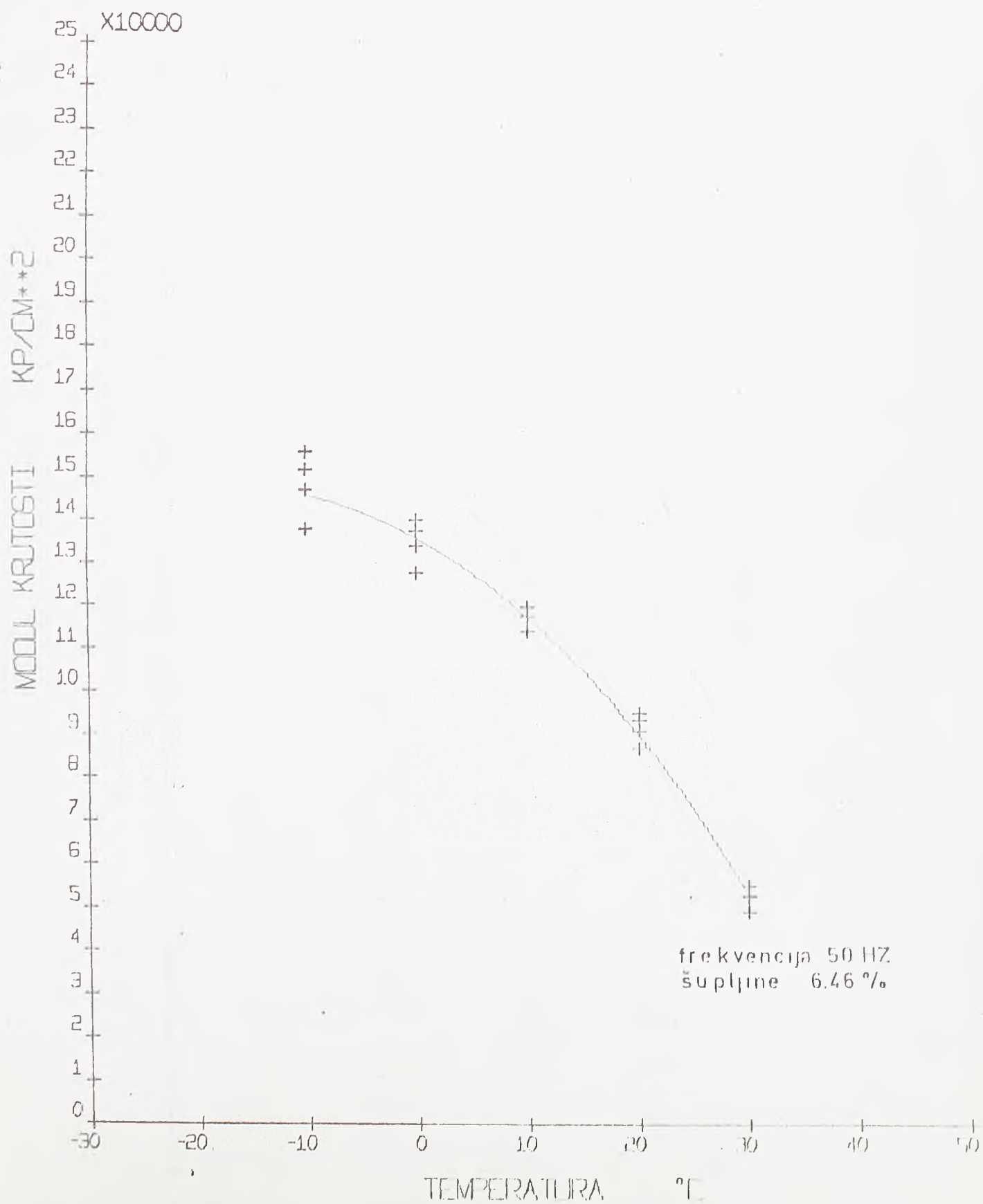


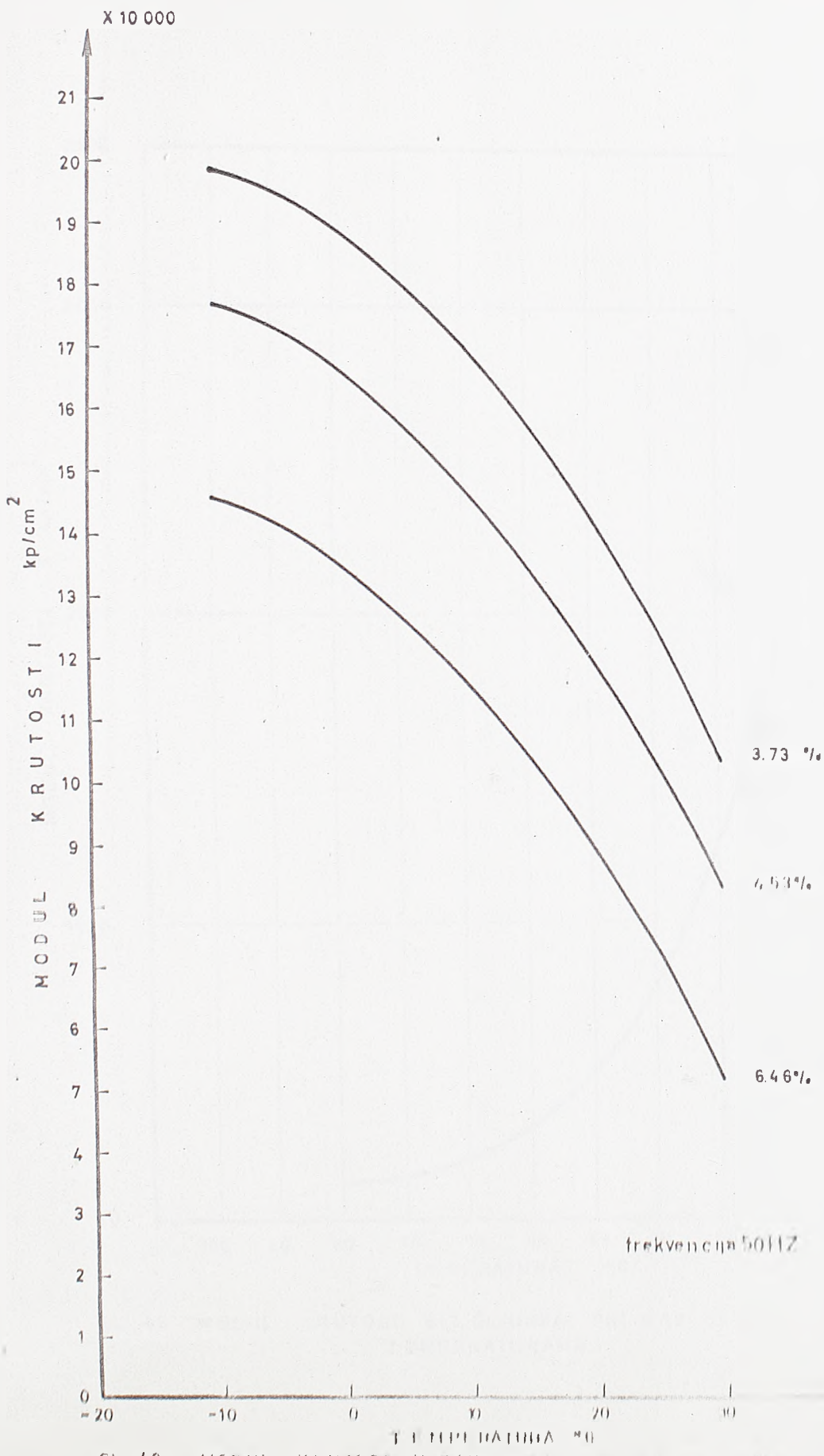
SL. 44 MODUL KRUTOSTI U ZAVISNOSTI OD TEMPERATURE PRI RAZLICITIM FREKVENCIJAMA



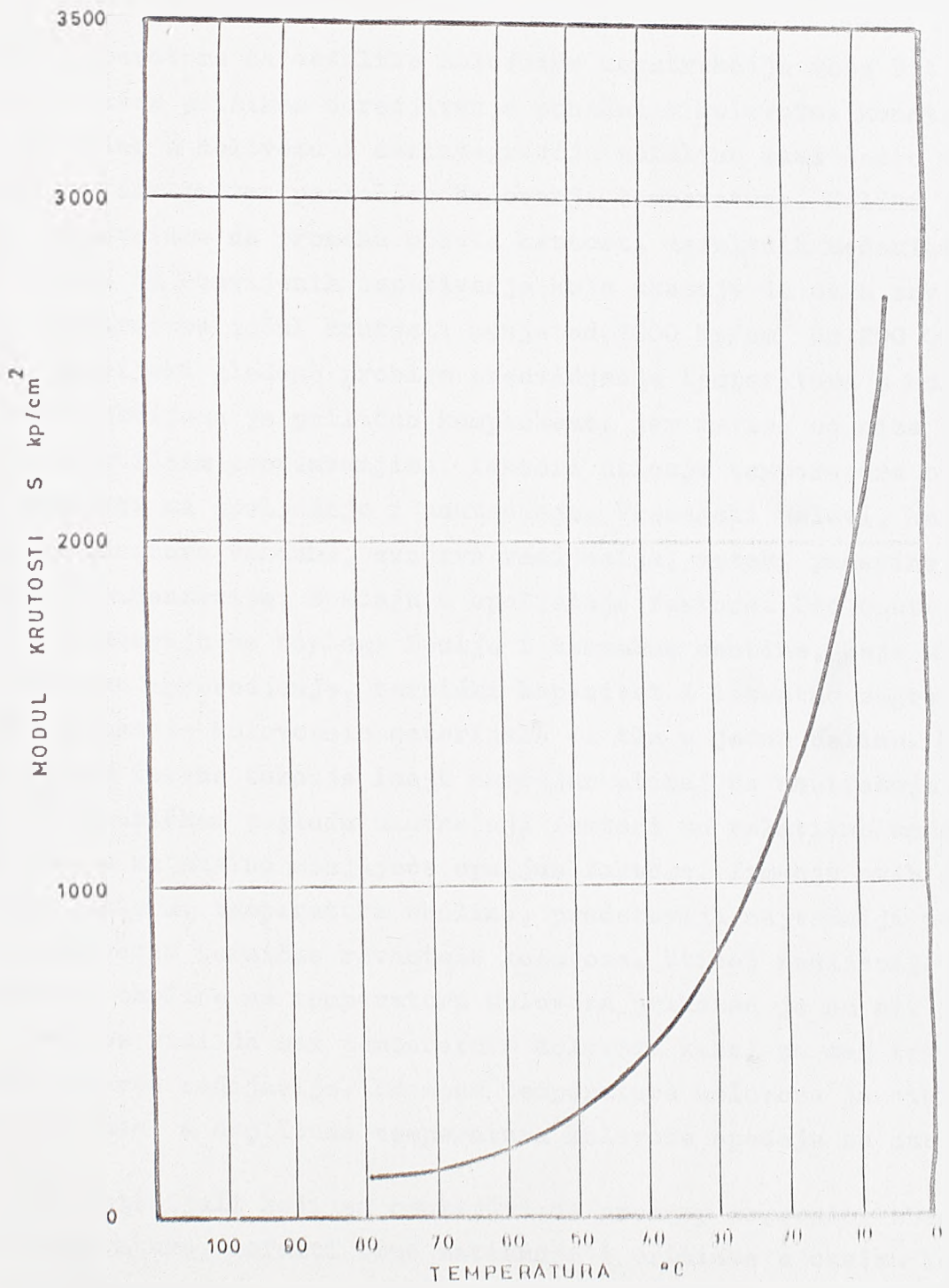
SL. 45 MODUL KRUTOSTI U ZAVISNOSTI OD TEMPERATURE







GL. 48 MODUL KRUTOSTI U ZAVISNOSTI OD TEMPERATURE  
I PROCENITA SUPIJINA U KOL. ZASTORU



SL. 49 MODUL KRUTOSTI BIT. ŠLJUNKA PRI RAZLIČITIM  
TEMPERATURAMA

## V. RASPROSTIRANJE TEMPERATURE U ASFALTNIM KOLOVOZIMA

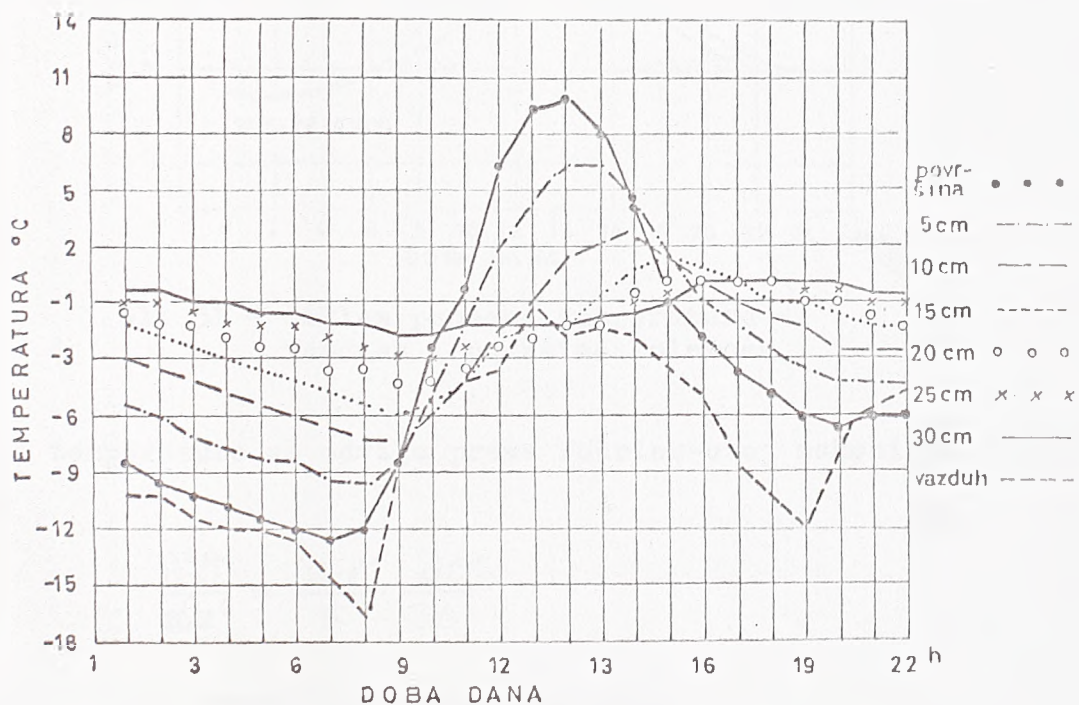
### Uvod

Dejstvo temperature na asfaltne kolovozne konstrukcije može biti odlučujući faktor prilikom određivanja ponašanja kolovozne konstrukcije. Pukotine u kolovozu i dezintegracija asfaltne mase često mogu nastati kao isključiva posledica delovanja temperature. Koliki je značaj temperature na promenu modula krutosti asfaltnih mešavina može se videti iz obavljenih ispitivanja koja ukazuju da se u zavisnosti od temperature modul krutosti menja od  $2000 \text{ kp/cm}^2$  do  $200\ 000 \text{ kp/cm}^2$ . Teorijski gledano problem predviđanja temperatura u kolovoznim konstrukcijama je prilično kompleksan, jer zavisi od niza faktora. U praktičnim proučavanjima, faktori uticaja temperature bi se mogli podeliti na spoljašnje i unutrašnje. Vremenski uslovi, kao što su temperatura vazduha, sunčeva radijacija, vetak, padavine, isparenja i kondenzacija, spadaju u spoljašnje faktore. Pod unutrašnje faktore svrstavaju se toploga Zemlje i termalne osobine, koje uključuju termičko sprovodjenje, termički kapacitet i latentno zagrevanje nastalo stapanjem kolovoznih materijala i tla u jednu celinu. Geološke odlike terena takođe imaju značajan uticaj na unutrašnje faktore. U dinamičkom pogledu unutrašnji faktori su relativno konstantni u odnosu na stalno menjajuće spoljne faktore. Izmedju ovih spoljašnjih faktora, temperatura okoline, predstavlja najvažniji u okviru proučavanja termičke ravnoteže kolovoza. Uticaj redijacije i temperature okoline na temperaturu kolovoza prikazan je na sl. 50 i 51. Ovde se vidi da max temperatura kolovoza kasni za max temperaturom solarne radijacije. Promena temperature kolovoza je ciklična u toku dana, a amplituda temperature kolovoza opada sa dubinom.

Kao i svi materijali koji su osežljivi na promenu zapremeine zbog dejstva temperature, asfalti trpe zatezanja i pritiske u okviru kolovozne konstrukcije.

Termička sprovodljivost i kapacitet zagrevanja kolovoznih materijala ima posebnu ulogu u ovom slučaju. Ovo znači da su unutrašnji na-

termički naponi rezultat karakteristika materijala koji ulaze u sastav slojeva konstrukcije. U trenutku prekoračenja napona na zatezanje koji dopušta dati materijal, dolazi do stvaranja pukotina u kolovozu iako nema opterećenja od vozila. Ovakvi lomovi se javljaju češće kod betonskih nego kod asfaltnih kolovoza.

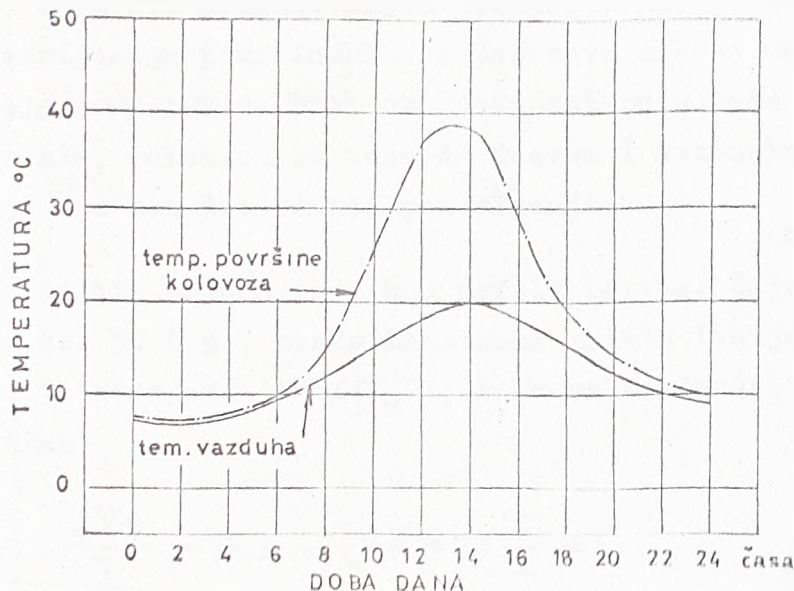


Sl. 50 - Temperatura asfalt-betona u januaru

Postoji veliki broj istraživačkih radova koji su se bavili proučavanjem uticaja promene temperature vazduha na temperaturu kolovoza. Mora se odmah napomenuti da osim empirijskih odnosa ne postoji za sada korektni analitički odnosi.

#### V.1. Toplotne osobine asfaltnih mešavina

Temperatura na površini kolovoza se, grubo uzevši, menja po sinusoidalnom zakonu, a odatle proizilazi i odgovarajuća varijacija temperature kolovoza na različitim dubinama (sl. 50 i sl. 51).



Sl. 51 - Ciklus promene temperature vazduha i površine kolovoza

Promena temperature se odvija prema Fourier-ovoj zakonitosti koja glasi:

$$\frac{\partial^2 \theta}{\partial z^2} = \frac{C \cdot \gamma}{K} \cdot \frac{\partial \theta}{\partial t} \quad (86)$$

gde je:  $C$  - specifična toplota betona,  
 $\gamma$  - specifična težina betona,  
 $K$  - termička provodljivost kolovoza,  
 $\theta$  - temperatura na dubini  $Z$ , i  
 $t$  - vreme.

Ako je temperatura na površini ploče data izrazom

$$\theta = \theta_0 \sin 2\pi \frac{t}{T} \quad (87)$$

rešenje Fourier-ove jednačine ima oblik:

$$\theta = \theta_0 e^{-\lambda Z} \sin \left( 2\pi \frac{t}{T} - \lambda Z \right) \quad (88)$$

pri čemu je  $\lambda^2 = \frac{C_p \gamma}{T K}$  (89)

Izraz za  $\lambda$  upravlja prigušivanjem temperaturnih promena i zavisi od perioda varijacija površinskih temperatura ploča. Ono će za dnevne varijacije temperature biti oko dvadeset puta veće nego za godišnje varijacije, polazeći od toga da dnevne i sezonske varijacije predstavljaju fenomen dvostrukog ponavljanja.

Na osnovu analognih proučavanja kod asfalt betona, čija su merenja prikazana na sl. 50 i 51, mesto maksimuma krivih linija  $Q = f(t, z)$  dobija se poništavanjem  $\frac{\partial Q}{\partial t}$ , i to za vrednosti koje dobijamo iz jednačine:

$$\frac{2\pi t}{T} - \lambda z + (2k+1) \frac{\pi}{2} = 0 \quad (90)$$

Odakle se dobija vrednost koeficijenta  $\lambda$  pomoću:

$$\lambda = \frac{2\pi \Delta t}{T \Delta z} \quad (91)$$

gde  $\Delta t$  predstavlja pomeranje srednjeg vremena maksimuma dveju temperature krivih linija na dve udaljene dubine za  $\Delta z$ .

Isto tako se mogu uporediti i amplitude promene temperature na različitim dubinama, jer ako ova amplituda vredi  $2\%$  na površini, ona neće vredeti više od  $2 \cdot e^{-\lambda z} \%$  na dubini  $z$ . Polazeći od sl. 50, i pored toga što promena površinske temperature nije sasvim sinusoidalna, nalazi se da je koeficijent  $\lambda$  oko  $6 \text{ rad/m}$ . Ova vrednost je bliska vrednosti za cement betone što pruža mogućnost da u prvoj aproksimaciji uobičajeni materijali za puteve imaju veoma srodne termičke osobine.

## V.2. Promene fizičkih osobina materijala

Obavljeni merenja uticaja temperature na promenu čvrstoće betonskog kolovoza, pokazuju da u temperaturnom pojasu od  $5^\circ C$  do  $40^\circ C$ , dolazi do opadanja relativne čvrstoće na pritisak i savijanja za 1.25 do

0.80. Što znači da čvrstoća betona opada sa povišenjem temperature. Slično, ali i mnogo kompleksnije, dolazi do promena i kod asfaltnih kolovoza. U istom temperaturnom području stabilnost asfalt betona može opasti od 7000 kp pri  $5^{\circ}\text{C}$  na 1300 kp pri  $40^{\circ}\text{C}$ . Ovako velike promene su posledica promene elastičnih osobina bitumena. U istom temperaturnom području modul krutosti bi se promenio od 180 000 kp/cm<sup>2</sup> pri  $5^{\circ}\text{C}$  na 6000 kp/cm<sup>2</sup> pri  $40^{\circ}\text{C}$ .

Uticaj temperature na fizičke osobine posteljice se znatno komplikuje zbog dejstva vlage; pri istoj vlažnosti dolazi do opadanja čvrstoće u posteljici pri podizanju temperature.

Sledeća važna fizička osobina prouzrokovana promenom temperature je promena zapremine materijala. Za kolovozne materijale kao što su beton, stabilizovani materijali i sabijena posteljica, koeficijent širenja se normalno kreće od  $2$  do  $8 \times 10^{-6}$  cm/(cm)( $^{\circ}\text{C}$ ). U temperaturnom području od  $-20^{\circ}\text{C}$  do  $70^{\circ}\text{C}$ , termičko širenje ovih materijala je linearna funkcija promene temperature.

Termičko širenje asfalt betona je prvenstveno zavisno od viskoznih osobina bitumena i fizičkih osobina agregata. Zbog složenih međusobnih odnosa bitumena i agregata, ne postoji koeficijent širenja za asfalt betone, kao za čelik i beton. U svetu je puno radjeno i radi se na definisanju termičkog ponašanja asfaltnih konstrukcija, ali neka veća teorijska osnova, zbog nemogućnosti obuhvatanja svih parametara u proračun, nije nadjena.

#### V.3. Uticaj temperature na promenu modula krutosti ASFALTNIH SLOJEVA U KOLOVOZNOJ KONSTRUKCIJI

Da bi smo istakli uticaj temperature na modul krutosti asfaltnih slojeva, napravili smo model kolovozne konstrukcije u okviru kojeg smo na osnovu obavljenih merenja u inostranstvu očitali temperature za određena godišnja doba i dubine slojeva (sl. 53). Za ovako određene temperature u pojedinim slojevima na osnovu rezultata iz doktorata i magistarskog rada, nacrtani su dijagrami promene modula krutosti u zavisnosti od temperature (godišnjih doba) i frekvencije

sl. 53, 54, 55, 56 i 57.

Analiza prikazanih rezultata pokazuje da u toku različitih godišnjih doba dolazi do znatnih razlika u pogledu vrednosti modula krutosti habajućeg i veznog sloja (asfalt betona) i nosećeg sloja (bitumini-zirani šljunak).

Pored niz zaključaka koji se odavde mogu izvući, svakako je najinteresantniji ovaj da se pri današnjim važećim propisima za kvalitet pojedinih asfaltnih mešavina, postižu bez obzira na godišnja doba, odnosno temperaturu u kolovozu, najmanje vrednosti za modul krutosti u nosećem sloju. Kada bi ova razlika bila mala i kontinualna to bi bilo normalno i poželjno, međutim ta je razlika velika ( $S = 12\ 000$  do  $90\ 000\ kp/cm^2$ ). Na ovaj način dolazi do velikog diskontinuiteta u nosivosti pojedinih slojeva i mogućnosti oštećenja kolovozne konstrukcije pod opterećenjem. Novi domaći propisi, uzimaju donekle ovo u obzir zahtevajući bolji kvalitet nosećih slojeva.

Na osnovu dijagrama datih u ovom radu u mogućnosti smo da prilikom određivanja dimenzija pojedinih slojeva asfaltne konstrukcije, odredimo ponašanje ove konstrukcije u najkritičnijim vremenskim periodima.

Pored iznetog zaključka o nesrazmernoj raspodeli modula krutosti u toku svih godišnjih doba, poseban problem stvaraju ekstremne temperature.

Ljeti dolazi do zagrevanja kolovozne površine (zbog njene crne boje) i do  $70 - 80^\circ C$  ( $30^\circ C$  viće od max temperature vazduha), što dovodi do niskih vrednosti modula krutosti, a samim tim i male otpornosti kolovoza na deformacije. Posledica ovakvog stanja su na pravcima uzdužni kolotrazi, a na mestima naglih promena brzina (raskrsnice i usponi) poprečni talasi..

Zimi, pri niskim temperaturama zbog termičkih napona zatezanja koji prekoračuju čvrstoću na zatezanje asfalt betona, dolazi do stvaranja prskotina na površini kolovoza. Poznavajući termičko ponašanje asfalt betona tj. promenu modula krutosti, frekvenciju opterećenja, intenzitet opterećenja i temperaturu okoline, u stanju smo da predvidimo mogućnost pojave pukotina.

LETÓ	$T_o = 36^\circ C$	LETÓ	$T_o = 35^\circ C$	LETÓ	$T_o = 37^\circ C$
5 Hz		5 Hz		5 Hz	
10 km/h		80 km/h		80 km/h	
25 cm/s		35 Hz		35 Hz	
25 Hz		35 Hz		35 Hz	

$T = 52^\circ C$	$T = 60^\circ C$	$T = 61^\circ C$	$T = -13^\circ C$	$T = 8^\circ C$
ASFALT BETON	$E=54 \text{ kN/cm}^2$ $\gamma=2,33 \text{ t/m}^3$ $T=33^\circ C$ $y=0,434$	$E=45\,000 \text{ kp/cm}^2$ $\gamma=2,33$ $T=33^\circ C$ $y=0,434$	$E=4\,000 \text{ kp/cm}^2$ $\gamma=2,33$ $T=53^\circ C$ $y=0,45$	$E=172\,000 \text{ kp/cm}^2$ $\gamma=2,33$ $T=-10^\circ C$ $y=0,35$
ASFALT BETON	$E=51\,000 \text{ kp/cm}^2$ $\gamma=2,33 \text{ t/m}^3$ $T=25^\circ C$ $y=0,434$	$E=65\,000 \text{ kp/cm}^2$ $\gamma=2,33$ $T=25^\circ C$ $y=0,434$	$E=12500 \text{ kp/cm}^2$ $\gamma=2,33$ $T=53^\circ C$ $y=0,45$	$E=167\,000 \text{ kp/cm}^2$ $\gamma=2,33$ $T=-10^\circ C$ $y=0,35$
BITUMEN SLUČAJ	$E=15\,000 \text{ kp/cm}^2$ $\gamma=2,33 \text{ t/m}^3$ $T=21^\circ C$ $y=0,35$	$E=1200 \text{ kp/cm}^2$ $\gamma=2,36$ $T=21^\circ C$ $y=0,35$	$E=320 \text{ kp/cm}^2$ $\gamma=2,36$ $T=-5^\circ C$ $y=0,35$	$E=172\,000 \text{ kp/cm}^2$ $\gamma=2,36$ $T=-10^\circ C$ $y=0,35$
BITUMEN SLUČAJ	$E=15\,000 \text{ kp/cm}^2$ $\gamma=2,33 \text{ t/m}^3$ $T=18^\circ C$ $y=0,45$	$E=2600 \text{ kp/cm}^2$ $\gamma=1,9$ $T=18^\circ C$ $y=0,45$	$E=2500 \text{ kp/cm}^2$ $\gamma=1,9$ $T=-10^\circ C$ $y=0,45$	$E=148\,000 \text{ kp/cm}^2$ $\gamma=2,33$ $T=-10^\circ C$ $y=0,35$
SLUČAJ	$E=15\,000 \text{ kp/cm}^2$ $\gamma=2,33 \text{ t/m}^3$ $T=15^\circ C$ $y=0,45$	$E=2600 \text{ kp/cm}^2$ $\gamma=1,9$ $T=15^\circ C$ $y=0,45$	$E=2600 \text{ kp/cm}^2$ $\gamma=1,9$ $T=-10^\circ C$ $y=0,45$	$E=142\,000 \text{ kp/cm}^2$ $\gamma=2,33$ $T=-10^\circ C$ $y=0,35$
SLUČAJ	$E=15\,000 \text{ kp/cm}^2$ $\gamma=2,33 \text{ t/m}^3$ $T=12^\circ C$ $y=0,45$	$E=2600 \text{ kp/cm}^2$ $\gamma=1,9$ $T=12^\circ C$ $y=0,45$	$E=2600 \text{ kp/cm}^2$ $\gamma=1,9$ $T=-10^\circ C$ $y=0,45$	$E=142\,000 \text{ kp/cm}^2$ $\gamma=2,33$ $T=-10^\circ C$ $y=0,35$
SLUČAJ	$E=15\,000 \text{ kp/cm}^2$ $\gamma=2,33 \text{ t/m}^3$ $T=8^\circ C$ $y=0,45$	$E=2600 \text{ kp/cm}^2$ $\gamma=1,9$ $T=8^\circ C$ $y=0,45$	$E=2600 \text{ kp/cm}^2$ $\gamma=1,9$ $T=-10^\circ C$ $y=0,45$	$E=142\,000 \text{ kp/cm}^2$ $\gamma=2,33$ $T=-10^\circ C$ $y=0,35$
SLUČAJ	$E=15\,000 \text{ kp/cm}^2$ $\gamma=2,33 \text{ t/m}^3$ $T=5^\circ C$ $y=0,45$	$E=2600 \text{ kp/cm}^2$ $\gamma=1,9$ $T=5^\circ C$ $y=0,45$	$E=2600 \text{ kp/cm}^2$ $\gamma=1,9$ $T=-10^\circ C$ $y=0,45$	$E=142\,000 \text{ kp/cm}^2$ $\gamma=2,33$ $T=-10^\circ C$ $y=0,35$
SLUČAJ	$E=15\,000 \text{ kp/cm}^2$ $\gamma=2,33 \text{ t/m}^3$ $T=2^\circ C$ $y=0,45$	$E=2600 \text{ kp/cm}^2$ $\gamma=1,9$ $T=2^\circ C$ $y=0,45$	$E=2600 \text{ kp/cm}^2$ $\gamma=1,9$ $T=-10^\circ C$ $y=0,45$	$E=142\,000 \text{ kp/cm}^2$ $\gamma=2,33$ $T=-10^\circ C$ $y=0,35$
SLUČAJ	$E=15\,000 \text{ kp/cm}^2$ $\gamma=2,33 \text{ t/m}^3$ $T=-3^\circ C$ $y=0,45$	$E=2600 \text{ kp/cm}^2$ $\gamma=1,9$ $T=-3^\circ C$ $y=0,45$	$E=2600 \text{ kp/cm}^2$ $\gamma=1,9$ $T=-10^\circ C$ $y=0,45$	$E=142\,000 \text{ kp/cm}^2$ $\gamma=2,33$ $T=-10^\circ C$ $y=0,35$
SLUČAJ	$E=15\,000 \text{ kp/cm}^2$ $\gamma=2,33 \text{ t/m}^3$ $T=-17^\circ C$ $y=0,45$	$E=2600 \text{ kp/cm}^2$ $\gamma=1,9$ $T=-17^\circ C$ $y=0,45$	$E=2600 \text{ kp/cm}^2$ $\gamma=1,9$ $T=-10^\circ C$ $y=0,45$	$E=142\,000 \text{ kp/cm}^2$ $\gamma=2,33$ $T=-10^\circ C$ $y=0,35$

SLUČAJ

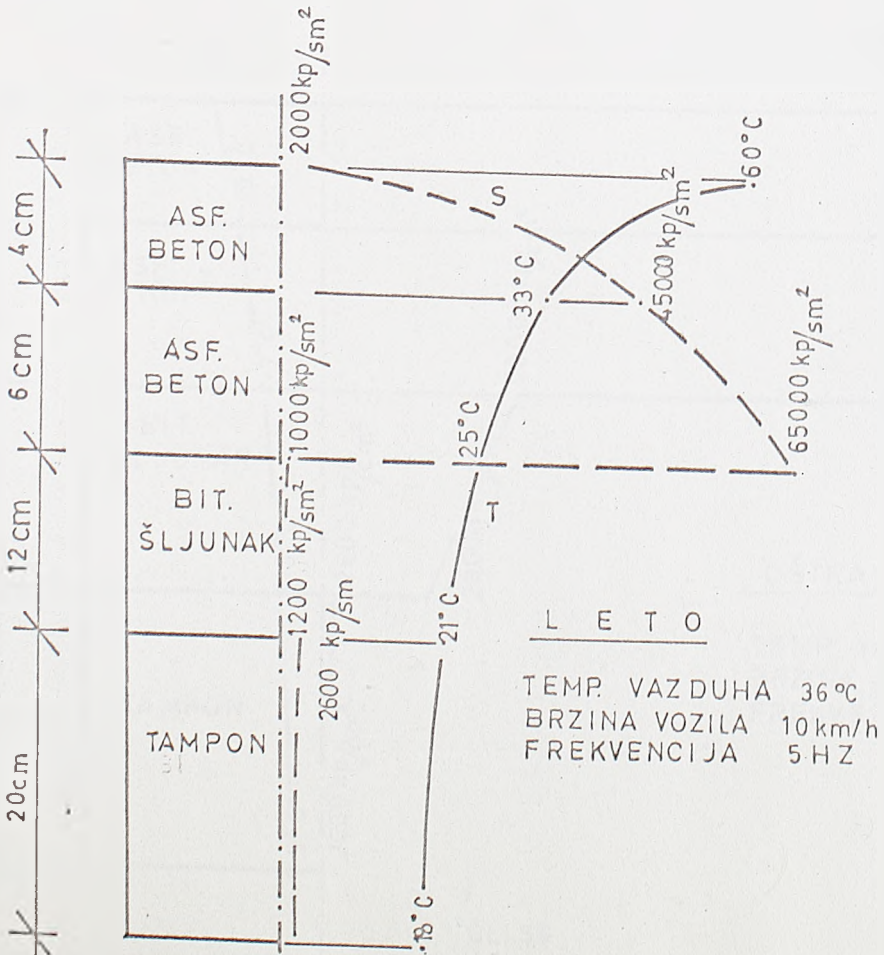
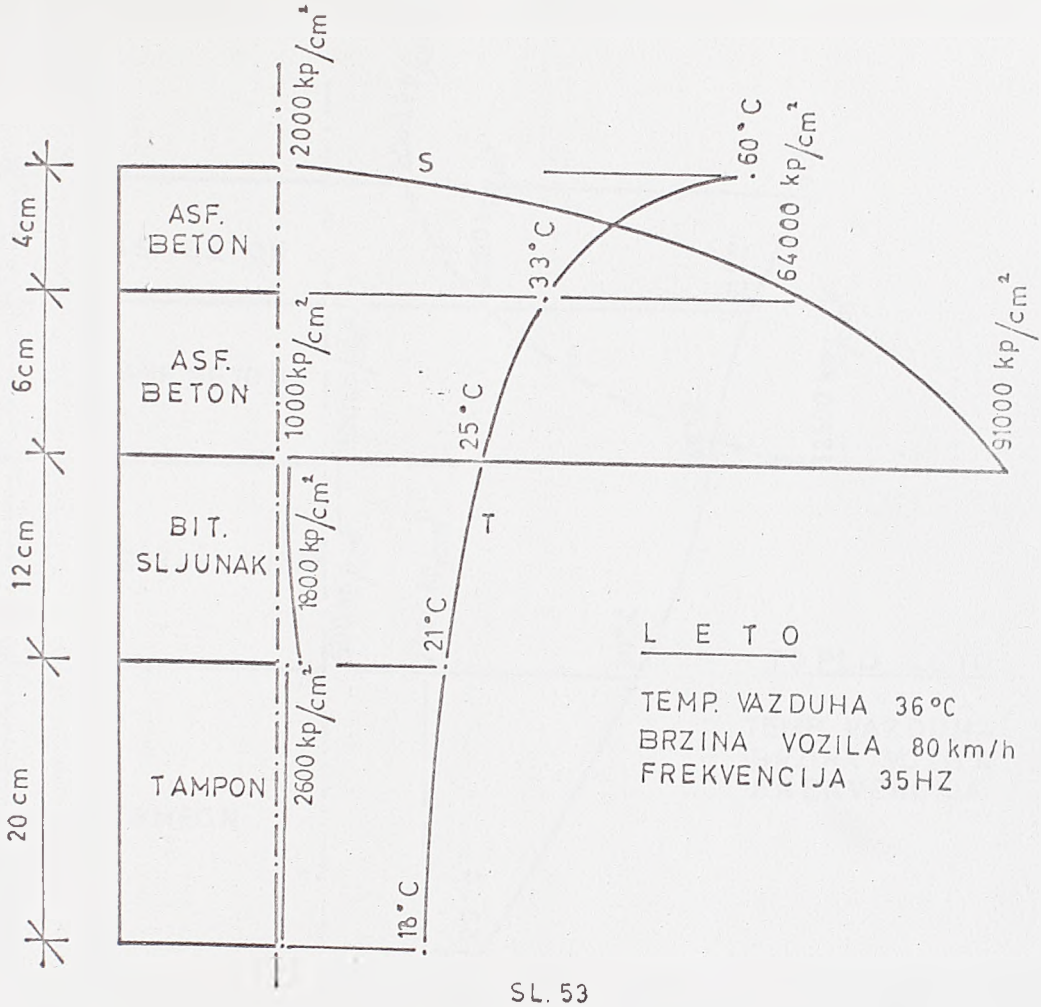
SLUČAJ

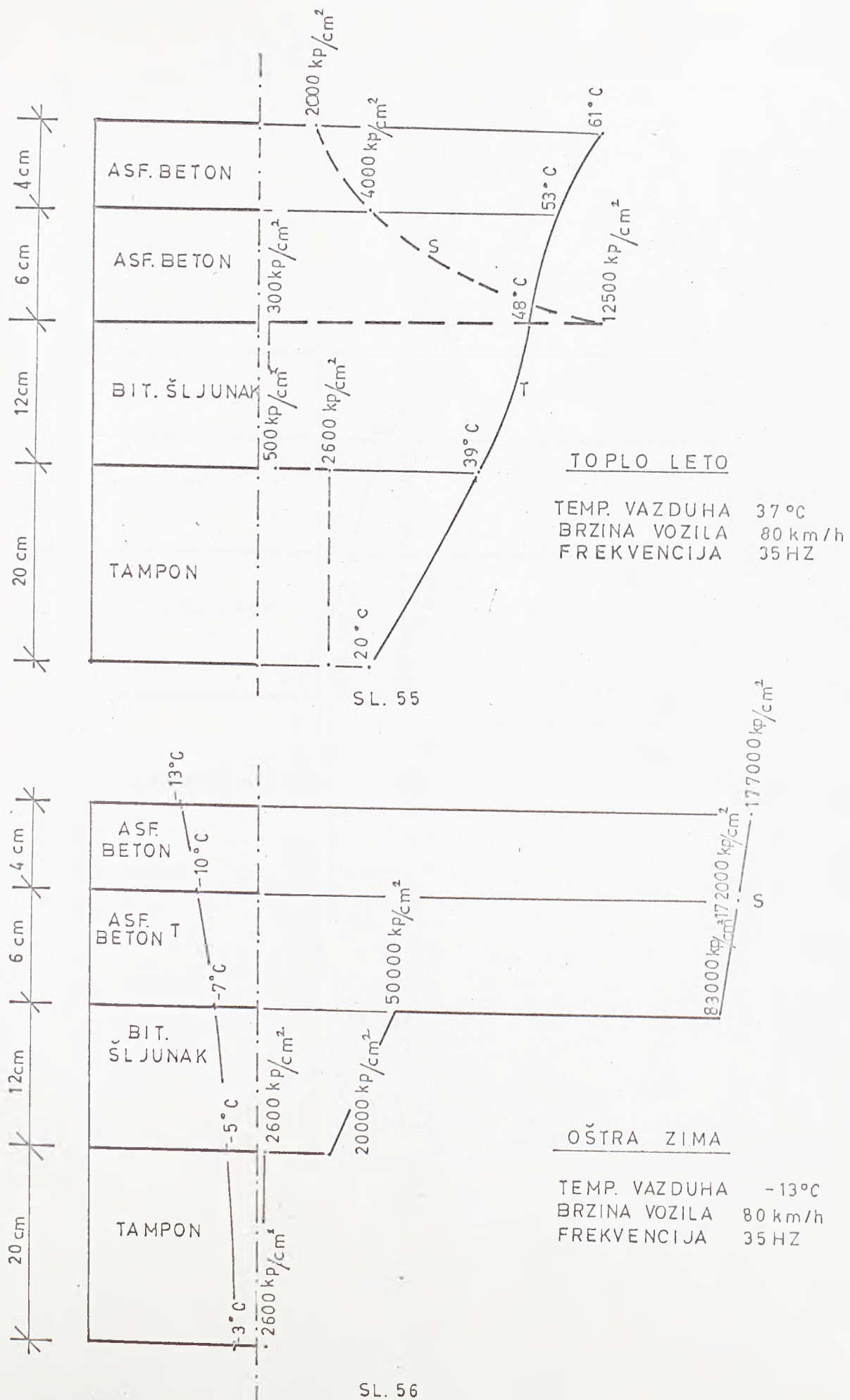
SLUČAJ

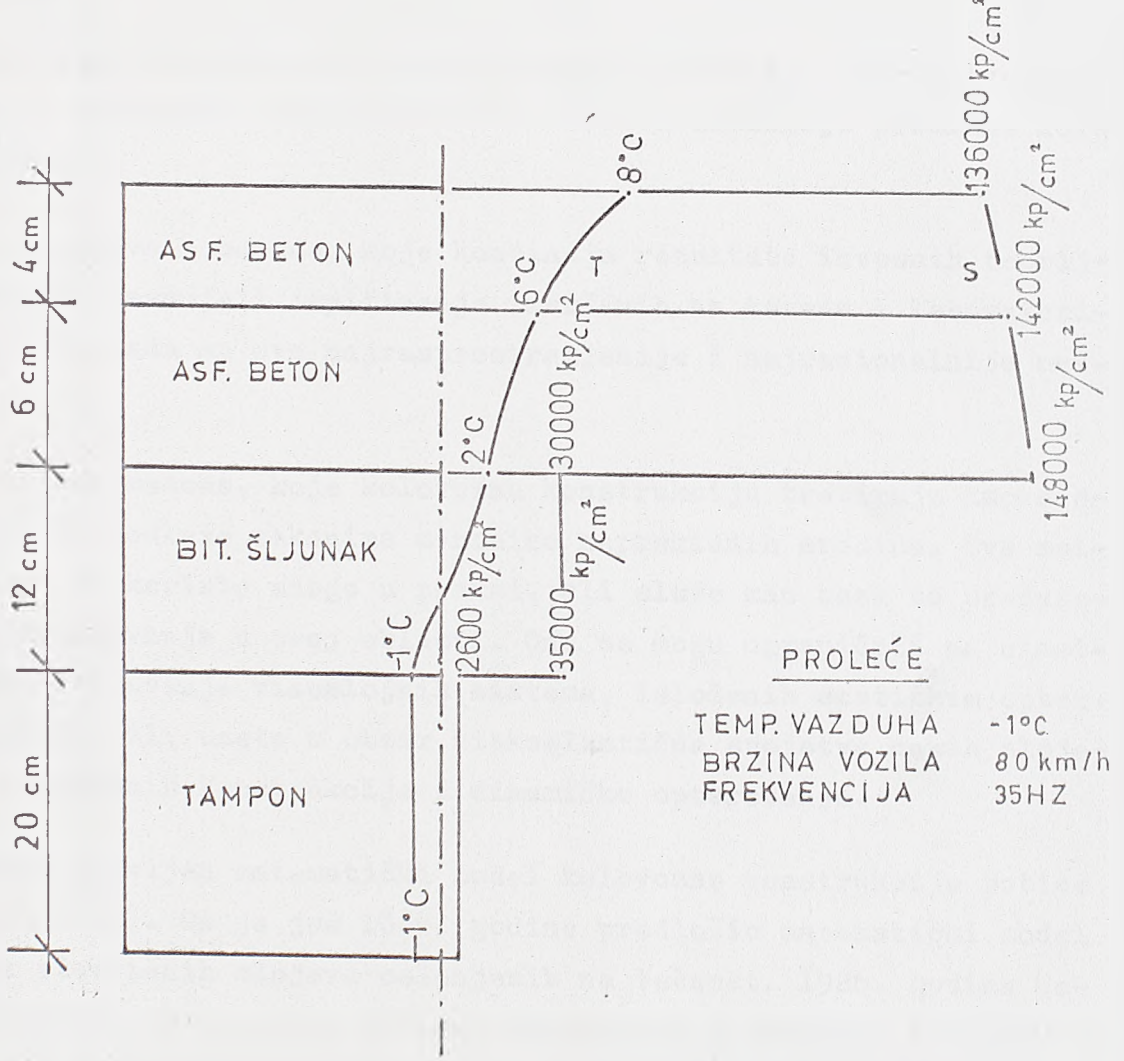
SLUČAJ

SLUČAJ

SILICOALUMINATE  
KONSTRUKCIE  
- 2







## VI. PROJEKTOVANJE FLEKSIBILNIH KOLOVOZNIH KONSTRUKCIJA

Projektovanje fleksibilnih kolovoznih konstrukcija razvija se veoma dinamično i kontinualno. Metode za proračun mogле bi se podeliti u tri grupe:

- a) Iskustvene (empirijske) metode, koje se baziraju isključivo na ranije dobijenim rezultatima i na osnovu analogije predlažu nova rešenja.
- b) Poluiskustvene metode, koje kombinuju rezultate izvesnih teorijskih proučavanja i ispitivanja izvršenih na terenu i laboratorijsama. Za sada su ovo najrasprostranjenije i najracionalnije metode.
- c) Teorijske metode, koje kolovoznu konstrukciju tretiraju kao sistem koji podleže zakonima mehanike neprekidnih sredina. Ove metode se ne koriste mnogo u praksi, ali služe kao baza za preduzeta istraživanja u ovoj oblasti. Ona se mogu ograničiti na elastično proučavanje višeslojnih sistema, izloženih statickim opterećenjima, ili uzete u obzir viskoelastična svojstva nekih slojeva kolovoznih konstrukcija i dinamičko opterećenje.

Najranije razvijen matematički model kolovozne konstrukcije potiče od Hertz-a (1). On je još 1884. godine predložio matematički model analize elastičnih slojeva oslonjenih na tečnost. 1926. godine Westergaard (2) je uprostio matematički aparat i omogućio njegovu primenu u praktičnom projektovanju. Pickett-Ray (3) su 1951. uveli u upotrebu uticajne dijagrame i na taj način još više olakšali primenu Westergaard-ove metode. U medjuvremenu učinjen je veliki napredak u istraživačkom radu od strane Portland Cement Association - USA (PCA) na određivanju fundamentalnih osobina portland cementnih betona. Mnogo dobrih betonskih kolovoza je sagradjeno i projektovano, a Westergaard-ova teorija i uticajni dijagrami postali sinonim za matematički model kolovoza za više decenija.

Prvo rešenje za opšti višeslojeni sistem je dao Burmister (4). U

svojim radovima on je formulisao problem za sistem od n elastičnih slojeva i razvio rešenje za dvoslojni i troslojni sistem. Pri tom je predpostavio, da normalno opterećenje deluje preko kružne površine. Schiffman (7) je kasnije proširio, Burmister-ov rad za uslove asimetričnog opterećenja, uključujući napon smicanja na površini.

Kompleksan matematički aparat nije dopuštao širu primenu ove dobre teorije. Tek sa pojmom tablica Jones-a (6) i grafički predstavljenih vrednosti u trodimenzionalnim dijagramima Peattie (8) dolazi do šire primene u praksi Burmister-ove teorije.

Huang (9), Moavenzadeh (10) i Ashton (10) su uveli visko-elastičan materijal u teorijsku analizu višeslojnog sistema. Moavenzadeh i Elliott (11) su proširili rešenje sa viskoelastičnim materijalom za slučaj pokretnog opterećenja.

Huang (12) je u svojim analizama krenuo od osnovnih jednačina razvijenih za sistem elastičnih slojeva, s tim što je elastične konstante E i  $\gamma$  izrazio preko modula klizanja G i modula stišljivosti (bulk modulus) K.

Na kraju treba naglasiti da su 1971. godine napravljena dva glavna kompjuterska programa od strane California Research Corporation i Shell-ove laboratorije u Amsterdamu za računavanje napona i deformacija u višeslojnim sistemima za probleme dimenzionisanja kolovoznih konstrukcija. Zadnju verziju Shell-ovog programa pod nazivom "BISAR" poseduje i Laboratorija za puteve Gradjevinskog fakulteta u Beogradu.

Dimenzionisanje fleksibilnih kolovoznih konstrukcija predstavlja sigurno najsloženiji problem u oblasti proračuna gradjevinskih konstrukcija, jer predstavlja sintezu više fundamentalnih naučnih disciplina.

Definisanje karakteristika materijala tj. osvetljavanje ponašanja modula krutosti asfalt betona u funkciji od vremena i temperature predstavlja samo jednu kariku u lancu problema koji sačinjavaju ob-

last dimenzionisanja fleksibilnih kolovoznih konstrukcija.

Dimenzionisanje fleksibilnih kolovoznih konstrukcija sadrži: 1) međusobni uticaj vozila i puta, 2) integraciju teorija i metoda koje se odnose na projektovanje krutih i fleksibilnih kolovoza i 3) uvođenje u razmatranje karakteristika materijala, ekonomičnosti i kvaliteta konstrukcija u eksploataciji.

Na kraju treba naglasiti da se podaci dobijeni u ovom radu, koji se odnose na modul krutosti asfalt betona, prilikom inženjerskog pristupa rešavanju problema, mogu uvrstiti u sve spomenute proračune umesto modula elastičnosti.

Jedna od najsavremenijih metoda za dimenzionisanje asfaltnih kolovoznih konstrukcija, koju je dao "Asphalt Instituts - USA", uzima u obzir modul krutosti asfalt betona u zavisnosti od temperature. Koristeći pomenutu metodu i podatke za modul krutosti iz ovog rada, već smo iskoristili za dimenzionisanje PSS, rulnih staza i stajal-ki na jednom vojnom aerodromu.

## VII. Z A K L J U Č C I

Svakodnevno povećanje saobraćaja stvara potrebu za konstantnim poboljšanjem kvaliteta puteva. Asfaltni slojevi, čija je glavna osobina nepropustljivost i dobar kvalitet površine, dobijaju mnogo veći značaj kao nosilac opterećenja u kolovoznij konstrukciji.

Imajući u vidu ove činjenice pojavljuje se potreba za iznalaženjem korektnog postupka za dimenzioniranje fleksibilnih kolovoza. U cilju ostvarenja ove namere preduzimaju se u svetu opsežna dinamička ispitivanja asfaltnih kolovoza.

Donedavno, projektovanje kolovoza se zasnivalo samo na iskustvima, uglavnom sistematski sakupljanim u USA i drugim zemljama. Prvi rezultati dali su osnovu za CBR metodu, a kasnije zahvaljujući opitima WASHO i AASHO, dobijeno je niz metoda koje su prirodno bile ograničene za odredjene klimatske uslove, specifične podloge i lokalni saobraćaj.

Ekstrapolacija rezultata opita na druge tipove konstrukcija, različite klimatske uslove i drugi saobraćaj u principu je nemoguća. Zbog toga se moraju prikupiti podaci koji će važiti za lokalne uslove.

Skupa praktična ispitivanja su postala neophodna ako se želi odgovarajuća teorijska osnova i racionalna metoda projektovanja, koja će u krajnjem slučaju dati najekonomičnije rešenje dimenzija kolovoznih konstrukcija.

Činjenica je da asfalt beton nije ni elastičan ni viskozan već viskoelastičan, tj. njegova krutost je funkcija temperature i vremena trajanja opterećenja. Postoje tri prilaza proučavanju viskoelastičnih materijala: modeli, indirektna merenja i direktna merenja. Zadnji prilaz je primenjen u ovom radu i većina zaključaka proizilazi iz eksperimentalnog rada.

Na osnovu objavljenih dinamičkih ispitivanja gredica od asfalt betona mogu se izvesti sledeći zaključci:

1. Da temperatura, frekvencija i šupljine igraju značajnu ulogu prilikom određivanja vrednosti modula krutosti asfalta betona.
2. Da je temperatura jedan od najvažnijih činilaca koji određuje vrednost modula krutosti (u temperaturnom području od  $-20^{\circ}\text{C}$  do  $50^{\circ}\text{C}$  modul krutosti se kreće od  $200\ 000\ \text{kp/cm}^2$  do  $1\ 500\ \text{kp/cm}^2$ ).
3. Da je zahvaljujući numeričkom definisanju ponašanja modula krutosti u zavisnosti od temperature moguće izvršiti, za konkretnе slučajeve interpolaciju i ekstrapolaciju rezultata.

Konkretna primena dobijenih rezultata u ovom radu mogla bi se ostvariti na više načina:

- a) Prilikom dimenzioniranja asfaltnih kolovoza uzeti u obzir dinamički modul krutosti umesto modula elastičnosti. Kod savremenih metoda je moguće direktno korišćenje rezultata.
- b) Lomovi pri niskim temperaturama i otpornost na zamor asfaltnih kolovoznih konstrukcija u numeričkim postupcima direktno zavise od modula krutosti.
- c) Dinamički uticaj vozila odnosno vibracije kolovoza zahvaljujući rezultatima u ovom radu mogu se direktno posmatrati (ovo se naročito odnosi na opterećene saobraćajnice).
- d) Posledice loše zbijenosti asfaltnih slojeva mogu se analizirati iz dobijenih dijagrama, a samim tim preuzeti i odgovarajuće mere sanacije.

Podaci dobijeni ovim radom predstavljaju samo jednu kariku u lancu definisanja ponašanja kolovoznih konstrukcija. Ovo nije ni početak ni kraj u izučavanju ove oblasti. Najveći problem je u tome što je to kompleksna oblast koja zahteva saradnju kadrova raznorodnih oblasti. Drugi, ne mali, problem je složena elektronska oprema i velika materijalna sredstava koja traže velike serije ispitivanja.

Dalji put na ovom radu bi bio uporedjivanje laboratorijskih i tenuških rezultata. Utvrdjivanje pouzdanosti eksperimentalnih rezulta-

ta. Definisanje pored modula krutosti i drugih reoloških parametara. I na kraju, traženje numeričkog postupka za rešavanje problema vezanih za dimenzioniranje fleksibilnih kolovoza.

VIII. L I T E R A T U R A

1. H.Hertz, Über das Gleichgewicht Schwimmender Elastischer Platten, Ann. Physik Shem., vol. 22, 1884
2. H.M.S. Westergaard, Stresses in Concrete Pavements Computed by Theoretical Analysis, Proc. HRB, part 1, 1925; takodje štampano u Public Roads, vol. 7, No. 2, April 1926.
3. G.Pickett and G.K. Ray, Influence Charts for Concrete Pavements, Trans. ASCE, vol 116, 1951.
4. D.M.Burmister, The General Theory of Stresses and Displacements in Layered Soil System, I, II, III, J.Appl. Phys., vol. 16, No. 2, No. 3, No. 5, 1945.
5. J.Boussinesq, "Application des Potentials", Paris, 1885.
6. A.Jones, Tables of Stresses in Three-layer Elastic Systems, HRB Bull., 342, 1962.
7. R.L.Schiffman, General Analysis of Stresses and Displacements in Layered Elastic Systems, Proc.Int.Conf.Struct.Design Asphalt Pavements, Ann Arbor, Mich., 1962.
8. K.R.Peattie, Stresses and Strain Factors for Three-layer Elastic Systems, HRB Bull. 342, 1962.
9. Y.H.Huang, Stresses and Displacements in Viscoelastic Layered System under Circular Loaded Areas, Proc.Int.Conf. Struct. Design Asphalt Pavements, 2nd, Ann Arbor, Mich., 1967.
10. F.Moavenzadeh and J.E.Ashton, "Analysis of Stresses and Displacements in a Three-layer Viscoelastic System", Massachusetts Institute of Technology School of Engineering Research Report R67-31.
11. F.Moavenzadeh and J.F.Elliott, "Moving Load on a Viscoelastic Layered System", U.S.A D.T.F.H.A, Bureau of Public Roads (Conctract FH-11-6619).
12. V.H.Huang, Stresses and Displacements in Viscoelastic Layerd Systems under Circular Loaded Areas, Proc.Int.Conf. Struct. Design Asphalt Pavements, 2nd, Ann Arbor, Mich., 1967.

13. V.T.Thomson, *Vibration Theory and Applications*, Prentice-Hall, Inc, 1965.
14. V.Brčić, *Dinamika konstrukcija*, Beograd, 1964.
15. V.Harti, *Dinamika konstrukcija*, Beograd, 1973.
16. D.Hartog, *Vibracije u mašinstvu*, Beograd, 1972.
17. Timošenko Jang, *Teorija konstrukcija*, Beograd, 1968.
18. Timošenko Jang, *Teorija oscilacija*, Beograd, 1966.
19. A.R.Ržanicin, *Teorija puženja materijala*, Beograd, 1974.
20. Ž.Zefroa, *Projektovanje i gradjenje kolovoznih konstrukcija*
21. T.R.B.Pavement Temperatures-An Annotated Bibliography, T.R.B., 55/1974.
22. G.Van der Poel, "Time and Temperature Effects on the Deformation of Asphaltic Bitumens and Bitumen-Mineral Mixtures", S.P.E. Journal 11-1955.
23. G.Van der Poel, "A General System Describing the Visco-Elastic Properties of Bitumens and Its Relation to Routine Test Data", J.Appl.Chem. 4-1954.
24. Monismith i Seed, "Moderator's-Summary Report of Papers Presented for Discussion at Session V", Conference, Ann Arbor, Michigan, 1962.
25. Fred Finn, "Factors Involved in the Design of Asphaltic Pavement Surfaces", HRB 39/1967.
26. C.A.Pagen i B.Ki, "Effect of Asphalt Viscosity on Rheological Properties of Bituminous Concrete", HRR 104/1965.
27. Heukelom i Klomp, "Road Design and Dynamic Loading", Proceedings of the AAPT, 33/1964.
28. Fin, Hicks, Kari i Coyne, "Design of Emulsified Asphalt Treated Bases", HRR 239/1968.
29. Goetz, "Sonic Testing of Bituminous Mixes", Proceedings AAPT, 24/1955.
30. Jimenez i Gallaway, "Behavior of Asphaltic Concrete Diaphragms to Repetitive Loadings", Conference, Ann Arbor, Michigan, 1962.
31. Bazin i Saunier, "Deformability, Fatigue and Healing Properties of Asphalt Mixes", Conference, Ann Arbor, Michigan, 1967.

32. McLeod, "The Asphalt Institute's Layer Equivalency Program", The Asphalt Institute, Maryland, 15/1967.
33. Acum i Fox, "Computation of L Stresses in a Three-Layer Systems", Geotechnique 293/51.
34. Jones, "Tables of Stresses in Thre-Layer Elastic Systems", HRB, Washington, 342/62.
35. Peattie, "Stress and Strain Factors for Three-Layer Systems", HRB, Washington, 342/62.
36. Chell Bitumen Review 43/73.
37. Chahin and McCullough, "Stiffness History of Asphalt Concrete Surfaces in Roads", HRR, Washington 466/73.
38. Pell and McCarthy, "Amplitude Effect of Stiffness of Bituminous Mixes Under Dynamic Conditions", Rheologia Acta, Vol. 2, No. 2, 1962.
39. Dratt and Sommer, "Ein Gerat zur Bestimmung der Dynamischen Elastizitätsmoduln von Asphalt. Strasse und Autobahn, 35/1966.
40. Danilo Mirkov, "Diplomski rad - Programska sistem za fitovanje eksperimentalnih podataka"
41. B.F.Kallas, "Asphalt Pavement Temperatures".
42. H.F.Southgate, "Temperature Distributions in Asphalt Concrete Pavements, TRB 549/1975.
43. The Structural Design of Flexible Pavements No 298F/68, CHELL Company.
44. Heukelom i Foster, "Dynamic Testing of Pavements" Journal ASCE 2/1960.
45. Yang, "Design of Functional Pavements".
46. Structural Design of Asphalt Concrete to Prevent Fatigue Craking. HRB 140/73.
47. Flexible Pavement Design and Management. HRB 139/73.
48. Deacon, "Materials Characterization-Experimental Behavior", HRB 126/71.
49. Shook i Kallos, "Factor Influencing Dynamic Modulus of Asphalt Concrete", Proc. ASCE.
50. Sall and Labout, "Rheological Properties of Asphalts".

51. Quinn i Wyk, "A Method for Instructing Dynamic Vehicle Loads into Design of Highways", HRB 40/1961.
52. Whittemore, "Measurement and Prediction of Dynamic Pavement Loading by Heavy Highway Vehicles.
53. Bissada, "Asphalt Pavement Temperatures Related to Kuwait Climate", HRR 404/72.





